

# شبکه‌های کانولوشنی مستقل از مختصات

## کانولوشن‌های یکسان نسبت به ایزومتري و پيمانه روی مينيفلدهای ريمانی

موريس وایلر<sup>۱</sup> پاتريک فوره<sup>۱</sup> اريك ورلينده<sup>۱</sup> مكس ولينگ<sup>۱,۲</sup>

<sup>۱</sup>دانشگاه آمستردام

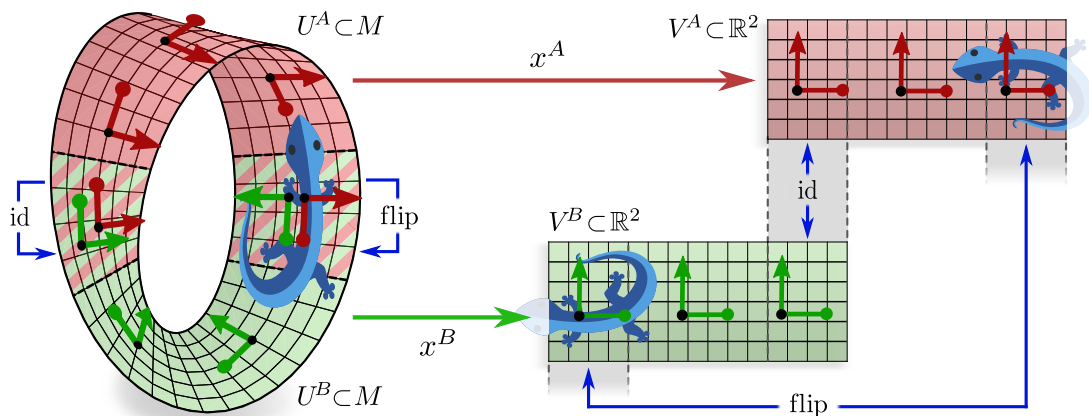
<sup>۲</sup>پژوهشگاه هوش مصنوعی کوالکام

p.d.forre@uva.nl m.weiler.ml@gmail.com

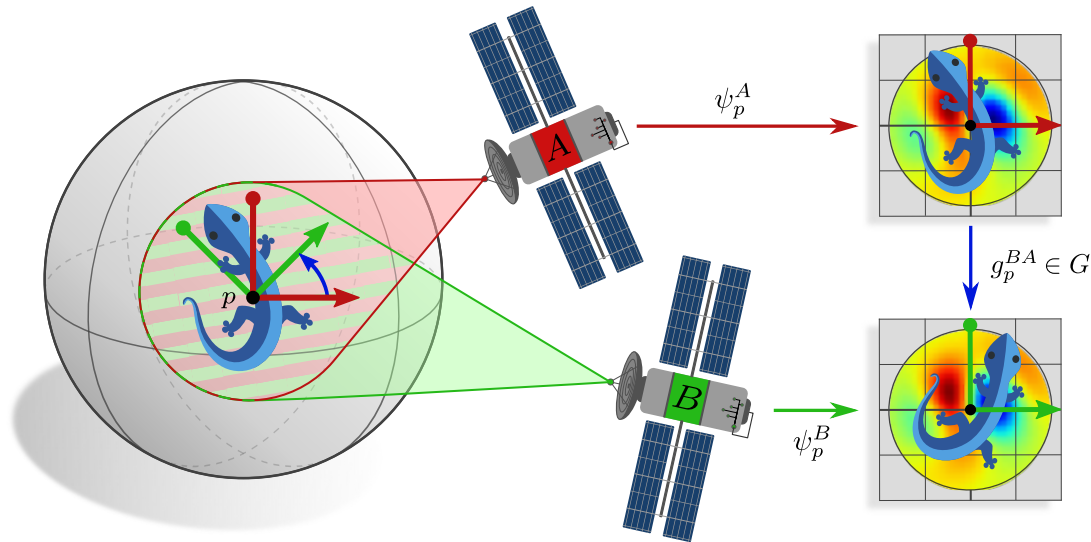
m.welling@uva.nl e.p.verlinde@uva.nl

□□□□□□□□

انگیزه‌ای از موفقیت گسترده شبکه‌های عمیق کانولوشنی، علاقه زیادی برای تعمیم کانولوشن‌ها به مینیفلدهای غیراقلیدسی وجود دارد. یک پیچیدگی عمده در مقایسه با فضاهاى مسطح این است که مشخص نیست کرنل کانولوشن باید در کدام تراز روی یک مینیفولد اعمال شود. دلیل اساسی این ابهام آن است که مینیفولدهای عمومی دارای انتخاب متعارف چارچوب‌های مرجع (گیج) نیستند. بنابراین کرنل‌ها و ویژگی‌ها باید نسبت به مختصات دلخواه بیان شوند. ما استدلال می‌کنیم که انتخاب خاص مختصات‌بندی نباید بر استنتاج شبکه تأثیر بگذارد □ آن باید مستقل از مختصات باشد. تقاضای همزمان برای استقلال مختصات و اشتراک وزن منجر به الزامی روی شبکه می‌شود تا تحت تبدیل‌های گیج محلی (تغییرات چارچوب‌های مرجع محلی) تناوب‌پذیر باشد. ابهام چارچوب‌های مرجع بدین گونه به  $G$ -ساختار مینیفولد بستگی دارد، به طوری که سطح لازم تناوب‌پذیری گیج توسط گروه ساختار  $G$  متناظر تجویز می‌شود. کانولوشن‌های مستقل از مختصات ثابت می‌شوند که نسبت به آن ایزومتري‌هایی که تقارن‌های  $G$ -ساختار هستند تناوب‌پذیر باشند. نظریه حاصل به شکل آزاد از مختصات بر حسب بندهای فیبر فرمول‌بندی می‌شود. برای نمونه‌سازی طراحی کانولوشن‌های مستقل از مختصات، ما شبکه کانولوشنی روی نوار مویوس پیاده‌سازی می‌کنیم. عمومیت فرمول‌بندی هندسه دیفرانسیل ما از شبکه‌های کانولوشنی با بررسی گسترده ادبیات نشان داده می‌شود که تعداد زیادی از شبکه‌های کانولوشنی اقلیدسی، شبکه‌های کانولوشنی کروی و شبکه‌های کانولوشنی روی سطوح عمومی را به عنوان نمونه‌های خاص کانولوشن‌های مستقل از مختصات توضیح می‌دهد.



شکل ۱: نمایش کانولوشن روی نوار مویوس با گیج‌های مختلف



شکل ۲: مشاهده گران مختلف  $A$  و  $B$  ممکن است یک الگوی از ویژگی‌ها را از «دیدگاه» متفاوتی درک کنند. ماهواره‌ها در کاربرد ما کرنل‌های کانولوشنی هستند که میدان دید محلی خود را در اطراف  $p$  به یک بردار ویژگی در  $p$  خلاصه می‌کنند. «دیدگاه» آن‌ها انتخاب یک چارچوب مرجع محلی (گیج) در  $p$  است که کرنل بر اساس آن تراز می‌شود. از آنجا که مشاهدات هر دو دیدگاه نشان‌دهنده یک الگوی یکسان هستند، پاسخ‌های کرنل باید حاوی اطلاعات معادل باشند، یعنی استنتاج باید مستقل از مختصات باشد. این امر کرنل‌های کانولوشنی را ملزم می‌کند تا تحت تبدیل‌های گیج محلی (یعنی تغییرات چارچوب‌های مرجع) تناوب‌پذیر باشند. سطح تناوب‌پذیری گیج توسط گروه ساختار  $G$  تعیین می‌شود، که هم به منیفولد و هم به کاربرد بستگی دارد.  
(Lizards adapted under the Creative Commons Attribution 4.0 International license by courtesy of Twitter.)

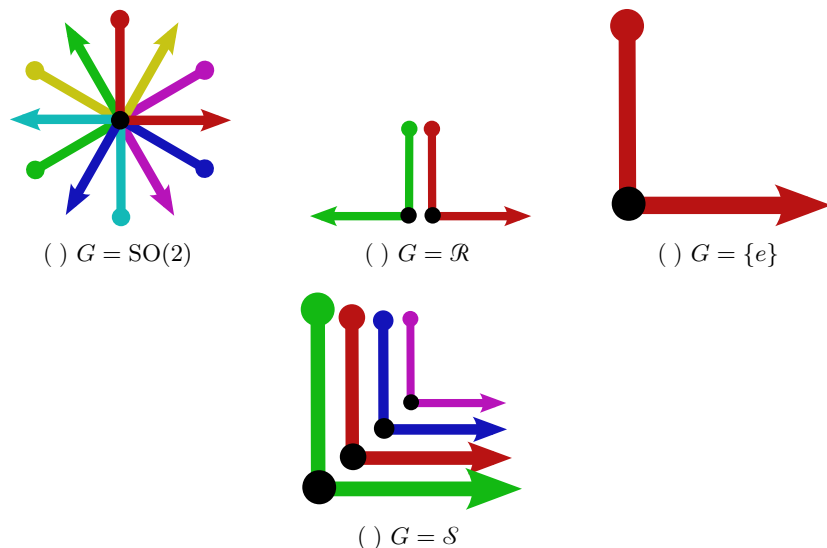
## ۱ مقدمه

در سال‌های اخیر، شبکه‌های عصبی عمیق به مدل‌های منتخب برای طیف گسترده‌ای از وظایف در یادگیری ماشین تبدیل شده‌اند. موفقیت مدل‌های عمیق اغلب ریشه در طراحی وظیفه-خاص دارد که منعکس‌کننده ساختار ریاضی داده‌های مورد پردازش است. یک مثال برجسته شبکه‌های کانولوشنی (CNN) هستند که از طریق اتصال محلی و اشتراک وزن فضایی، ساختار مکانی داده‌ها را بهره‌برداری می‌کنند. از آنجا که یک کرنل یکسان در هر نقطه از فضا اعمال می‌شود، شبکه‌های کانولوشنی نسبت به انتقال تناوب‌پذیر هستند، به این معنی که الگوهای آموخته‌شده را به طور خودکار بر روی موقعیت‌های فضایی تعمیم می‌دهند. با توجه به موفقیت تجربی قابل توجه شبکه‌های کانولوشنی اقلیدسی، علاقه زیادی به تعمیم مدل‌های کانولوشنی برای پردازش سیگنال‌ها در دامنه‌های عمومی‌تر و تناوب‌پذیر ساختن آن‌ها تحت گروه‌های تقارن بزرگ‌تر وجود دارد.

این کار به بررسی تعمیم شبکه‌های کانولوشنی به منیفلدهای ریمانی می‌پردازد. یک پیچیدگی عمده در تعمیم شبکه‌های کانولوشنی از فضای اقلیدسی  $\mathbb{R}^d$  به منیفلدهای ریمانی عمومی این است که منیفلدهایی دارای انتخاب مرجع جهت ارجح نیستند که کرنل کانولوشن بتواند بر اساس آن برای اندازه‌گیری ویژگی‌ها تراز شود. از آنجا که هیچ جهت مرجعی ترجیح داده نمی‌شود، کرنل باید به صورت دلخواه بر روی منیفولد تراز شود. موضوع اصلی این کار تنظیم این اختیار با مستقل ساختن استنتاج شبکه‌ها از تراز خاص کرنل‌های کانولوشن است. مشخص می‌شود که این امر مستلزم آن است که کرنل‌ها تناوب‌پذیر گیج باشند، یعنی تحت تبدیل‌های تراز کرنل، تناوب‌پذیر باشند. پاسخ یک کرنل تناوب‌پذیر گیج، هنگام تغییر تراز آن، به طور قابل پیش‌بینی تغییر می‌کند - بنابراین محتوای اطلاعات استخراج شده برای هر انتخاب (دلخواه) تراز، یکسان تضمین می‌شود.

ما تراز یک کرنل در نقطه‌ای  $p$  از یک منیفولد  $M$  را به عنوان انتخاب یک چارچوب مرجع محلی  $\square$  یا گیج  $\square$  از فضای مماس مربوطه  $T_p M$  رسمی‌سازی می‌کنیم. بنابراین تبدیل‌های گیج، تبدیلاتی بین انتخاب‌های چارچوب‌های مرجع هستند. شکل ۵ مفهوم تراز کردن کرنل‌ها در امتداد چارچوب‌های مرجع را بصری‌سازی می‌کند. تراز کردن کرنل نسبت به میدان چارچوب کانونی (منحصر به فرد ارجح) صفحه اقلیدسی  $\mathbb{R}^2$  همانطور که در بالا نشان داده شده است، منجر به میدان کرنل معمول شبکه‌های کانولوشنی اقلیدسی می‌شود. یک میدان چارچوب متفاوت، همانطور که در پایین نشان داده شده است، یک میدان کرنل و در نتیجه یک شبکه جایگزین را نشان می‌دهد. همانطور که در بالا ذکر شد، در اکثر منیفلدهایی، انتخاب چارچوب‌ها ذاتاً مبهم است به طوری که هیچ تراز کرنل خاصی ترجیح داده نمی‌شود. شکل ۲ این مشکل را برای کره  $S^2$  بصری‌سازی می‌کند، جایی که چارچوب‌ها فقط تا چرخش‌ها منحصر به فرد هستند.

سطح ابهام در انتخاب چارچوب‌های مرجع به ساختار هندسی منیفولد بستگی دارد. چنین ساختاری اغلب امکان رفع ابهام چارچوب‌های مرجع تا تبدیل‌های تقارنی خاص (تبدیل‌های گیج) را فراهم می‌کند؛ به شکل ۳ مراجعه کنید. این گزاره با چند مثال بهتر توضیح داده می‌شود:



شکل ۳: انتخاب چارچوب‌های مرجع یک فضای مماس  $T_p M$  همیشه منحصر به فرد نیست. ساختار هندسی ( $G$ -ساختار) یک منیفولد، زیرمجموعه‌ای ترجیحی از چارچوب‌های مرجع را نشان می‌دهد به طوری که تبدیل‌های گنج بین این چارچوب‌ها در گروه ساختار  $G \leq GL(d)$  قرار می‌گیرند. اشکال  $\{e\}$ ،  $\{e\}$  و  $\{e\}$  چنین زیرمجموعه‌هایی از چارچوب‌ها را به ترتیب برای گروه بدیهی  $G = \{e\}$ ، گروه بازتاب  $G = \mathbb{R}$ ، گروه چرخش  $G = SO(2)$  و گروه مقیاس  $G = \mathbb{S}$  نشان می‌دهند. ویژگی‌ها، اندازه‌گیری‌ها را نسبت به هر یک از چارچوب‌های متمایز کدگذاری می‌کنند. ضرایب عددی آن‌ها نسبت به چارچوب‌های مختلف با عمل یک نمایش گروهی  $\rho$  از  $G$  مرتبط هستند.

- یک منیفولد هموار هیچ اولویتی در انتخاب چارچوب‌ها ندارد. تبدیل‌های گنج بین چارچوب‌های عمومی، نگاشت‌های خطی معکوس‌پذیر دلخواه هستند، یعنی مقادیری در گروه خطی عمومی  $G = GL(d)$  می‌گیرند.
- یک جهت‌گیری منیفولد امکان تشخیص چارچوب‌های راست‌گرد از چپ‌گرد را می‌دهد. تبدیل‌های گنج بین چارچوب‌های هر دو دست، جهت‌گیری را حفظ می‌کنند، یعنی اعضای  $G = GL^+(d)$  هستند (نگاشت‌های خطی معکوس‌پذیر با دترمینان مثبت).
- یک فرم حجم امکان تشخیص چارچوب‌های واحد حجم را می‌دهد. تبدیل‌های گنج سپس حجم را حفظ می‌کنند، یعنی مقادیری در گروه خطی خاص  $G = SL(d)$  می‌گیرند.
- ساختار متریک یک منیفولد ریمانی امکان اندازه‌گیری فواصل و زوایا در فضاها را فراهم می‌کند و بنابراین امکان تشخیص چارچوب‌های متعامد را می‌دهد. تبدیل‌های گنج بین چارچوب‌های متعامد، چرخش‌ها و بازتاب‌ها در گروه متعامد  $G = O(d)$  هستند.
- همچنین، یک جهت‌گیری و متریک به معنای چارچوب‌های متعامد جهت‌دار است. تبدیل‌های گنج سپس فقط چرخش‌ها در گروه متعامد خاص  $G = SO(d)$  هستند.
- یک میدان چارچوب بر روی منیفولد شامل یک چارچوب منحصر به فرد در هر نقطه از منیفولد است. تبدیل‌های گنج در این حالت بدیهی هستند، که توسط گروه بدیهی  $G = \{e\}$  توصیف می‌شود.

همه این ساختارهای هندسی یک ویژگی مشترک دارند که یک زیرمجموعه (زیربنندل) ترجیحی از چارچوب‌ها را تعریف می‌کنند به طوری که تبدیل‌های گنج مقادیری در یک گروه ساختار  $G \leq GL(d)$  می‌گیرند. برای تأکید بر نقش مرکزی گروه ساختار  $G$ ، چنین ساختارهایی به عنوان  $G$ -ساختارها  $GM$  نامیده می‌شوند. مثال‌های بصری از  $G$ -ساختارها برای گروه‌های ساختار  $G$  و منیفلدهای  $M$  مختلف در شکل ۴ ارائه شده‌اند.

از آنجا که انتخاب چارچوب‌های مرجع ذاتاً مبهم است، هر کمیت هندسی و عملیات شبکه باید به همان اندازه به خوبی نسبت به چارچوب‌های دلخواه  $G$ -ساختار  $GM$  قابل نمایش باشند، یعنی باید مستقل از مختصات  $GM$  باشند. بنابراین بردارهای ویژگی با یک نمایش گروهی (عمل گروهی خطی)  $\rho$  از گروه ساختار  $G$  مرتبط هستند که قانون تبدیل آن‌ها را تحت تبدیل‌های گنج (انتقال‌های با مقدار  $G$  بین چارچوب‌های مرجع) تعیین می‌کند. انتخاب خاص نمایش گروهی، نوع هندسی میدان بردار ویژگی را تعیین می‌کند. مثال‌های معمول شامل میدان‌های اسکالر، بردار یا تانسور هستند، با این حال، انواع میدان‌های عمومی‌تر نیز در عمل استفاده می‌شوند. شکل ۶ استقلال مختصات کمیت‌های هندسی را در مثال شناخته شده بردارهای مماس بصری‌سازی می‌کند.

هر لایه شبکه باید قوانین تبدیل ویژگی‌ها را رعایت کند، یعنی باید تضمین کند که خروجی‌های آن طبق انتظار تبدیل می‌شوند. به طور خاص برای کانون‌ها، استقلال مختصات  $GM$  ایجاب می‌کند که اعمال کرنل مشترک نسبت به چارچوب‌های مختلف  $G$ -ساختار در نقطه‌ای  $p \in M$  باید

همان پاسخ را تا یک تبدیل گنج ایجاد کند. ما نشان می‌دهیم که این امر نیازمند  $G$ -استیریل بودن (تناوب‌پذیری گنج، معادله (۸۶)) کرنل‌های کانولوشن است. به طور شهودی، می‌توان کرنل‌های  $G$ -استیریل را به عنوان اندازه‌گیری ویژگی‌ها نسبت به چارچوب‌های مرجع در نظر گرفت، که ضروری است زیرا هیچ انتخابی از چارچوب، یعنی تراز کرنل مطلق، نباید ترجیح داده شود.<sup>۱</sup> مثال‌هایی از کرنل‌های  $G$ -استیریل برای گروه بازتاب  $G = \mathcal{R}$  در شکل ۱۱ نشان داده شده‌اند. شکل ۱۱ اشتراک چنین کرنل‌هایی را نسبت به چارچوب‌های مختلف یک  $\mathcal{R}$ -ساختار بصری‌سازی می‌کند. قید  $G$ -استیریل بودن، تقارن‌هایی را بر کرنل‌ها تحمیل می‌کند، به طوری که ترازهای مختلف در واقع منجر به پاسخ‌هایی می‌شوند که دقیقاً با تبدیل‌های گنج  $\rho(g)$  تفاوت دارند. ما کانولوشن‌های مستقل از مختصات  $GM$  را در ادامه به اختصار  $GM$ -کانولوشن‌ها می‌نامیم.

علاوه بر اعمال کرنل‌های تناوب‌پذیر گنج،  $GM$ -کانولوشن‌ها ممکن است تناوب‌پذیر ایزومتري باشند، به این معنی که آن‌ها با عمل ایزومتري‌ها بر میدان‌های ویژگی جابجا می‌شوند، همانطور که در شکل ۱۲ نشان داده شده است. فرض کنید  $\phi \in \text{Isom}(M)$  یک ایزومتري (تقارن) از منی‌فولد  $M$  باشد. یک شبکه عصبی دقیقاً زمانی نسبت به عمل این ایزومتري تناوب‌پذیر است که الگوها در هر نقطه  $p \in M$  به همان شیوه الگوها در  $\phi(p)$  پردازش شوند. تناوب‌پذیری ایزومتري یک شبکه، بنابراین با ناوردا بودن ایزومتري اتصال عصبی (میدان کرنل) آن مطابقت یک به یک دارد؛ به شکل ۱۲ مراجعه کنید. از آنجا که کانولوشن‌های ما کرنل‌ها را نسبت به چارچوب‌های (دلخواه)  $G$ -ساختار  $GM$  اعمال می‌کنند، تقارن‌های میدان کرنل با تقارن‌های  $G$ -ساختار منطبق هستند. با نشان دادن تقارن‌های یک  $G$ -ساختار  $GM$  (حفظ‌کننده فاصله) به عنوان  $\text{Isom}_{GM} \leq \text{Isom}(M)$ ، این بدان معنی است که کانولوشن‌های ما دقیقاً  $\text{Isom}_{GM}$ -تناوب‌پذیر هستند. شکل ۱۲ این واقعیت را بصری‌سازی می‌کند که  $G$ -ساختارها و میدان‌های کرنل مربوطه دارای تقارن‌های یکسانی هستند. خواننده تشویق می‌شود که  $G$ -ساختارهای شکل ۱۲ را با توجه به تقارن‌هایشان و ویژگی‌های تناوب‌پذیری ضمنی کانولوشن‌های  $GM$  مربوطه بررسی کند.

طراحی شبکه‌های کانولوشنی مستقل از مختصات  $GM$  در منی‌فولدهای ریمانی نیازمند انتخاب یک  $G$ -ساختار است که به ملاحظات متعددی بستگی دارد. اولاً، انتخاب گروه ساختار  $G$  تناوب‌پذیری گنج محلی کانولوشن را تعیین می‌کند: یک کرنل  $G$ -استیریل به طور خودکار الگوهای آموخته شده را بر روی تمام حالت‌های الگوهای مرتبط با  $G$  تعمیم می‌دهد؛ به شکل ۱۲ مراجعه کنید. ثانیاً، انتخاب خاص  $G$ -ساختار تناوب‌پذیری ایزومتري سراسری کانولوشن را تعیین می‌کند. در کاربردهای تصویربرداری پزشکی، الگوها اغلب در چرخش‌ها، بازتاب‌ها و موقعیت‌های دلخواه ظاهر می‌شوند. بنابراین باید یک  $d$ -ساختار ناوردا با  $E(d) = \text{Isom}_{GM}$  بر روی  $\mathbb{R}^d$  انتخاب کرد، مشابه  $\text{SO}(2)$ -ساختار که در شکل ۱۲ نشان داده شده است. تصاویر مانند عکس‌های پرتره یک محور عمودی متمایز دارند، با این حال، بازتاب‌ها در امتداد این محور، آمار تصویر را ناوردا می‌گذارند. این امر به یک  $\mathcal{R}$ -ساختار همانند شکل ۱۲ نیاز دارد. علاوه بر این ملاحظات تقارنی، توجه به این نکته مهم است که هر منی‌فولد (توپولوژی) برای هر انتخابی از گروه ساختار  $G$ ، ساختارهای  $G$  هموار را نمی‌پذیرد. یک مثال نوار موبیوس است که توپولوژی پیچ‌خورده (غیرجهت‌پذیری) آن مانع از اختصاص هموار جهت‌گیری‌های چارچوب می‌شود. بنابراین یک عملیات کانولوشن مستقل از مختصات هموار بر روی نوار موبیوس لزوماً بر کرنل‌های استیریل بازتابی تکیه دارد.

این کار شامل یک بررسی گسترده ادبیات در مورد شبکه‌های کانولوشنی است که عمومیت نظریه ما را نشان می‌دهد. این کار شامل انواع مختلف شبکه‌های کانولوشنی در فضاهای اقلیدسی، شبکه‌های کانولوشنی کروی و شبکه‌های کانولوشنی روی سطوح عمومی (مانند شبکه‌های سطحی) است. ما انتخاب‌های خاص  $G$ -ساختارها را که به طور ضمنی توسط نویسندگان با تجزیه و تحلیل ویژگی‌های تناوب‌پذیری سراسری و محلی مدل‌هایشان انجام شده است، شناسایی می‌کنیم. جدول ۱ خلاصه‌ای از طبقه‌بندی حاصل از شبکه‌های کانولوشنی مستقل از مختصات  $GM$  را ارائه می‌دهد.

برای ارائه یک مثال دقیق در مورد چگونگی پیاده‌سازی نظریه ما در عمل، یک پیاده‌سازی از  $GM$ -کانولوشن‌ها بر روی نوار موبیوس برای  $G = \mathcal{R}$  را مورد بحث قرار می‌دهیم. این شامل استخراج کرنل‌های استیریل بازتابی برای انواع میدان‌های مختلف (نمایش‌های گروهی) و ارزیابی تجربی تناوب‌پذیری ایزومتري پیش‌بینی شده نظری است. همانطور که انتظار می‌رود، کانولوشن‌های مستقل از مختصات  $GM$  عملکرد بهتری نسبت به یک پیاده‌سازی ساده وابسته به مختصات دارند. کد در <https://github.com/mauriceweiler/MobiusCNNs> موجود است.

یک فرمول‌بندی بدون مختصات از نظریه ما در زبان بندل‌های فیبر ابداع شده است.  $G$ -ساختارها  $GM$  زیربندل‌های اصلی  $G$  از بندل چارچوب  $FM$  بر روی  $M$  هستند. میدان‌های ویژگی برش‌هایی از بندل‌های بردار ویژگی مرتبط با  $G$  هستند. گنج‌ها تسهیم‌های بندل محلی هستند، در حالی که تبدیل‌های گنج، نگاشت‌های انتقال بین چنین تسهیم‌هایی هستند. ایزومتري‌هایی که یک کانولوشن  $GM$  نسبت به آن‌ها تناوب‌پذیر است، اتومورفیسم‌های بندل اصلی از  $G$ -ساختار هستند.

شبکه‌های کانولوشنی مستقل از مختصات ما تعمیم‌هایی از شبکه‌های کانولوشنی استیریل [۱۲، ۱۳، ۱۴] از فضاهای اقلیدسی (با همگن) به منی‌فولدهای ریمانی هستند. در حالی که شبکه‌های کانولوشنی استیریل بر تبدیل‌های فعال، سراسری میدان‌های ویژگی تمرکز می‌کنند، شبکه‌های کانولوشنی مستقل از مختصات تبدیل‌های منفعل، محلی بین چارچوب‌های مرجع را در نظر می‌گیرند.<sup>۲</sup> ما نسخه‌های اولیه نظریه شبکه‌های کانولوشنی مستقل از مختصات ("شبکه‌های کانولوشنی تناوب‌پذیر گنج") را در کارهای قبلی [۱۵] پیشنهاد کردیم. برخلاف این انتشارات، کار حاضر نظریه را با جزئیات بسیار بیشتری توسعه می‌دهد، آن را بر حسب بندل‌های فیبر فرمول‌بندی می‌کند، تناوب‌پذیری تحت عمل ایزومتري‌ها را اثبات می‌کند و یک مرور ادبیات ارائه می‌دهد.

<sup>۱</sup> به شابهت با اصل نسبیت خاص انیشتین توجه کنید، که به جای چارچوب‌های  $G$ -ساختار، بر برابری چارچوب‌های اینرسی تکیه دارد.

<sup>۲</sup> این شبیه تغییر تمرکز از کوواریانسی لورنتس سراسری در نسبیت خاص به کوواریانسی لورنتس محلی در نسبیت عام است.

## فهرست مطالب

این کار در قالب یک مقدمه، سه بخش اصلی و یک پیوست سازماندهی شده است.

بخش ۱.۱.۲ تلاش می‌کند شبکه‌های عصبی مستقل از مختصات را با زبانی آسان معرفی کند. میدان‌های ویژگی و لایه‌های شبکه نسبت به مختصات محلی (تسهیم‌های بندل) بیان می‌شوند. استقلال مختصات مورد نیاز، مستلزم آن است که ویژگی‌ها با یک قانون تبدیل خاصی مرتبط باشند. لایه‌های شبکه ملزم به تضمین رفتار تبدیل صحیح ویژگی‌ها هستند.

بخش ۲ نظریه شبکه‌های عصبی مستقل از مختصات را بر حسب بندل‌های فیبر رسمی‌سازی می‌کند. این امر امکان فرمول‌بندی سراسری و مستقل از مختصات را فراهم می‌کند، که به ویژه هنگام بررسی تناوب‌پذیری ایزومتری شبکه‌ها مفید است. تعاریف از بخش ۱.۱.۲ با بیان عملیات مستقل از مختصات در تسهیم‌های بندل محلی (مختصات) بازیابی می‌شوند.

بخش ۳ نظریه ما را در کارهای مرتبط جای می‌دهد. این بخش بررسی‌های مفصلی از معماری‌های شبکه کانولوشنی بر روی هندسه‌های مختلف ارائه می‌دهد و آن‌ها را به عنوان شبکه‌های کانولوشنی مستقل از مختصات فرمول‌بندی مجدد می‌کند. برای تسهیل توسعه معماری‌های شبکه جدید، ما ویژگی‌های مربوط به هندسه‌های خاص را قبل از بررسی شبکه‌هایی که بر روی آن‌ها عمل می‌کنند، مورد بحث قرار می‌دهیم.

خواننده می‌تواند بخش ۴ را در مرحله اول نادیده بگیرد □ فرمول‌بندی از بخش ۱.۱.۲ برای خواندن مرور ادبیات در بخش ۴ کاملاً کافی است.

مروری بر مفاهیم و نتایج اصلی کار ما در بخش ۲ زیر ارائه شده است. این مرور از معادلات پرهیز می‌کند و بر شهود هندسی از طریق بصری‌سازی‌ها تکیه دارد. امیدواریم این بخش به مخاطبان غیر تخصصی کمک کند تا ایده‌ای از محتوای کار ما به دست آورند.

## مرور کلی جزئیات

**بخش ۱.۱.۲:** هدف بخش ۳ ابداع فضاهای ویژگی مستقل از مختصات است. به طور خاص، بخش ۱.۳ گنج‌ها، تبدیل‌های گنج و  $G$ -ساختارها را معرفی می‌کند. گنج‌ها روشی رسمی برای بیان بردارهای مماس (مستقل از مختصات) و توابع روی فضاهای مماس نسبت به چارچوب‌های مرجع هستند. تبدیل‌های گنج بین این عبارات مختصاتی در گنج‌های مختلف ترجمه می‌کنند. بخش ۲.۳ میدان‌های بردار و ویژگی مستقل از مختصات را معرفی می‌کند. همانند مورد بردارهای مماس، ضرایب عددی بردارهای ویژگی هنگام انتقال بین چارچوب‌های مرجع تغییر می‌کنند. قوانین تبدیل بردارهای ویژگی به ویژه انتقال موازی آن‌ها و پیش‌برداری آن‌ها هنگام عمل توسط ایزومتری‌ها را تعیین می‌کنند، که به ترتیب در بخش‌های ۳.۳ و ۴.۳ توضیح داده شده‌اند.

بخش ۴ شبکه‌های عصبی را که بین میدان‌های ویژگی نگاشت می‌کنند، توسعه می‌دهد. عملیات نقطه‌ای، مانند جمع بایاس، کانولوشن‌های  $1 \times 1$  و غیرخطی‌ها، در بخش ۱.۴ مورد بحث قرار می‌گیرند. بخش ۲.۴ بر روی کانولوشن‌ها با کرنل‌های گسترده فضایی تمرکز می‌کند. هر یک از این عملیات در ابتدا بدون فرض اشتراک وزن معرفی می‌شوند، یعنی به عنوان مثال، اجازه یک کرنل متفاوت در هر نقطه از منیفولد را می‌دهند. این کرنل‌ها (یا بایاس‌ها یا غیرخطی‌ها) به هیچ وجه محدود نمی‌شوند. با این حال، هنگام نیاز به اشتراک وزن فضایی، آن‌ها مجبور می‌شوند که تناوب‌پذیر گنج باشند زیرا تنها مقادیر تناوب‌پذیر می‌توانند به صورت مستقل از مختصات به اشتراک گذاشته شوند. بخش ۳.۴ یک اثبات مختصر از تناوب‌پذیری ایزومتری کانولوشن‌های  $GM$  را بر حسب عبارات مختصاتی محلی ارائه می‌دهد. ایده اصلی در اینجا این است که ایزومتری‌ها را می‌توان به عنوان القاکننده تبدیل‌های گنج (تفسیر منفعل) در نظر گرفت، که با تناوب‌پذیری گنج کرنل‌ها توضیح داده می‌شود.

بخش ۴ پیاده‌سازی کانولوشن‌های مستقل از جهت‌گیری بر روی نوار موبیوس را توصیف می‌کند. پس از بررسی هندسه نوار موبیوس در بخش ۴.۴، انواع مختلفی از میدان‌های ویژگی در بخش ۴.۴ تعریف می‌شوند. بخش ۴.۴ بعدی، شبکه‌های کانولوشنی مستقل از جهت‌گیری را به صورت تحلیلی توصیف می‌کند. به طور خاص، ما کرنل‌های کانولوشنی تناوب‌پذیر گنج، بایاس‌ها و غیرخطی‌ها را برای هر یک از انواع میدان استخراج می‌کنیم. بخش ۴.۴ با یک پیاده‌سازی و ارزیابی عددی مدل‌های مربوطه به پایان می‌رسد.

**بخش ۴.۴:** بخش ۴.۴ محتوای بخش ۳ را بازتاب می‌دهد، با این حال، به صورت سراسری و بر حسب بندل‌های فیبر. مقدمه‌ای کلی بر بندل‌های فیبر در بخش ۴.۴ ارائه شده است. بخش‌های ۴.۴ و ۴.۴ بندل مماس  $TM$ ، بندل چارچوب  $FM$ ،  $G$ -ساختارها  $GM$  و بندل‌های بردار و ویژگی مرتبط با  $G$  ( $A$ ) را معرفی می‌کنند. میدان‌های ویژگی به صورت سراسری به عنوان برش‌هایی از بندل‌های بردار و ویژگی تعریف می‌شوند. تسهیم‌های بندل محلی (گنج‌ها)، که در بخش ۴.۴ مورد بحث قرار گرفته‌اند، این بندل‌ها را در مختصات بیان می‌کنند و بدین ترتیب تعاریف ما از بخش ۳ را بازیابی می‌کنند. ما به طور خاص نشان می‌دهیم که چگونه تسهیم‌های محلی بندل‌های مختلف یکدیگر را القا می‌کنند، به طوری که تبدیل‌های گنج (نگاشت‌های انتقال) آن‌ها همگام‌سازی می‌شوند. بخش ۴.۴ انتقال‌دهنده‌های موازی در  $G$ -بندل‌ها را مورد بحث قرار می‌دهد.

بخش ۴.۴ شبکه‌های مستقل از مختصات از بخش ۴ بر حسب بندل‌های فیبر بازنویسی می‌کند. کانولوشن‌های  $1 \times 1$  در بخش ۴.۴ به عنوان مورفسم‌های مشخص بندل برداری  $M$  توصیف می‌شوند. به طور جایگزین، آن‌ها را می‌توان به عنوان برش‌هایی از یک بندل همومورفسم مشاهده کرد. بخش ۴.۴ میدان‌های کرنل مستقل از مختصات و تبدیل‌های میدان کرنل را معرفی می‌کند. این عملیات مشابه کانولوشن‌های  $GM$  هستند اما نیازی به اشتراک وزن ندارند، یعنی ممکن است در هر مکان فضایی یک کرنل متفاوت اعمال کنند. یک میدان کرنل کانولوشنی  $GM$  با اشتراک یک کرنل  $G$ -استیریل

(تناوب پذیر گنج) منفرد در سراسر منی فولد ساخته می شود. سپس کانولوشن های مستقل از مختصات  $GM$  به عنوان تبدیل های میدان کرنل با میدان های کرنل  $GM$ -کانولوشنی تعریف می شوند. هنگام بیان فرمول بندی مستقل از مختصات کانولوشن های  $GM$  نسبت به تسهیم های محلی (گنج ها)، عبارات مختصاتی کانولوشن های  $GM$  را از بخش ۲.۴ بازیابی می کنیم.

تناوب پذیری ایزومتري کانولوشن های  $GM$  در بخش ۲.۲ بررسی می شود. پس از معرفی ایزومتري ها، بخش ۲.۳ عمل پیش برنده آن ها را بر روی بندل های فیبر مورد بحث قرار می دهد. این عمل نیز می تواند در تسهیم های محلی بیان شود، که منجر به فرمول بندی از بخش ۲.۳ می شود. بخش ۲.۴ عمل ایزومتري ها بر روی میدان های کرنل را تعریف می کند و ثابت می کند که تناوب پذیری ایزومتري یک تبدیل میدان کرنل، ناوردایی ایزومتري میدان کرنل آن را نتیجه می دهد و بالعکس. کانولوشن های  $GM$  ثابت شده اند که تحت عمل آن ایزومتري هایی که اتومورفسم های بندلی (تقارن ها) از  $G$ -ساختار  $GM$  هستند، تناوب پذیر می باشند. بخش ۲.۵ میدان های کرنل ناوردا با ایزومتري را با جزئیات بیشتری بررسی می کند و ثابت می کند که آن ها معادل میدان های کرنل در فضاهای خارج قسمتی از عمل ایزومتري هستند □ به طور شهودی، میدان های کرنل ناوردا با ایزومتري ملزم به اشتراک کرنل ها بر روی مدارات ایزومتري هستند. این نتیجه به ویژه دلالت دارد که تبدیل های میدان کرنل تناوب پذیر ایزومتري در فضاهای همگن لزوماً کانولوشن های  $GM$  هستند.

**بخش ۲.۶:** بخش سوم این کار نشان می دهد که تعداد زیادی از شبکه های کانولوشنی از ادبیات را می توان به عنوان اعمال کانولوشن های  $GM$  برای انتخاب خاصی از  $G$ -ساختار و انواع میدان تفسیر کرد. این بخش با بحثی کلی در مورد انتخاب های طراحی شبکه های کانولوشنی مستقل از مختصات آغاز می شود. جدول ۲.۱ مروری و طبقه بندی از مدل های مورد بررسی را ارائه می دهد. خواننده دعوت می شود که به  $G$ -ساختارهای بصری سازی شده در بخش ۲.۷ نگاهی بیندازد زیرا اینها ایده شهودی در مورد ویژگی های کانولوشن های  $GM$  مربوطه ارائه می دهند.

شبکه های کانولوشنی اقلیدسی که نه تنها تناوب پذیر ایزومتري هستند بلکه به طور کلی تر تحت عمل گروه های آفین تناوب پذیر هستند، در بخش ۲.۸ بررسی می شوند. این مدل ها اساساً معادل شبکه های کانولوشنی استریبل در فضاهای برداری اقلیدسی  $\mathbb{R}^d$  [۲۱] هستند. بخش ۲.۹ شبکه های کانولوشنی استریبل را بررسی می کند و ارتباط آن ها با کانولوشن های  $GM$  را مورد بحث قرار می دهد. این رویکرد تا حدی نامطلوب است زیرا  $\mathbb{R}^d$  با یک میدان چارچوب کانونی (ساختار  $\{e\}$ ) همراه است، که به طور ضمنی توسط مدل های تناوب پذیر نادیده گرفته می شود. بخش ۲.۱۰ رویکردی اصولی تر را در پیش می گیرد و فضاهای آفین اقلیدسی  $\mathbb{A}^d$  را تعریف می کند که دقیقاً با  $G$ -ساختارهایی مجهز شده اند که منجر به کانولوشن های  $GM$  تناوب پذیر  $Aff(G)$  می شوند. کانولوشن های واقعی  $GM$  در بخش ۲.۱۱ تعریف می شوند. بخش ۲.۱۲ شبکه های کانولوشنی اقلیدسی تناوب پذیر آفین را که در ادبیات یافت می شوند، بررسی می کند. آن ها عمدتاً در انتخاب های مفروض گروه های ساختار و نمایش های گروهی متفاوت هستند.

بخش ۲.۱۳ شبکه های کانولوشنی را در فضاهای اقلیدسی سوراخ دار  $\mathbb{A}^d \setminus \{0\}$  که مبدأ  $\{0\}$  آن ها حذف شده است، پوشش می دهد. این مدل ها نسبت به چرخش حول مبدأ تناوب پذیر هستند، با این حال، نسبت به انتقال تناوب پذیر نیستند. آن ها بر اساس  $G$ -ساختارهایی هستند که با مختصات قطبی، مختصات لگاریتمی-قطبی یا مختصات کروی مطابقت دارند.

شبکه های کانولوشنی کروی در بخش ۲.۱۴ پوشش داده می شوند. بخش ۲.۱۵ هندسه ۲-کره (جاسازی شده)  $S^2$  را مورد بحث قرار می دهد. با تفسیر فضاهای مماس به عنوان زیرفضاهای دو بعدی یک فضای جاسازی  $\mathbb{R}^3$  عبارات فرم بسته نگاشت های نمایی و لگاریتمی، چارچوب ها، گنج ها، انتقال دهنده ها و عمل ایزومتري را استخراج می کنیم. بخش ۲.۱۶ شبکه های کانولوشنی کروی تناوب پذیر  $SO(3)$  و ۳ را بررسی می کند. ما به طور خاص ثابت می کنیم که نظریه ما فرمول بندی عمومی کانولوشن های کروی توسط [۲۱] را به عنوان یک حالت خاص شامل می شود. شبکه های کانولوشنی کروی که فقط نسبت به چرخش  $SO(2)$  حول یک محور ثابت تناوب پذیر هستند در بخش ۲.۱۷ توصیف می شوند. بخش ۲.۱۸ شبکه های کانولوشنی بیست وجهی را بررسی می کند. بیست وجهی کره را تقریب می زند اما از وجوه محلی مسطح تشکیل شده است که امکان پیاده سازی کارآمد عملیات کانولوشن را فراهم می کند.

یک بررسی از شبکه های کانولوشنی بر روی سطوح دو بعدی عمومی در بخش ۲.۱۹ یافت می شود. بخش ۲.۲۰ مقدمه ای کوتاه بر هندسه دیفرانسیل کلاسیک سطوح جاسازی شده و گسسته سازی آن ها بر حسب شبکه های مثلثی ارائه می دهد. کانولوشن های سطحی در ادبیات به دو دسته طبقه بندی می شوند: دسته اول، که در بخش ۲.۲۱ پوشش داده شده است، بر اساس کرنل های  $G = SO(2)$ -استریبل است. این مدل ها مستقل از انتخاب خاص چارچوب متعامد راست گرد هستند. بخش ۲.۲۲ دسته دوم مدل ها را بررسی می کند که بر اساس کرنل های  $\{e\}$ -استریبل، یعنی غیر تناوب پذیر هستند. این مدل ها به صراحت بر انتخاب یک میدان چارچوب تکیه دارند. بنابراین آن ها عمدتاً در روش های اکتشافی که برای تعیین چارچوب های مرجع استفاده می شوند، تفاوت دارند. توجه داشته باشید که چنین مدل هایی لزوماً در منی فولد های غیرقابل موازی سازی مانند کره های توپولوژیکی ناپیوسته هستند.

**پیوست:** پیوست شامل اطلاعات اضافی و اثبات های طولانی است.

گنج ها به صورت رسمی تخصیص فوری چارچوب های مرجع به فضاهای مماس را انجام می دهند اما به نقاط روی منی فولد به صورت مستقل از مختصات اشاره دارند. یک جایگزین محبوب انتخاب چارچوب های مختصاتی است که به اصطلاح پایه های مختصاتی (پایه های هولونومیک) فضاهای مماس را القا می کنند. پیوست ۲.۱ مقدمه ای بر فرمالیسم چارچوب ها ارائه می دهد و آن را با فرمالیسم گنج کلی تر مرتبط می کند.

پیوست ۲.۲ درباره استقلال مختصات کرنل ها و اشتراک وزن در امتداد چارچوب های مرجع توضیح می دهد. اشتراک وزن مستقل از مختصات  $GM$  فقط برای کرنل های  $G$ -استریبل امکان پذیر است.

کانولوشن های  $GM$  با بیان میدان های ویژگی در مختصات نرمال ژنودزیک محاسبه می شوند، جایی که آن ها با کرنل های کانولوشنی  $G$ -استریبل مطابقت داده می شوند. این فرآیند شامل یک انتگرال گیری بر روی فضاهای مماس است که در پیوست ۲.۳ توصیف شده است.

---

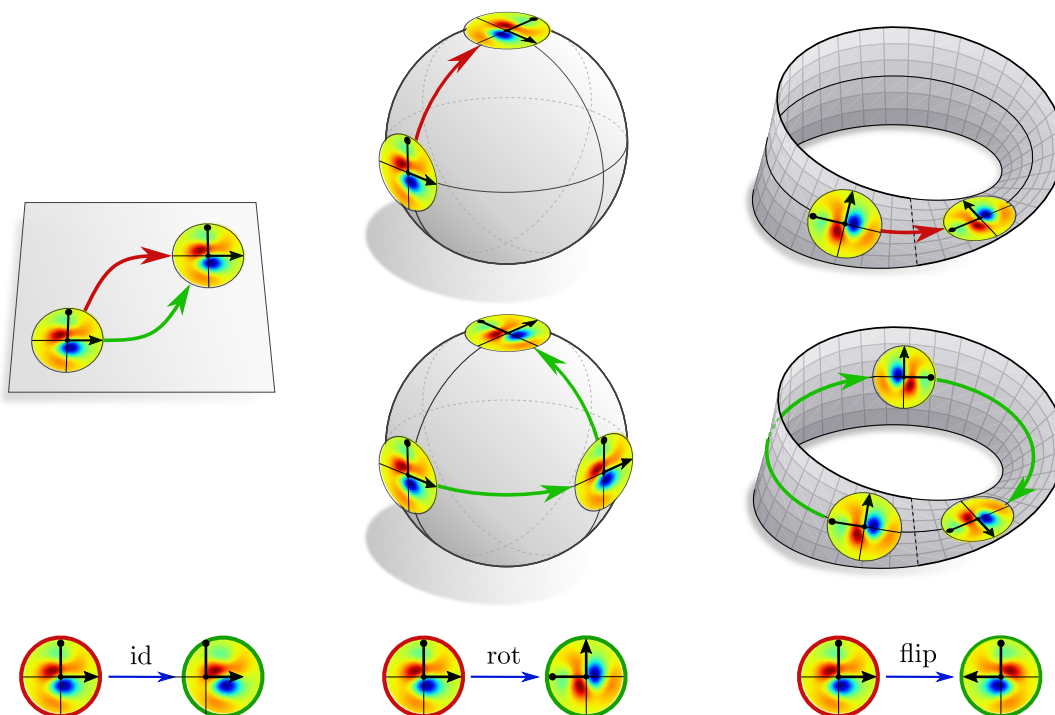
؟، ؟، ؟ و ؟ [نظریه‌های نسبتاً عمومی از کانولوشن‌ها بر روی فضاها می‌کنند. از آنجا که این مدل‌ها وزن‌ها را از طریق عمل یک گروه تقارنی به اشتراک می‌گذارند، آن‌ها بسیار شبیه به تبدیل‌های میدان کرنل تناوب‌پذیر ایزومتري ما از بخش‌های ؟ و ؟ هستند. پیوست ؟ این مدل‌ها را بررسی می‌کند و توضیح می‌دهد که چگونه آن‌ها با کانولوشن‌های  $GM$  ما مرتبط هستند.

پیوست ؟ ثابت می‌کند که میدان‌های کرنل ناورد با ایزومتري در متیفولد معادل میدان‌های کرنل در فضاها خارج‌قسمتی از عمل ایزومتري هستند. حالت خاص فضاها می‌کنند، که در آن‌ها تبدیل‌های میدان کرنل تناوب‌پذیر ایزومتري معادل کانولوشن‌های  $GM$  هستند، در پیوست ؟ پوشش داده شده است.

کانولوشن‌های کروی ؟ [در پیوست ؟ ثابت شده‌اند که یک حالت خاص از کانولوشن‌های  $GM$  کروی ما هستند □ بنابراین هر شبکه کانولوشنی کروی که توسط نظریه آن‌ها پوشش داده می‌شود، توسط نظریه ما نیز توضیح داده می‌شود.

پیوست ؟ تأکید می‌کند که تبدیل‌های میدان کرنل و کانولوشن‌های  $GM$  ما به خوبی تعریف شده‌اند اگر میدان کرنل هموار باشد و شامل کرنل‌های با پشتیبانی فشرده باشد. "به خوبی تعریف شده" در اینجا به این معنی است که انتگرال‌ها وجود دارند و میدان‌های ویژگی حاصل هموار هستند.

در نهایت، پیوست ؟ استدلال می‌کند که میدان‌های ویژگی که مطابق با نمایش منظم گروه ساختار  $G$  تبدیل می‌شوند، معادل میدان‌های اسکالر بر روی  $G$ -ساختار هستند. این موضوع از آن جهت اهمیت دارد که برخی مدل‌ها، به ویژه کانولوشن‌های گروهی، این دیدگاه را اتخاذ می‌کنند.



شکل ۴: شهودی در مورد ابهام ذاتی اشتراک وزن در منیفلدهایی. چپ: یک تفسیر رایج از اشتراک وزن در صفحه، جابجایی یک کرنل در کل فضا است. از آنجا که انتقال موازی در فضاهای مسطح مستقل از مسیر است، این امر بدون ابهام است. وسط: در فضاهای خمیده، مانند کره، انتقال موازی وابسته به مسیر است. مسیرهای مختلف منجر به کرنل‌هایی می‌شوند که نسبت به یکدیگر چرخانده شده‌اند. راست: نوار موبیوس یک منیفولد غیر قابل جهت‌گیری است. بنابراین، مسیرهای مختلف می‌توانند منجر به کرنل‌هایی شوند که نسبت به یکدیگر بازتاب یافته‌اند. پایین: ما ترازهای مختلف کرنل را با انتخاب‌های مختلف چارچوب‌های مرجع محلی از فضاهای مماس مربوطه رسمی‌سازی می‌کنیم. به خوبی شناخته شده است که هیچ انتخابی از چارچوب‌های مرجع (گیج) در منیفلدهای عمومی ارجح نیست. مختصات‌بندی‌های مختلف با تبدیل‌های گیج مرتبط هستند، که مقادیری در گروه ساختار  $G$  منیفولد (گروه بدیهی  $G = \{e\}$  برای صفحه، گروه چرخش  $G = SO(2)$  برای کره و گروه بازتاب  $G = \mathbb{R}$  برای نوار موبیوس) می‌گیرند. شبکه‌های کانولوشنی مستقل از مختصات، ابهام چارچوب‌های مرجع را با اعمال کرنل‌های کانولوشنی  $G$ -استیریل (تناوب‌پذیر گیج) برطرف می‌کنند.

## ۲ مرور کلی و شهود بصری

فرمول‌بندی جبری شبکه‌های کانولوشنی مستقل از مختصات نیازمند آشنایی با نظریه گروه‌ها، نظریه نمایش‌ها و هندسه دیفرانسیل است که ممکن است برای مخاطبان غیر تخصصی مانعی ایجاد کند. با این حال، بیشتر ساختارها و نتایج ما از نظر هندسی بسیار شهودی هستند و می‌توان آن‌ها را با چند مثال بصری توضیح داد. این بخش تلاش می‌کند تا مروری کلی و شهود بصری در مورد شبکه‌های کانولوشنی مستقل از مختصات ارائه دهد.

بخش ۱.۲ زیر، کانولوشن‌های مستقل از مختصات  $GM$  را در منیفلدهای ریمانی معرفی می‌کند. تناوب‌پذیری آن‌ها تحت عمل ایزومتري‌ها در بخش ۱.۲ مورد بحث قرار می‌گیرد. بخش ۲.۲ در مورد عواملی که بر انتخاب  $G$ -ساختار در طراحی شبکه‌های کانولوشنی مستقل از مختصات تأثیر می‌گذارد، توضیح می‌دهد.

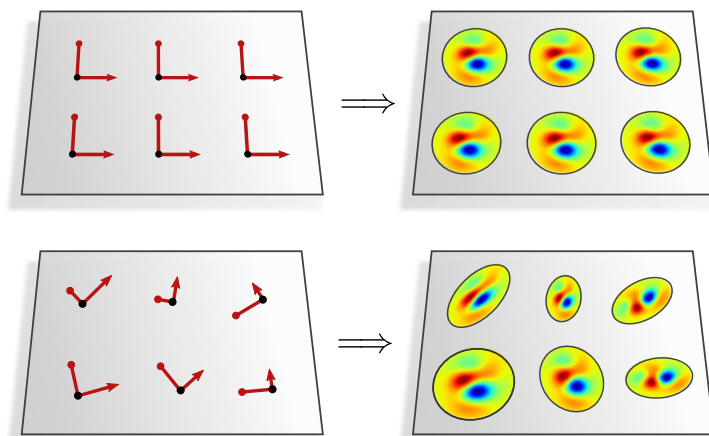
### ۱.۲- ساختارها و کانولوشن‌های مستقل از مختصات □□

از آنجا که کانولوشن‌ها اساساً با خاصیت اشتراک وزن خود مشخص می‌شوند، یک سؤال اصلی در این کار این است: چگونه باید کرنل‌های کانولوشن بر روی منیفلدهای ریمانی به اشتراک گذاشته شوند؟<sup>۳</sup>

یک رویکرد رایج به اشتراک گذاشتن وزن‌ها از طریق عمل یک گروه تقارنی از فضای زیرین است [۴]. به عنوان مثال، شبکه‌های کانولوشنی سنتی وزن‌ها را با جابجایی کرنل‌ها روی صفحه به اشتراک می‌گذارند، در حالی که شبکه‌های کانولوشنی کروی وزن‌ها را با چرخش کرنل‌ها روی کره

<sup>۳</sup> این سؤال به طور کلی‌تر برای هر تابع قالب محلی، به عنوان مثال بایاس‌ها یا غیرخطی‌های نقطه‌ای نیز کاربرد دارد.





شکل ۵: یک ویژگی کلیدی کانولوشن‌ها این است که آن‌ها وزن‌ها را در سراسر منیفولد به اشتراک می‌گذارند. ما تراز یک کرنل در  $p \in M$  را با انتخاب یک چارچوب مرجع  $\square$  یا گنج  $\square$  از فضای مماس مربوطه  $T_p M$  شناسایی می‌کنیم. بنابراین میدان‌های چارچوب مختلف دلالت بر میدان‌های کرنل (کانولوشنی) متفاوتی دارند.

انتخاب چارچوب‌ها اغلب منحصر به فرد نیست. ابهام در این انتخاب با  $G$ -ساختارها رسمی‌سازی می‌شود؛ به شکل  $??$  مراجعه کنید. برای در نظر گرفتن اختیاری بودن چارچوب‌ها، کرنل‌ها ملزم می‌شوند که  $G$ -استیریل (تناوب‌پذیر) باشند، همانطور که در اشکال  $??$  و  $??$  بصری‌سازی شده است.

به اشتراک می‌گذارند. برای به اشتراک گذاشتن یک کرنل در کل فضا، عمل گروه تقارنی باید متعدی باشد. از آنجا که این امر به طور کلی برای ایزومتري‌های منیفلدهای ریمانی صادق نیست، این استراتژی برای هدف ما رد می‌شود.

اشتراک وزن از طریق انتقال

اشتراک وزن در فضاهای اقلیدسی اغلب به عنوان "جابجایی" یک کرنل در فضا در نظر گرفته می‌شود. از آنجا که در فضاهای سطح انتقال موازی مستقل از مسیر انتخاب شده است، این امر منجر به تراز بدون ابهام کرنل‌ها می‌شود؛ به شکل ۴ (چپ) مراجعه کنید. با این حال، در فضاهای خمیده یا غیرقابل جهت‌گیری، انتقال موازی وابسته به مسیر می‌شود و بنابراین برای اشتراک وزن نامناسب است. شکل ۴ (وسط و راست) این مشکل را برای کره و نوار موبیوس مثال می‌زند، جایی که مسیرهای مختلف منجر به تراز متفاوتی از کرنل می‌شوند.

اشتراک وزن در امتداد چارچوب‌ها

از آنجا که مفهوم "ترازهای کرنل" تا حدی مبهم است ابتدا باید آن را از نظر ریاضی دقیق کنیم:

ما انتخاب تراز کرنل در نقطه‌ای  $p \in M$  را به عنوان انتخاب یک چارچوب مرجع محلی (گنج) از فضای مماس مربوطه  $T_p M$  رسمی‌سازی می‌کنیم.

یک چارچوب مرجع در  $p \in M$  یک تاپل مرتب  $[e_1, \dots, e_d]$  از  $d := \dim(M)$  بردار مماس خطی مستقل  $e_i \in T_p M$  است که به عنوان محورهای چارچوب نامیده می‌شوند. از آنجا که چارچوب‌های مختلف در  $p$  با تبدیل‌های خطی مرتبط هستند، انتخاب‌های مختلف چارچوب‌ها با تغییر شکل‌های کرنل خطی مطابقت دارند. شکل ۵ دو انتخاب مختلف از میدان‌های چارچوب را در  $M = \mathbb{R}^2$  نشان می‌دهد. به اشتراک گذاشتن یک کرنل کانولوشنی در امتداد این میدان‌های چارچوب منجر به میدان‌های کرنل (کانولوشنی) مربوطه می‌شود.

شناسایی ترازهای کرنل با چارچوب‌های مرجع این سؤال را مطرح می‌کند:

انتخاب چارچوب‌های مرجع محلی بر روی یک منیفولد (ریمانی) تا چه حد مبهم است؟

همانطور که در ادامه توضیح داده می‌شود، ابهام چارچوب‌های مرجع توسط یک  $G$ -ساختار که منیفولد به آن مجهز است، تعیین می‌شود.

## ۱.۱.۲ □-ساختارها

بندل چارچوب  $FM$

فضای همه چارچوب‌های ممکن  $T_p M$  با عنوان  $F_p M$  نشان داده می‌شود. با هم، چارچوب‌های همه فضاهای مماس، بندل چارچوب  $FM$  را تشکیل می‌دهند؛ به شکل  $??$  مراجعه کنید. هیچ انتخاب خاصی از چارچوب‌ها در  $FM$  بر روی یک منیفولد هموار "عریان" (بدون ساختار هندسی اضافی) ترجیح داده نمی‌شود، که ابهام تراز کرنل‌ها را حداکثری می‌کند. برای رفع ابهام چارچوب‌ها و ترازهای کرنل، منیفولد باید با ساختار هندسی اضافی مجهز شود.

ساختار متریک  $OM$

یک منیفولد ریمانی با ساختار متریک مجهز شده است. با ارائه یک حاصل ضرب داخلی (متریک ریمانی) بر روی فضاهای مماس، این ساختار امکان شناسایی چارچوب‌های خاصی را می‌دهد که محورهای آن‌ها متعامد با یکدیگر هستند. تبدیل‌های گنج، یعنی تبدیل‌ها بین انتخاب‌های چارچوب‌های مرجع (به اشکال  $??$  (چپ) و ۶ مراجعه کنید)، سپس مقادیری در گروه متعامد  $d$  می‌گیرند. در منیفلدهای ریمانی، تراز کرنل‌ها همیشه تا چرخش‌ها و بازتاب‌ها بدون ابهام است.

$G$ -ساختارها  $GM$

شبکه‌های کانولوشنی اقلیدسی کرنل‌های کانولوشن (و در نتیجه چارچوب‌ها) را تراز می‌کنند موازی با یکدیگر همانطور که در شکل ۵ (بالا) بصری‌سازی شده است. شبکه‌های کانولوشنی کروی معمولاً ترازهای کرنل را تا چرخش‌ها بدون ابهام می‌کنند، یعنی آن‌ها یک دست‌پری ترجیحی از چارچوب‌های مرجع را فرض می‌کنند. ساختار متریک به تنهایی برای توصیف این تنظیمات کافی نیست، که نشان می‌دهد این منیفلدهایی با ساختار هندسی اضافی علاوه بر ساختار متریک مجهز شده‌اند. ما پیشنهاد می‌کنیم که چارچوب ریاضی مناسب،  $G$ -ساختارها است و فرض می‌کنیم:

ابهام در انتخاب چارچوب‌های مرجع (و در نتیجه ترازهای کرنل)  
بر روی یک منی‌فولد  $M$  با  $G$ -ساختار  $GM$  آن رسمی‌سازی می‌شود.

$G$ -ساختارها  $GM$  بندلهایی از چارچوب‌های مرجع متمایز بر روی  $M$  هستند به طوری که تبدیل‌های گلیچ بین چارچوب‌های یک فضای مماس واحد، مقادیری در گروه ساختار  $G \leq GL(d)$  می‌گیرند. به طور شهودی، می‌توان مجموعه  $G_p M$  چارچوب‌های  $T_p M$  را "شبه  $G$ " دانست، با این حال، بدون یک مبدأ متمایز.<sup>۴</sup>

بندل چارچوب  $FM$  خود یک  $G$ -ساختار با  $G = GL(d)$  است، در حالی که بندل چارچوب‌های متعامد  $OM$  یک  $G$ -ساختار (ساختار متریک) با  $G = d$  است. شبکه‌های کانولوشنی اقلیدسی سنتی بر روی میدان چارچوب کانونی در  $\mathbb{R}^d$  که در شکل ۱۱ نشان داده شده است، تکیه دارند که یک  $G$ -ساختار برای گروه بدیهی  $G = \{e\}$  است. شکل ۱۲  $G$ -ساختارها را برای منی‌فلدهای بیشتر و گروه‌های ساختار دیگر بصری‌سازی می‌کند. مروری بر گروه‌های ساختار رایج در جدول ۱ در بخش ۳.۱.۳ یافت می‌شود.

ما در ادامه همیشه منی‌فلدهای ریمانی را مجهز به یک  $G$ -ساختار اضافی در کنار ساختار متریک خود فرض خواهیم کرد.<sup>۵</sup> انتخاب خاص  $G$ -ساختار خواص شبکه عصبی را تعیین می‌کند؛ ما در مورد این انتخاب در بخش ۱۱ زیر توضیح خواهیم داد.

<sup>۴</sup>  $GM$  یک فضای همگن اصلی از  $G$  (یا  $G/G$ ) است.

<sup>۵</sup>  $G$ -ساختار باید با ساختار متریک سازگار باشد به این صورت که چارچوب‌های متمایز در  $GM$  زیرمجموعه‌ای از چارچوب‌های متعامد در  $OM$  باشند زمانی که  $G < d$ . به طور خاص برای  $G = d$ ،  $G$ -ساختار  $GM$  با ساختار متریک  $OM$  منطبق است و اطلاعات هندسی اضافی را اضافه نمی‌کند.

شبکه‌های کانولوشنی سلسله‌مراتبی از میدان‌های ویژگی را از یک سیگنال ورودی بر روی یک منی‌فولد استخراج می‌کنند. ویژگی‌ها از طریق کرنل‌ها محاسبه می‌شوند، که برای شناسایی الگوهای فضایی مشخص در ویژگی‌های سطح پایین تر بهینه شده‌اند. ما تقاضا می‌کنیم که این فرآیند استنتاج صرفاً بر اساس آرایش نسبی ویژگی‌ها باشد و مستقل از انتخاب خاص مختصات بندی باشد. بنابراین ویژگی‌ها باید کمیت‌های هندسی مستقل از مختصات باشند، مشابه اسکالر‌ها، بردارها یا تانسورها. در حالی که چنین کمیت‌های هندسی مستقل از مختصات وجود دارند، یک پیاده‌سازی کامپیوتری (غیرنمادین) نیازمند آن است که آن‌ها بر حسب ضرایب عددی در برخی گجج، یعنی نسبت به برخی انتخاب از چارچوب مرجع، بیان شوند. انتخاب خاص مختصات بی‌اهمیت است □ این تنها یکی از چندین توصیف معادل است. چارچوب ریاضی مناسب برای تنظیم چنین درجات آزادی اضافی، نظریه‌های گجج هستند. یک نظریه گجج، برابری گجج‌های مختلف را با مرتبط کردن سازگار آن‌ها با یکدیگر از طریق تبدیل‌های گجج در نظر می‌گیرد. میدان‌های ویژگی مستقل از مختصات بنابراین با یک قانون تبدیل خاص، یعنی یک عمل گروهی از گروه ساختار که توصیف می‌کند ویژگی‌ها چگونه تحت تبدیل‌های گجج تبدیل می‌شوند، مرتبط هستند. هر لایه شبکه عصبی که چنین میدان‌های ویژگی را پردازش می‌کند، ملزم به رعایت قوانین تبدیل آن‌ها برای حفظ استقلال از مختصاتشان است.

هدف این بخش اول از کار ما، معرفی شبکه‌های کانولوشنی مستقل از مختصات با زبانی آسان است. بنابراین، شهود هندسی و بصری‌سازی‌ها بر فرمالیسم ریاضی ترجیح داده می‌شوند. یک تبیین رسمی تر از تعاریف و نتایج ارائه شده در بخش ۴ آورده شده است.

بخش ۳ گجج‌ها و تبدیل‌های گجج را معرفی می‌کند که بر اساس آن‌ها میدان‌های بردارهای ویژگی مستقل از مختصات تعریف می‌شوند. شبکه‌های عصبی که بین چنین میدان‌های ویژگی نگاشت می‌کنند، در بخش ۴ توسعه یافته‌اند. بخش ۴ یک نمونه پیاده‌سازی از میدان‌های ویژگی و لایه‌های شبکه را در نوار موبیوس ارائه می‌دهد.

## ۳ مقدمه‌ای بر شبکه‌های کانولوشنی مستقل از مختصات

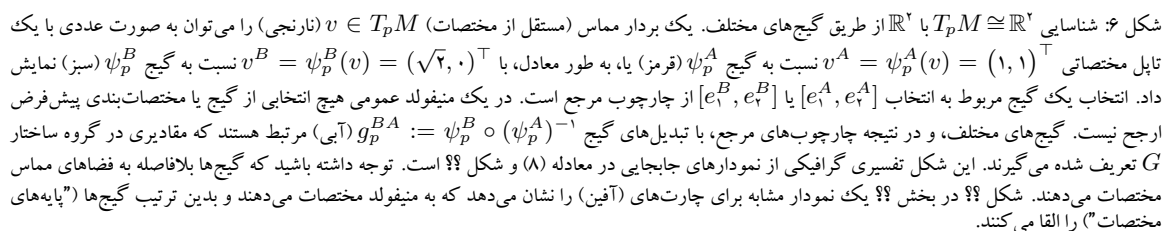
شبکه‌های کانولوشنی سلسله‌مراتبی از میدان‌های ویژگی را از یک سیگنال ورودی بر روی یک منی‌فولد استخراج می‌کنند. ویژگی‌ها از طریق کرنل‌ها محاسبه می‌شوند، که برای شناسایی الگوهای فضایی مشخص در ویژگی‌های سطح پایین تر بهینه شده‌اند. ما تقاضا می‌کنیم که این فرآیند استنتاج صرفاً بر اساس آرایش نسبی ویژگی‌ها باشد و مستقل از انتخاب خاص مختصات بندی باشد. بنابراین ویژگی‌ها باید کمیت‌های هندسی مستقل از مختصات باشند، مشابه اسکالر‌ها، بردارها یا تانسورها. در حالی که چنین کمیت‌های هندسی مستقل از مختصات وجود دارند، یک پیاده‌سازی کامپیوتری (غیرنمادین) نیازمند آن است که آن‌ها بر حسب ضرایب عددی در برخی گجج، یعنی نسبت به برخی انتخاب از چارچوب مرجع، بیان شوند. انتخاب خاص مختصات بی‌اهمیت است □ این تنها یکی از چندین توصیف معادل است. چارچوب ریاضی مناسب برای تنظیم چنین درجات آزادی اضافی، نظریه‌های گجج هستند. یک نظریه گجج، برابری گجج‌های مختلف را با مرتبط کردن سازگار آن‌ها با یکدیگر از طریق تبدیل‌های گجج در نظر می‌گیرد. بنابراین میدان‌های ویژگی مستقل از مختصات با یک قانون تبدیل خاص، یعنی یک عمل گروهی از گروه ساختار که توصیف می‌کند ویژگی‌ها چگونه تحت تبدیل‌های گجج تبدیل می‌شوند، مرتبط هستند. هر لایه شبکه عصبی که چنین میدان‌های ویژگی را پردازش می‌کند، ملزم به رعایت قوانین تبدیل آن‌ها برای حفظ استقلال از مختصاتشان است. هدف این بخش اول از کار ما، معرفی شبکه‌های کانولوشنی مستقل از مختصات با زبانی آسان است. بنابراین، شهود هندسی و بصری‌سازی‌ها بر فرمالیسم ریاضی ترجیح داده می‌شوند. یک تبیین رسمی تر از تعاریف و نتایج ارائه شده در بخش ۴ آورده شده است.

بخش ۳ گجج‌ها و تبدیل‌های گجج را معرفی می‌کند که بر اساس آن‌ها میدان‌های بردارهای ویژگی مستقل از مختصات تعریف می‌شوند. شبکه‌های عصبی که بین چنین میدان‌های ویژگی نگاشت می‌کنند، در بخش ۴ توسعه یافته‌اند. بخش ۴ یک نمونه پیاده‌سازی از میدان‌های ویژگی و لایه‌های شبکه را در نوار موبیوس ارائه می‌دهد.

## ۱.۳ گجج‌ها، تبدیل‌های گجج و $G$ -ساختارها

### ۱.۱.۳ فضاهای مماس و چارچوب‌های مرجع

یک منی‌فولد هموار  $d$ -بعدی  $M$  دارای یک فضای مماس  $T_p M \cong \mathbb{R}^d$  متصل به هر نقطه  $p \in M$  است. فضاهای مماس، فضاهای برداری  $d$ -بعدی هستند، با این حال، برخلاف  $\mathbb{R}^d$  آن‌ها به طور کلی با هیچ انتخاب ارجح چارچوب مرجع همراه نیستند. یک بردار مماس  $v \in T_p M$  یک شی مستقل از مختصات است و بنابراین بلافاصله به صورت عددی با یک تاپل مختصاتی  $(v_1, \dots, v_d) \in \mathbb{R}^d$  نمایش داده نمی‌شود. به طور انتزاعی تر، هر



یک گنج (تسهیم محلی باندل مماس) بر روی  $U^A \subseteq M$  به عنوان مجموعه‌ای از نگاشت‌های خطی معکوس پذیر که به صورت هموار وابسته به موقعیت هستند، تعریف می‌شود:

که هم‌ریختی‌های فضای برداری گمشده بین  $T_p\mathbb{R}^d$  را مشخص می‌کند. همانطور که در شکل ۶ بصری‌سازی شده است، آن‌ها با تخصیص یک بردار ضرب به فضاهای مماس مختصات می‌دهند:

به هر بردار مماس مستقل از مختصات  $v \in T_p M$  معکوس این رابطه می‌دهد:

که در آن  $\{\epsilon_1, \dots, \epsilon_d\}$  را پایه استاندارد  $\mathbb{R}^d$  نامگذاری کرده‌ایم و از خطی بودن گِیج برای بیرون کشیدن جمع استفاده کرده‌ایم. این نشان می‌دهد که گِیج را می‌توان به عنوان مجهز کردن هر فضای مماس  $T_p M$  با یک جارجوب مرجع در نظر گرفت:

که به عنوان یک  $d$ -تاپل از بردارهای مماس خطی مستقل تعریف می‌شود که با نگاشت پایه استاندارد  $\mathbb{R}^d$  به عقب از طریق نگاشت معکوس گنج به دست می‌آید. برای اختصار، ما در ادامه از نماد کوتاه‌شده  $[e_i^A]_{i=1}^d$  برای چارچوب‌ها  $(e_1^A, \dots, e_d^A)$  استفاده خواهیم کرد. ضرایب  $v^A$  مختصات  $v$  نسبت به این چارچوب هستند. مجموعه‌ای از چارچوب‌های القا شده توسط  $\psi_p^A$  بر روی  $U^A$  (هموار) میدان چارچوب نامیده می‌شود؛ برای بصری‌سازی به شکل ۷ مراجعه کنید.

گیج‌های  $\psi^X$  فضاهای مماس را تنها در همسایگی‌های محلی  $U^X \subseteq M$  مختصات می‌دهند، و به دلیل موانع توپولوژیکی به طور کلی نمی‌توانند به کل منیفلد بدون نقض فرض همواری گسترش یابند. بنابراین یک اطلس در نظر گرفته می‌شود:

$$\mathcal{A} = \{(U^X, \psi^X)\}_{X \in \mathfrak{X}}, \quad (5)$$

مشکل از گیج‌های هموار بر روی مجموعه‌ای از همسایگی‌های  $U^X$  که منیفلد را پوشش می‌دهند، یعنی شرط  $\bigcup_{X \in \mathfrak{X}} U^X = M$  را برآورده می‌کنند، که در آن  $\mathfrak{X}$  یک مجموعه اندیس است.<sup>۶</sup> در نواحی همپوشانی  $U^A \cap U^B \neq \emptyset$  از همسایگی‌ها، گیج‌های مختلف  $\psi_p^A$  و  $\psi_p^B$  توسط توابع گذار هموار به هم متصل می‌شوند:

$$g^{BA}: U^A \cap U^B \rightarrow \text{GL}(d), \quad p \mapsto g_p^{BA} := \psi_p^B \circ (\psi_p^A)^{-1}. \quad (6)$$

در اینجا ما دامنه مشترک (فعالاً) را با گروه خطی عمومی  $\text{GL}(d)$  در نظر می‌گیریم، مشکل از همه ماتریس‌های معکوس‌پذیر در  $\mathbb{R}^{d \times d}$ ، که رابطه بین هر جفت از هم‌ریختی‌های فضای برداری (گیج‌ها) یا چارچوب‌های مرجع را توضیح می‌دهند. عمل چنین تابع گذاری بر روی یک گیج داده شده یک تبدیل گیج را تعریف می‌کند:

$$\psi_p^B = g_p^{BA} \cdot \psi_p^A. \quad (7)$$

از نظر یک نمودار جابجایی، رابطه بین گیج‌های مختلف به صورت زیر بصری‌سازی می‌شود:<sup>۷</sup>

$$\begin{array}{ccc} & g_p^{BA} & \\ \begin{array}{c} \downarrow \\ \mathbb{R}^d \end{array} & \begin{array}{c} \xleftarrow{\psi_p^A} T_p M \xrightarrow{\psi_p^B} \end{array} & \begin{array}{c} \downarrow \\ \mathbb{R}^d \end{array} \\ & g_p^{AB} = (g_p^{BA})^{-1} & \end{array} \quad (8)$$

این نمودار را با تفسیر گرافیکی آن در شکل ۶ مقایسه کنید.

یک تبدیل گیج، مختصات‌بندی فضاهای مماس را تغییر می‌دهد به طوری که همان بردار مماس مستقل از مختصات  $v$  با یک بردار مولفه‌ای متفاوت نمایش داده می‌شود:

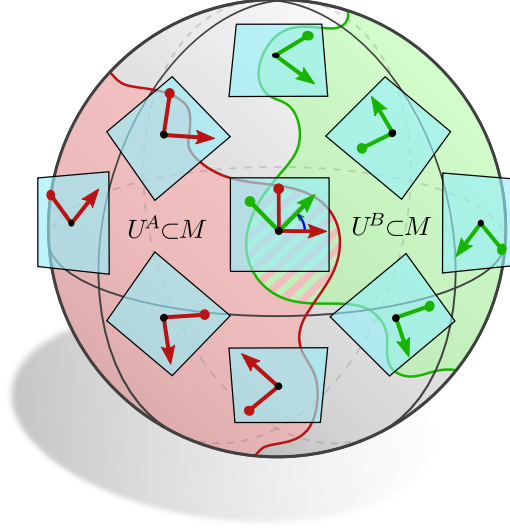
$$v^B = g_p^{BA} v^A. \quad (9)$$

<sup>۶</sup> اطلس گیج‌ها بسیار شبیه به اطلس‌های معمول چارت‌های یک منیفلد است (پیوست ۳). تفاوت این است که اطلس‌های مورد نظر در اینجا مستقیماً به بندل مماس  $TM$  مختصات می‌دهند به جای منیفلد  $M$ .

<sup>۷</sup> نمودارها یک نمای کلی بصری از توابع و فضاهایی را که بین آن‌ها نگاشت می‌کنند، ارائه می‌دهند. به عنوان مثال، نمودار

$$\begin{array}{ccc} X & \xrightarrow{f} & Y \\ & \searrow h & \downarrow g \\ & & Z \end{array}$$

به این معنی است که توابع  $f: X \rightarrow Y$ ،  $g: Y \rightarrow Z$  و  $h: X \rightarrow Z$  وجود دارند. اگر ترکیبات توابع در امتداد همه مسیرهایی با شروع و پایان یکسان مطابقت داشته باشند، نمودار جابجایی نامیده می‌شود. نمودار مثال ما اگر (و تنها اگر)  $h = g \circ f$  صادق باشد، جابجایی است.



شکل ۷: هر نقطه  $p$  از یک منیفولد ریمانی  $M$  دارای یک فضای مماس  $T_p M$  متصل است. یک گنج هموار  $\psi^A$  بر روی یک زیرمجموعه مناسب انتخاب شده  $U^A \subseteq M$  (قرمز) تمام فضاهای مماس  $T_p M$  را برای  $p$  در  $U^A$  مختصات می‌دهد همانطور که در شکل ۶ نشان داده شده است. این معادل انتخاب یک میدان چارچوب هموار بر روی  $U^A$  است. از آنجا که به طور کلی امکان گسترش یک گنج به صورت سراسری بر روی کل منیفولد وجود ندارد، لازم است که یک  $G$ -اطلس در نظر گرفته شود، متشکل از گنج‌هایی که  $M$  را پوشش می‌دهند. مختصات بندی‌های مختلف  $\psi^A$  بر روی  $U^A$  (قرمز) و  $\psi^B$  بر روی  $U^B$  (سبز) از طریق تبدیل‌های گنج (یا نگاشت‌های گذار)  $g^{BA} : U^A \cap U^B \rightarrow G$  به هم متصل می‌شوند که بر روی همپوشانی  $U^A \cap U^B$  (خط‌دار) تعریف شده‌اند و مقادیری در گروه ساختار  $G \leq GL(d)$  می‌گیرند.

از آنجا که یک گنج مربوط به انتخاب یک میدان چارچوب است، یک تبدیل گنج مربوط به تبدیل بین میدان‌های چارچوب است. به طور خاص، یک چارچوب  $[e_i^A]_{i=1}^d$  در  $p \in M$  به یک چارچوب دیگر تبدیل می‌شود:

$$\begin{aligned}
 [e_i^B]_{i=1}^d &:= \left[ (\psi_p^B)^{-1}(\epsilon_i) \right]_{i=1}^d && \text{(چارچوب القا شده توسط گنج، (۴))} \\
 &= \left[ (g_p^{BA} \cdot \psi_p^A)^{-1}(\epsilon_i) \right]_{i=1}^d && \text{(تبدیل گنج، (۷))} \\
 &= \left[ (\psi_p^A)^{-1} \left( (g_p^{BA})^{-1} \epsilon_i \right) \right]_{i=1}^d && \text{(معکوس گسترش یافته)} \\
 &= \left[ (\psi_p^A)^{-1} \left( \sum_j \epsilon_j \epsilon_j^\top (g_p^{BA})^{-1} \epsilon_i \right) \right]_{i=1}^d && \left( \mathbb{1} = \sum_j \epsilon_j \epsilon_j^\top \text{ هویت وارد شده} \right) \\
 &= \left[ (\psi_p^A)^{-1} \left( \sum_j \epsilon_j \left( (g_p^{BA})^{-1} \right)_{ji} \right) \right]_{i=1}^d && \left( \text{عناصر ماتریس } (g_p^{BA})^{-1} \text{ شناسایی شده} \right) \\
 &= \left[ \sum_j (\psi_p^A)^{-1}(\epsilon_j) \left( (g_p^{BA})^{-1} \right)_{ji} \right]_{i=1}^d && \left( \psi_p^A \text{ خطی بودن} \right) \\
 &= \left[ \sum_j e_j^A \left( (g_p^{BA})^{-1} \right)_{ji} \right]_{i=1}^d && \text{(چارچوب القا شده توسط گنج، (۴))} \\
 &=: [e_i^A]_{i=1}^d \blacktriangleright (g_p^{BA})^{-1} && (۱۰)
 \end{aligned}$$

از طریق عمل راست تعریف شده:

$$\blacktriangleright : ([e_i]_{i=1}^d, g) \mapsto [e_i]_{i=1}^d \blacktriangleright g := \left[ \sum_j e_j g_{ji} \right]_{i=1}^d \quad (۱۱)$$

از عناصر گروه بر روی چارچوب‌ها. توجه داشته باشید که معکوس در این عمل در معادله (۱۰) به دلیل تعریف معادله (۷) بدون معکوس است.<sup>۸</sup> معمولاً به رفتار تبدیل چارچوب‌های مرجع، تبدیل کوواریانت گفته می‌شود در حالی که تبدیل گنج‌ها و ضرایب برداری به عنوان تبدیل کونترواریانت نامیده می‌شود؛ به پیوست؟؟ مراجعه کنید.

<sup>۸</sup> قراردادهای دیگر ممکن است انتخاب معکوس‌ها را در  $\psi^B = g^{BA} \psi^A$  و  $[e_i^B]_{i=1}^d = [e_i^A]_{i=1}^d \blacktriangleright (g^{BA})^{-1}$  تغییر دهند. یک معکوس در هر یک از دو معادله برای سازگاری عمل چپ  $\blacktriangleright$  بر روی گنج‌ها و عمل راست  $\blacktriangleright$  بر روی چارچوب‌ها ضروری است.

از آنجا که رفتار تبدیل ضرایب در معادله (۹) و پایه در معادله (۱۰) معکوس یکدیگر هستند، آن‌ها یکدیگر را خنثی می‌کنند، یعنی بردار مماس  $v = \sum_i v_i^A e_i^A = \sum_i v_i^B e_i^B$  را ناورد می‌گذارند:

$$\begin{aligned} v &= \sum_i v_i^B e_i^B = \sum_i v_i^B \sum_j e_j^A \left( (g_p^{BA})^{-1} \right)_{ji} \\ &= \sum_j \left( \sum_i \left( (g_p^{BA})^{-1} \right)_{ji} v_i^B \right) e_j^A \\ &= \sum_j v_j^A e_j^A. \end{aligned} \quad (12)$$

این ساختار تضمین می‌کند که هر محاسبه‌ای در نهایت مستقل از گنج انتخاب شده است، که معمولاً به آن استقلال از مختصات گفته می‌شود. به طور کلی، هر نمایش مختصاتی از یک شی یا تابع مستقل از مختصات برای دلایل سازگاری باید مستقل از مختصات باشد.

برای کامل بودن می‌خواهیم اشاره کنیم که فرمالیسم ارائه شده در اینجا پایه‌های عمومی فضاها را تعریف می‌کند، که گاهی اوقات به عنوان پایه‌های غیرمختصاتی (پایه‌های غیرهولونومیک) از نظر گنج‌های محلی نامیده می‌شوند. یک جایگزین بسیار محبوب اما کمتر عمومی پایه‌های مختصاتی (پایه‌های هولونومیک) هستند:

$$\left[ \frac{\partial}{\partial x^A} \Big|_p, \dots, \frac{\partial}{\partial x^A} \Big|_p \right], \quad (13)$$

که توسط چارت‌های مختصاتی منیفلد القا می‌شوند [۴]:

$$x^A : U^A \rightarrow V^A \subseteq \mathbb{R}^d \quad (14)$$

گنج‌های مربوطه توسط دیفرانسیل‌های چارت داده می‌شوند، یعنی:

$$\psi_p^A = \hat{dx}_p^A = (\hat{dx}_{p,1}^A, \dots, \hat{dx}_{p,d}^A)^\top : T_p M \rightarrow \mathbb{R}^d. \quad (15)$$

تبدیل‌های گنج در این تنظیم با ژاکوبیان‌ها مطابقت دارند:

$$g_p^{BA} = \frac{\partial x^B}{\partial x^A} \Big|_{x^A(p)} \in \text{GL}(d) \quad (16)$$

از نگاشت‌های گذار چارت. یک چارت نمونه و پایه‌های مختصاتی القا شده آن در شکل ۸ بصری سازی شده‌اند. پیوست ۴۴ رابطه بین هر دو فرمالیسم را با جزئیات مورد بحث قرار می‌دهد؛ یک مرور کلی در جدول ۴۴ ارائه شده است.

در ادامه این مقاله ما عمدتاً در فرمالیسم گنج کار خواهیم کرد، که چارچوب‌های مرجع را مستقیماً به فضاها می‌مماس تخصیص می‌دهد به جای اینکه آن‌ها را از چارت‌ها القا کند. استنهاها عبارتند از کانولوشن‌های موبوس در بخش ۴۴، CNN‌های اقلیدسی در بخش ۴۴، مختصات لگاریتمی-قطبی در بخش ۴۴ و CNN‌های بیست و جهی در بخش ۴۴. در همه این موارد، منیفلدهایی به صورت محلی مسطح هستند و چارت‌ها ایزومتریک هستند، به طوری که چارچوب‌های متعامد را القا می‌کنند. کانولوشن‌های  $GM$  در  $U^A$  سپس می‌توانند به روشی کارآمد با اجرای کانولوشن‌های اقلیدسی با کرنل‌های  $G$ -استیریل در دامنه‌های مشترک چارت‌ها  $V^A$  محاسبه شوند.

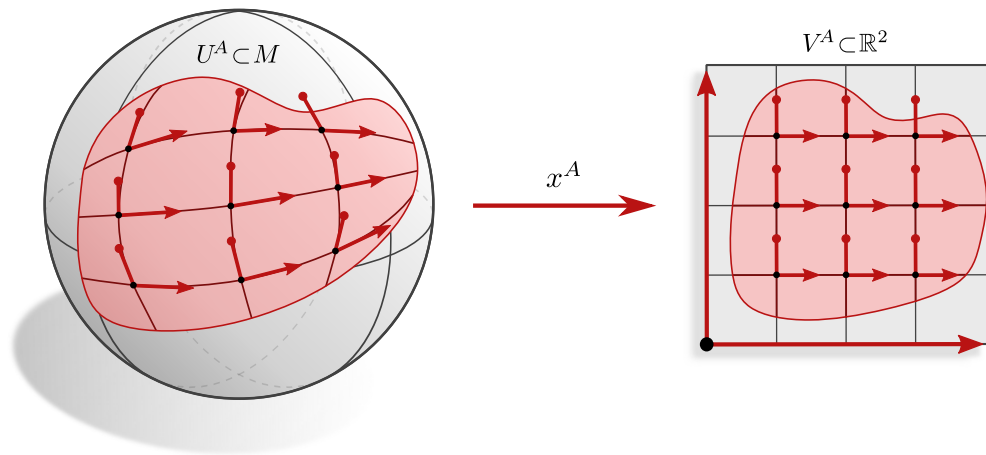
### ۲.۱.۳ توابع مستقل از مختصات در فضاها مماس

همانطور که بردارهای  $v \in T_p M$ ، توابع بر روی فضاها مماس مستقل از مختصات هستند، یعنی بدون اشاره به هیچ چارچوب مرجع تعریف می‌شوند. یک گنج انتخاب شده امکان نمایش چنین نگاشت‌های مستقل از مختصات را توسط توابعی فراهم می‌کند که بر روی بردارهای ضریب در  $\mathbb{R}^d$  عمل می‌کنند. مشابه بردارهای ضریب، مختصات‌بندی توابع باید به روشی خاص تحت تبدیل‌های گنج تبدیل شوند تا به طور سازگار تعریف شوند، یعنی برای رعایت استقلال از مختصات. ما بعداً مفهوم ارائه شده در اینجا را از بیان نگاشت‌های مستقل از مختصات بر حسب مختصات محلی برای تعریف کانولوشن‌های مستقل از مختصات  $GM$  به کار خواهیم برد.

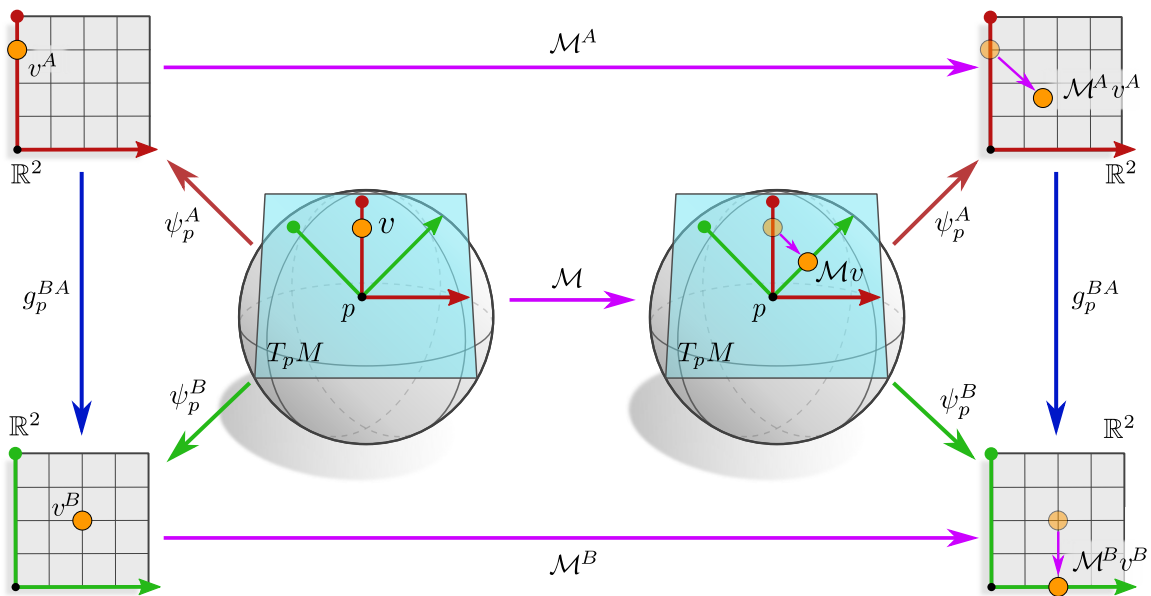
به عنوان یک مثال ساده برای یک عملیات مستقل از مختصات، بیایید حالت یک نگاشت خطی را در نظر بگیریم:

$$\mathcal{M} : T_p M \rightarrow T_p M. \quad (17)$$

فرض کنید  $v_{\square\square} \in T_p M$  یک بردار مماس باشد که توسط  $\mathcal{M}$  به  $v_{\square\square} = \mathcal{M}v_{\square\square} \in T_p M$  نگاشت می‌شود. نگاشت‌های خطی در پیاده‌سازی‌های عددی معمولاً توسط ماتریس‌های ضریب مدل می‌شوند که بین بردارهای ضریب نسبت به یک انتخاب از چارچوب مرجع نگاشت می‌کنند. برای دقیق



شکل ۸: یک چارت  $x^A : U^A \rightarrow V^A \subseteq \mathbb{R}^d$  مختصات  $x^A$  را به نواحی  $U^A \subseteq M$  از منیفولد تخصیص می‌دهد. این چارت پایه‌های مختصاتی  $\left[ \frac{\partial}{\partial x^1} \Big|_p, \dots, \frac{\partial}{\partial x^d} \Big|_p \right]$  و گنج‌های مربوطه  $\psi_p^A = \hat{d}x_p^A$  را برای فضاهای مماس  $T_p M$  در  $U^A$  القا می‌کند. ما عمدتاً با چارت‌ها کار نخواهیم کرد بلکه به نقاط  $p \in M$  به صورت مستقل از مختصات ارجاع خواهیم داد. گنج‌ها (چارچوب‌ها) سپس مستقیماً به فضاهای مماس تخصیص داده می‌شوند به جای اینکه از چارت‌ها القا شوند.



شکل ۹: تفسیر گرافیکی نمودار جایجایی در معادله (۲۳). یک نگاشت مستقل از مختصات  $\mathcal{M} : T_p M \rightarrow T_p M$  را می‌توان به طور معادل با توابع  $\mathcal{M}^A : \mathbb{R}^d \rightarrow \mathbb{R}^d$  یا  $\mathcal{M}^B : \mathbb{R}^d \rightarrow \mathbb{R}^d$  نسبت به گنج‌های مختلف  $\psi_p^A$  یا  $\psi_p^B$  نمایش داد. این مختصات‌بندی‌های  $\mathcal{M}$  با پیش و پس ترکیب با گنج‌ها در دامنه و دامنه مشترک تعریف می‌شوند، به عنوان مثال، با دنبال کردن فلش‌ها،  $\mathcal{M}^A := \psi_p^A \circ \mathcal{M} \circ (\psi_p^B)^{-1}$ . در نتیجه، تبدیل‌های گنج  $\mathcal{M}^B = g_p^{BA} \mathcal{M}^A (g_p^{BA})^{-1}$  بین مختصات‌بندی‌ها توسط یک پیش و پس ترکیب با نگاشت‌های گذار  $g_p^{BA}$  در دامنه و دامنه مشترک داده می‌شوند. همه کمیت‌ها و نگاشت‌ها در این کار یا مستقل از مختصات خواهند بود (مانند  $\mathcal{M}$ ) یا به روشی مستقل از مختصات در گنج‌های مختلف بیان خواهند شد (مانند  $\mathcal{M}^A$  و  $\mathcal{M}^B$ ). ما بنابراین باید قوانین تبدیل را برای هر کمیت و تابع تعریف (یا استخراج) کنیم.



کردن این موضوع، فرض کنید گنج  $\psi_p^A$  داده شده باشد به طوری که بردارهای مستقل از مختصات  $v_{\square\square}$  و  $v_{\square\square\square}$  در  $T_p M$  با بردارهای ضریب  $v_{\square\square}^A = \psi_p^A(v_{\square\square})$  و  $v_{\square\square\square}^A = \psi_p^A(v_{\square\square\square})$  در  $\mathbb{R}^d$  نمایش داده شوند. نگاشت خطی  $\mathcal{M}$  در این گنج توسط ماتریس نمایش داده می‌شود:

$$\mathcal{M}^A := \psi_p^A \circ \mathcal{M} \circ (\psi_p^A)^{-1} \in \mathbb{R}^{d \times d} \quad (18)$$

که تعریف آن توسط نمودار جابجایی زیر بصری سازی شده است:

$$\begin{array}{ccccc} \mathbb{R}^d & \xleftarrow{\psi_p^A} & T_p M & \xrightarrow{\mathcal{M}} & T_p M & \xrightarrow{\psi_p^A} & \mathbb{R}^d \\ & \searrow & & & & \nearrow & \\ & & \mathcal{M}^A & & & & \end{array} \quad (19)$$

ماتریس با نگاشت مستقل از مختصات سازگار است زیرا هر دو یکدیگر را نتیجه می‌دهند:

$$\begin{aligned} \mathcal{M}^A v_{\square\square}^A &= [\psi_p^A \circ \mathcal{M} \circ (\psi_p^A)^{-1}] \circ [\psi_p^A(v_{\square\square})] \\ &= \psi_p^A(\mathcal{M} v_{\square\square}) \\ &= \psi_p^A(v_{\square\square\square}) \\ &= v_{\square\square\square}^A \end{aligned} \quad (20)$$

البته می‌توان  $\mathcal{M}$  را نسبت به هر انتخاب دیگری از گنج  $\psi_p^B$  نیز نمایش داد. ما از معادله (۹) می‌دانیم که بردارهای ضریب در گنج‌های مختلف با  $v^B = g_p^{BA} v^A$  مرتبط هستند. به طور مشابه،  $\mathcal{M}^B$  با  $\mathcal{M}^A$  توسط تبدیل گنج مرتبط است:

$$\begin{aligned} \mathcal{M}^B &= \psi_p^B \circ \mathcal{M} \circ (\psi_p^B)^{-1} \\ &= \psi_p^B \circ (\psi_p^A)^{-1} \circ \mathcal{M}^A \circ \psi_p^A \circ (\psi_p^B)^{-1} \\ &= g_p^{BA} \mathcal{M}^A (g_p^{BA})^{-1}, \end{aligned} \quad (21)$$

که در اینجا هم بر دامنه و هم بر دامنه مشترک عمل می‌کند.<sup>۹</sup> این قانون تبدیل دوباره سازگار است زیرا تبدیل‌های متقابل یکدیگر را خنثی می‌کنند:

$$\begin{aligned} \mathcal{M}^B v_{\square\square}^B &= [g_p^{BA} \mathcal{M}^A (g_p^{BA})^{-1}] [g_p^{BA} v_{\square\square}^A] \\ &= g_p^{BA} \mathcal{M}^A v_{\square\square}^A \\ &= g_p^{BA} v_{\square\square\square}^A \\ &= v_{\square\square\square}^B \end{aligned} \quad (22)$$

تبدیل‌های گنج استخراج شده بنابراین تأیید می‌کنند که تمام محاسبات مختصات بندی شده در نهایت مستقل از مختصات هستند. روابط بین نگاشت مستقل از مختصات و مختصات بندی‌های آن توسط نمودار جابجایی زیر خلاصه می‌شود:

$$\begin{array}{ccccc} \mathbb{R}^d & \xrightarrow{\mathcal{M}^A} & \mathbb{R}^d & & \\ \downarrow g_p^{BA} & \swarrow \psi_p^A & & \searrow \psi_p^A & \downarrow g_p^{BA} \\ & T_p M & \xrightarrow{\mathcal{M}} & T_p M & \\ \downarrow g_p^{BA} & \swarrow \psi_p^B & & \searrow \psi_p^B & \downarrow g_p^{BA} \\ \mathbb{R}^d & \xrightarrow{\mathcal{M}^B} & \mathbb{R}^d & & \end{array} \quad (23)$$

که در شکل ۹ به صورت گرافیکی تفسیر شده است.

در عمل نمی‌توان نگاشت خطی مستقل از مختصات  $\mathcal{M}$  را به صورت عددی بدون اشاره به یک انتخاب مختصات بندی پیاده‌سازی کرد. با این حال، وجود آن تنها در صورتی (و تنها در صورتی) دلالت دارد که مختصات بندی‌های آن همانطور که در معادله (۲۱) مشخص شده است به یکدیگر مربوط باشند، که تضمین می‌کند رفتار تبدیل صحیح ضرایب بردار ورودی و خروجی در معادله (۹) حفظ می‌شود.

<sup>۹</sup> تبدیل ضرایب ماتریس از طریق ضرب چپ و راست با  $g^{BA}$  و  $(g^{BA})^{-1}$  به ترتیب، نگاشت خطی را به عنوان یک تانسور از نوع  $(1, 1)$  شناسایی می‌کند.

### ۳.۱.۳ گروه‌های ساختار، $G$ -ساختارها و $G$ -اطلس‌ها

ما بعداً از شبکه‌های عصبی می‌خواهیم که به روشی مستقل از مختصات عمل کنند، یعنی ما تقاضا می‌کنیم که استنتاج آن‌ها مستقل از انتخاب‌های دلخواه چارچوب‌های مرجع باشد. این سؤال را مطرح می‌کند که انتخاب چارچوب‌های مرجع در یک منیفولد تا چه حد دلخواه است. در بخش‌های ۱.۱.۳ و ۲.۱.۳ قبلی ما هر انتخاب ممکن از گنج یا چارچوب مرجع را مجاز می‌دانستیم، که بنابراین توسط تبدیل‌های گنج با مقدار کلی  $GL(d)$  مرتبط بودند. با این حال، در بسیاری از کاربردها، منیفولد دارای ساختار اضافی است که امکان تشخیص یک زیرمجموعه ارجح از چارچوب‌های مرجع یا گنج‌ها را می‌دهد که توابع گذار آن‌ها مقادیری در یک گروه ساختار کاهش یافته  $G \leq GL(d)$  می‌گیرند. چنین ساختارهای هندسی  $\square$  یا بلکه خود زیرمجموعه‌های چارچوب‌های مرجع ترجیحی، که اطلاعات معادل را کدگذاری می‌کنند  $\square$  به عنوان  $G$ -ساختارها نامیده می‌شوند.

$G$ -ساختارها با در نظر گرفتن چند مثال خاص بهتر درک می‌شوند. لیست زیر چنین مثال‌هایی را ارائه می‌دهد که بر اساس گروه ساختار  $G \leq GL(d)$  طبقه‌بندی شده‌اند:

$d$ : ساختار متریک یک منیفولد ریمانی را در نظر بگیرید، که امکان اندازه‌گیری فواصل و زوایا را می‌دهد، و بنابراین تشخیص چارچوب‌های متعامد را، یعنی آن چارچوب‌هایی که شرط  $\eta(e_i, e_j) = \delta_{ij}$  را برای هر  $i, j = 1, \dots, d$  برآورده می‌کنند. به طور متناظر، یک متریک ریمانی امکان صحبت در مورد گنج‌های ایزومتریک  $\psi_p^A$  را می‌دهد، که متریک  $\mathbb{R}^d$  را با متریک  $T_p M$  شناسایی می‌کنند، یعنی شرط  $\eta(v, w) = \langle \psi_p^A(v), \psi_p^A(w) \rangle_{\mathbb{R}^d}$  را برای هر  $v, w \in T_p M$  برآورده می‌کنند. از آنجا که چارچوب‌های متعامد و گنج‌های ایزومتریک تا چرخش‌ها و بازتاب‌ها تعریف می‌شوند، هر تبدیل گنجی بین آن‌ها مقادیری در گروه متعامد  $d$  خواهد گرفت، که آن زیرگروه از  $GL(d)$  است که زوایا و فواصل را حفظ می‌کند.

$GL^+(d)$ : به طور مشابه، یک جهت‌گیری منیفولد چارچوب‌های راست‌گرد را از چپ‌گرد و گنج‌های حفظ‌کننده جهت‌گیری را از گنج‌های معکوس‌کننده جهت‌گیری متمایز می‌کند. تبدیل‌های گنج بین چارچوب‌های یک دست‌پری داده شده مقادیری در  $GL^+(d)$  می‌گیرند، یعنی آن زیرگروه از  $GL(d)$  که جهت‌گیری‌ها را حفظ می‌کند.

$SO(d)$ : با هم، یک متریک و جهت‌گیری داده شده، چارچوب‌های متعامد با جهت‌گیری خاصی را مشخص می‌کنند. تبدیل‌های گنج بین چنین چارچوب‌هایی تضمین شده‌اند که در زیرگروه  $SO(d)$  از  $GL(d)$  قرار گیرند.

$\{e\}$ : یک میدان چارچوب هموار سراسری یک  $\{e\}$ -ساختار را در  $M$  تعریف می‌کند. در این حالت تنها یک چارچوب متمایز در هر موقعیت وجود دارد، به طوری که تبدیل‌های گنج در گروه بدیهی  $\{e\} \leq GL(d)$  قرار می‌گیرند.

$GL(d)$ : اگر هیچ ساختار اضافی تحمیل نشود، هر چارچوب مرجع فضاهای مماس به همان اندازه معتبر است. تبدیل‌های گنج در این حالت نگاشت‌های خطی معکوس‌پذیر عمومی در  $GL(d)$  هستند و  $G$ -ساختار مربوطه فقط بندل چارچوب  $FM$  است.

موضوع مشترک در این مثال‌های انگیزشی این است که همه آن‌ها با موارد زیر تعریف می‌شوند:

۱. یک زیرمجموعه (که به صورت فضایی هموار تغییر می‌کند) از چارچوب‌های مرجع متمایز،
۲. یک زیرمجموعه مربوطه از گنج‌های ترجیحی و
۳. یک زیرگروه  $G \leq GL(d)$  از تبدیل‌های گنج که مفهوم متمایز چارچوب‌ها و گنج‌ها را حفظ می‌کنند.

چنین زیرمجموعه‌هایی از چارچوب‌های مرجع که به صورت هموار تغییر می‌کنند به عنوان  $G$ -ساختارها  $GM$  بر روی  $M$  نامیده می‌شوند و گروه  $G$  به عنوان گروه ساختار (کاهش یافته) نامیده می‌شود  $\square$  برای تعریفی دقیق‌تر به بخش ?? مراجعه کنید. <sup>۱۰</sup> فرآیند مشخص کردن یک  $G$ -ساختار به عنوان کاهش گروه ساختار از  $GL(d)$  به  $G$  شناخته می‌شود. یک اطلس  $\mathcal{A}^G = \{(U^X, \psi^X)\}_{X \in \mathfrak{X}}$  به عنوان  $G$ -اطلس نامیده می‌شود اگر تمام توابع گذار آن:

$$g^{BA}: U^A \cap U^B \rightarrow G, \quad p \mapsto g_p^{BA} := \psi_p^B \circ (\psi_p^A)^{-1} \quad (24)$$

در یک گروه ساختار کاهش یافته  $G \leq GL(d)$  قرار گیرند (مقایسه کنید با معادله (۶)). رابطه بین چارچوب‌های مرجع و گنج‌ها در معادله (۴) دلالت دارد بر اینکه هر  $G$ -اطلس یک  $G$ -ساختار مربوطه را کدگذاری می‌کند.

انتخاب‌های متعددی از  $G$ -ساختارها ممکن است برای یک گروه ساختار  $G$  داده شده وجود داشته باشند. برای ارتباط با مثال‌های بالا: متریک‌های ریمانی مختلف، زیرمجموعه‌های متفاوتی از چارچوب‌های مرجع را به عنوان متعامد مشخص می‌کنند، یعنی آن‌ها با ساختارهای  $d$  مختلف  $OM$  مطابقت دارند. بنابراین انتخاب یک متریک معادل انتخاب یک ساختار  $d$  است. به طور مشابه، انتخاب‌های مختلف جهت‌گیری یک منیفولد قابل جهت‌گیری، مجموعه متفاوتی از چارچوب‌ها را به عنوان راست‌گرد مشخص می‌کنند. بنابراین دو انتخاب ممکن جهت‌گیری با دو انتخاب ممکن از ساختارهای  $GL^+(d)$  مطابقت دارند. ساختارهای  $SO(d)$  (SOM) ممکن است در انتخاب جهت‌گیری و متریک هر دو متفاوت باشند. مثال دیگر ساختار  $\{e\}M$  است. آن‌ها اجازه تبدیل‌های گنج (غیربدیهی) را نمی‌دهند و بنابراین با انتخاب میدان‌های چارچوب هموار سراسری در  $M$  مطابقت دارند. جدول ۱ مثال‌های بیشتری از گروه‌های ساختار  $G$  و  $G$ -ساختارهای مربوطه را ارائه می‌دهد.

<sup>۱۰</sup> به طور رسمی،  $GM$  به عنوان یک زیربندل اصلی  $G$  از بندل چارچوب  $FM$  تعریف می‌شود، که یک بندل اصلی  $GL(d)$  است.

structure group $G \leq GL(d)$	$G$ -structure $GM$	equivalent structure on $M$
$GL^+(d)$	positively oriented frames	orientation of $M$
$SL(d)$	unit volume frames	volume form
$CO(d)$	conformal frames	—
$Sp(d)$	symplectic frames	—
$O(d)$	orthonormal frames	Riemannian metric
$O(d - n, n)$	pseudo-orthonormal frames	pseudo-Riemannian metric
$SO(d)$	positively oriented orthonormal frames	Riemannian metric + orientation
$\{e\}$	parallelization (global frame field)	—

جدول ۱: مثال‌هایی از  $G$ -ساختارها  $GM$  بر روی  $M$  و گروه‌های ساختار کاهش یافته مربوطه  $G \leq GL(d)$ . یک  $G$ -ساختار به عنوان یک زیرمجموعه هموار متغیر از چارچوب‌های مرجع (یک زیربندل اصلی  $G$  از بندل چارچوب  $FM$ ) تعریف می‌شود، که در آن چارچوب‌های هر فضای مماس به صورت متقابل توسط تبدیل‌های گلیج با مقدار  $G$  مرتبط هستند. در حالی که این تعریف نسبتاً انتزاعی است، امکان مشاهده بسیاری از ساختارهای هندسی در  $M$  را به روشی یکپارچه فراهم می‌کند. به عنوان مثال، یک متریک ریمانی در  $M$  امکان تشخیص چارچوب‌های متعامد را می‌دهد. برعکس، مشخص کردن متعامد بودن به طور منحصر به فرد یک متریک را نتیجه می‌دهد. بنابراین یک متریک ریمانی و یک ساختار متعامد با یکدیگر معادل هستند. به طور مشابه، یک تناظر یک به یک بین فرم‌های حجم و چارچوب‌های واحد حجم وجود دارد. توجه داشته باشید که انتخاب یک گروه ساختار  $G$  به طور منحصر به فرد یک  $G$ -ساختار را مشخص نمی‌کند. به عنوان مثال، متریک‌های ریمانی مختلف می‌توانند به عنوان ساختار  $d$  فرم‌های حجم مختلف به عنوان ساختار  $SL(d)$  یا میدان‌های چارچوب سراسری مختلف به عنوان ساختار  $\{e\}$  انتخاب شوند. CNN‌های مستقل از مختصات برای رعایت یک  $G$ -ساختار داده شده طراحی شده‌اند □ اینکه کدام ساختار خاص است به وظیفه یادگیری بستگی دارد.

کاهش گروه ساختار به  $G$ ، یعنی وجود یک  $G$ -ساختار، ممکن است توسط توپولوژی منیفولد مسدود شود. این دلالت دارد بر اینکه یک "گروه ساختار کاهش ناپذیر" وجود دارد که فراتر از آن ابهام چارچوب‌های مرجع را نمی‌توان بدون نقض فرض همواری (یا حتی پیوستگی)  $G$ -ساختار برطرف کرد. به عنوان مثال، نوار موبیوس در شکل ۱۱ غیرقابل جهت‌گیری است. این بدان معنی است که یک تعریف هموار و سراسری سازگار از دست‌پری چارچوب و در نتیجه ساختار  $\{e\}$  (میدان چارچوب هموار سراسری) را نمی‌پذیرد. همانطور که در شکل ۱۲ بصری‌سازی شده است، یک  $G$ -اتلس از گلیج‌ها که نوار موبیوس را پوشش می‌دهد، به طور ناگزیر نیازمند یک بازتاب در یکی از نگاشت‌های گذار خواهد بود، که به معنای یک گروه ساختار کاهش ناپذیر  $G = \mathbb{R}$  است. CNN‌های مستقل از مختصات بر روی نوار موبیوس بنابراین حداقل باید تناوب‌پذیر بازتابی باشند. به طور مشابه، گروه ساختار کره را نمی‌توان فراتر از  $G = SO(2)$  کاهش داد. CNN‌های کره‌ای هموار بنابراین لزوماً بر پایه کرنل‌های محلی تناوب‌پذیر چرخش هستند.

توجه داشته باشید که هر منیفولد (دیفرانسیل‌پذیر) با برخی  $G$ -ساختار همراه است. به عنوان مثال، یک منیفولد دیفرانسیل‌پذیر خام دارای یک ساختار  $GL(d)$  (حاوی هر چارچوب ممکن) است، یک منیفولد ریمانی یک ساختار  $d$  دارد و  $\mathbb{R}^d$  به طور کانونی با یک ساختار  $\{e\}$  مجهز شده است که در شکل ۱۳ بصری‌سازی شده است. ما بنابراین بدون از دست دادن کلیت، اصطلاح "استقلال از مختصات" را به استقلال از مختصات  $GM$  تصحیح خواهیم کرد، یعنی استقلال نسبت به انتخاب چارچوب‌های مرجع در  $G$ -ساختار داده شده در  $M$ . در طول این کار ما فرض خواهیم کرد که گلیج‌ها بخشی از یک  $G$ -اتلس هستند:

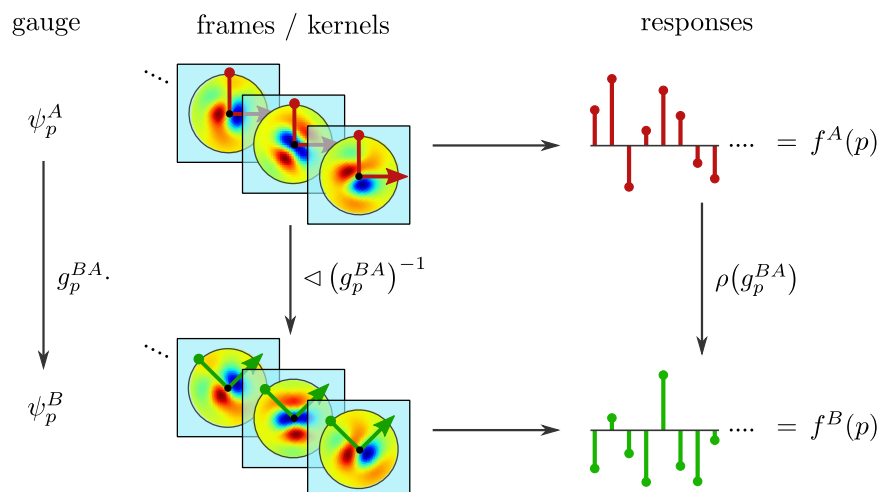
$$\mathcal{A}^G = \{(U^X, \psi^X)\}_{X \in \mathcal{X}} \quad \text{□□□□ □□□□} \quad g_p^{BA} \in G \quad \text{□□□ □□□} \quad \psi_p^A, \psi_p^B \in \mathcal{A}^G, \quad p \in U^A \cap U^B, \quad (25)$$

مطابق با  $G$ -ساختار داده شده. هر کمیتی یا تابع می‌تواند نسبت به هر گلیجی از این اتلس بیان شود<sup>۱۱</sup>، و مختصات‌بندی‌ها در گلیج‌های مختلف به طور منحصر به فرد توسط یک تبدیل گلیج با مقدار  $G$  مرتبط هستند. با تضمین استقلال از مختصات همه ساختارها، آن‌ها همیشه با هم‌تایان مستقل از مختصات خود مطابقت خواهند داشت، که ما نظریه سراسری را بر حسب آن‌ها در بخش‌های ۱۱، ۱۲ و ۱۳ فرمول‌بندی خواهیم کرد.

## ۲.۳ میدان‌های بردار ویژگی مستقل از مختصات

فضاهای ویژگی شبکه‌های کانولوشنی مستقل از مختصات، فضاهای میدان‌های بردار ویژگی هستند. مشابه مورد ضرایب بردارهای مماس، ضرایب عددی بردارهای ویژگی ملزم به تبدیل سازگار تحت تبدیل‌های گلیج هستند. قانون تبدیل خاص (نمایش گروهی) یک میدان ویژگی در اینجا نوع میدان آن را مشخص می‌کند □ مثال‌های معمول شامل میدان‌های اسکالر، میدان‌های بردار مماس، میدان‌های تانسور عمومی، میدان‌های ویژگی منظم یا میدان‌های □□□□□ هستند. بخش ۱.۲.۳ چنین میدان‌های ویژگی و قوانین تبدیل آن‌ها را معرفی می‌کند. در بخش ۲.۲.۳، ما به طور مختصر فضاهای ویژگی مستقل از مختصات را تعریف می‌کنیم. مشابه تعریف فضاهای ویژگی شبکه‌های کانولوشنی معمولی به عنوان انباشتی از چندین نقشه ویژگی، فضاهای ویژگی شبکه‌های کانولوشنی مستقل از مختصات شامل چندین میدان ویژگی مستقل هستند.

<sup>۱۱</sup> این یک گزاره غیربدیهی است زیرا هر کمیتی را نمی‌توان نسبت به چارچوب‌های مرجع دلخواه مرتبط با  $GL(d)$  بیان کرد. به عنوان مثال، میدان‌های ویژگی که در بخش ۲.۳ معرفی شده‌اند، تنها تبدیل‌های گلیج با مقدار  $G$  را می‌پذیرند و بنابراین تنها نسبت به چارچوب‌های ترجیحی در  $GM$  تعریف می‌شوند. به عنوان یک مثال شهودی، CNN‌های سنتی (غیر تناوب‌پذیر) در  $\mathbb{R}^d$  را در نظر بگیرید که نسبت به ساختار  $\{e\}$  کانونی  $\mathbb{R}^d$  استخراج می‌شوند و اطلاعاتی در مورد پاسخ‌های کرنل نسبت به سایر چارچوب‌های مرجع را حمل نمی‌کنند.



شکل ۱۰: پاسخ‌های عددی  $f^A(p) \in \mathbb{R}^c$  و  $f^B(p) \in \mathbb{R}^c$  کرنل‌هایی که بر اساس چارچوب‌های مختلف جهت‌گیری شده‌اند، به طور کلی منطبق نیستند. به منظور نمایش ضرایب عددی یکسان بردار ویژگی مستقل از مختصات نسبت به گنج انتخاب شده، آن‌ها ملزم به ارتباط توسط تبدیل‌های گنج  $\rho(g_p^{BA})$  هستند اگر گنج‌ها توسط  $g_p^{BA}$  مرتبط باشند. همانطور که در بخش ۴ استخراج شده است، این الزام یک قید تناوب‌پذیری گنج را بر کرنل‌های کانولوشن تحمیل می‌کند.

### ۱.۲.۳ میدان‌های بردار ویژگی منفرد

میدان‌های ویژگی کانولوشنی یک بردار ویژگی، که اطلاعات استنباط شده از یک همسایگی محلی از سیگنال ورودی را کدگذاری می‌کند، به هر نقطه از منیفولد تخصیص می‌دهند. انباشت فضایی اطلاعات توسط یک کرنل کانولوشنی انجام می‌شود که میدان‌های ویژگی را در محیط خود نسبت به چارچوب مرجع محلی خود اندازه‌گیری می‌کند. بنابراین ما گنج  $\psi^A$  را فرض می‌کنیم که ترازهای کرنل را در یک همسایگی  $U^A$  مشخص می‌کند. نسبت به این گنج، کرنل یک میدان محلی هموار از پاسخ‌ها (مشاهدات) تولید خواهد کرد:

$$f^A : U^A \rightarrow \mathbb{R}^c, \quad (۲۶)$$

که توسط یک بردار ویژگی عددی  $c$ -بعدی  $f^A(p)$  در هر موقعیت  $p \in U^A$  داده می‌شود. فرض کنید یک میدان پاسخ دوم  $f^B : U^B \rightarrow \mathbb{R}^c$  داده شده باشد که نسبت به گنج  $\psi^B$  در  $U^B$  استنباط شده است. از آنجا که پاسخ یک کرنل به طور کلی به تراز آن بستگی دارد، انتظار می‌رود که  $f^A$  و  $f^B$  در همپوشانی  $U^A \cap U^B$  مطابقت نداشته باشند. بدون محدودیت‌های بیشتر، پاسخ‌های یک کرنل کانولوشن به طور دلخواه وابسته به گنج خواهند بود.

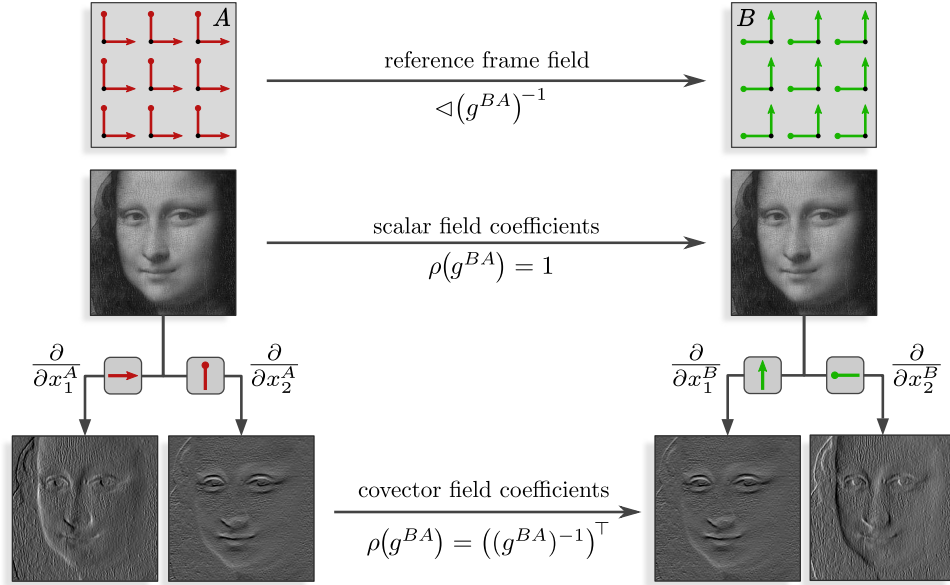
اصل کوواریانس، که توسط آلبرت انیشتین پیشنهاد شد [۹؟]، بیان می‌کند که:

«قوانین جهانشمول طبیعت باید توسط معادلاتی بیان شوند که برای همه سیستم‌های مختصات صادق باشند، یعنی نسبت به هر جایگزینی کوواریانت باشند.»

ما معتقدیم که اصل مشابهی باید در یادگیری عمیق هندسی نیز صادق باشد، یعنی استنتاج باید مستقل از هر دلخواهی در انتخاب چارچوب‌های مرجع باشد. با توجه به اینکه این دلخواهی در مختصات‌بندی‌ها دقیقاً توسط  $G$ -ساختار داده شده  $GM$  پوشش داده می‌شود، این امر به ویژه ایجاب می‌کند که ویژگی‌ها باید اشیاء هندسی مستقل از مختصات  $GM$  باشند.<sup>۱۲</sup> بنابراین ما کرنل‌های کانولوشن را طوری طراحی می‌کنیم که پاسخ‌های آن‌ها  $f^A$  و  $f^B$  میدان‌هایی از ضرایب بردار ویژگی را کدگذاری کنند که یک میدان بردار ویژگی آزاد از مختصات  $f$  را به صورت محلی در گنج‌های مختلف نمایش می‌دهند. مجموعه‌ای از چنین میدان‌های ضرب عددی  $f^X$ ، که نسبت به  $G$ -اتلس گنج‌های  $\psi^X$  در همسایگی‌های  $U^X$  که  $M$  را پوشش می‌دهند بیان شده‌اند، معادل میدان ویژگی سراسری و آزاد از مختصات  $f$  در  $M$  است.

برای اینکه این میدان ویژگی آزاد از مختصات به خوبی تعریف شود، یعنی مستقل از مختصات  $GM$  باشد، میدان‌های ضرب محلی (یا پاسخ‌های کرنل) ملزم به دوخته شدن سازگار از طریق نگاشت‌های گذار با مقدار  $G$  هستند. بنابراین آن‌ها باید به روشی اصولی تحت تبدیل‌های گنج تبدیل شوند. از آنجا که ما با فضا‌های بردار ویژگی سر و کار داریم، این تبدیل‌ها معمولاً خطی در نظر گرفته می‌شوند، یعنی آن‌ها توسط نمایش‌های گروهی خطی مدل

<sup>۱۲</sup> در این نکته ما از کوواریانس عمومی انیشتین منحرف می‌شویم، که همیشه تبدیل‌های گنج با مقدار  $GL(d)$  را در نظر می‌گیرد (متناظر با کوواریانس دیفئومورفیسم). تنظیم او در فرمول‌بندی ما برای  $G = GL(d)$  شامل شده است، با این حال، ما گروه ساختار فرضی را انعطاف‌پذیر نگه می‌داریم زیرا اکثر کاربردها گروه ساختار کاهش یافته را فرض خواهند کرد.



شکل ۱۱: مثال‌هایی از میدان‌های ضریب ویژگی در  $M = \mathbb{R}^2$  از پردازش کلاسیک تصویر. بالا: برای سادگی ما یک میدان چارچوب «موازی» فرض می‌کنیم و همان تبدیل گنج، چرخش به میزان  $\pi/2$ ، را در هر نقطه  $p \in M$  در نظر می‌گیریم. وسط: مقادیر شدت یک تصویر خاکستری مستقل از انتخاب چارچوب‌های مرجع هستند. بنابراین آن‌ها توسط میدان‌های اسکالر مدل می‌شوند که با نمایش بدیهی  $\rho(g) = 1 \forall g \in G$  مشخص می‌شوند. پایین: دو کانال ضریب یک تصویر گرادیان از یک تصویر اسکالر با گرفتن مشتق‌ها در امتداد محورهای چارچوب محاسبه می‌شوند. بنابراین آن‌ها وابسته به گنج هستند. تصاویر گرادیان نسبت به گنج‌های مختلف توسط نمایش گروهی  $\rho(g) = (g^{-1})^T$  مرتبط هستند و بنابراین به عنوان میدان‌های کوبردار (میدان‌های تانسور از نوع  $(0, 1)$  یا ۱-فرم‌ها) شناسایی می‌شوند. برای چرخش نمایش داده شده به میزان  $\pi/2$  این منجر به کانال اول جدید  $(\partial/\partial x_1^B)$  معادل کانال دوم قدیمی  $(\partial/\partial x_1^A)$  و کانال دوم جدید  $(\partial/\partial x_2^B)$  معادل منفی کانال اول قدیمی  $(\partial/\partial x_2^A)$  می‌شود. نسبت به چارچوب‌های مرجع مربوطه، هر دو میدان ضریب یکسان میدان گرادیان (آزاد از مختصات) را کدگذاری می‌کنند. بنابراین توصیف به طور خودکار مستقل از مختصات است.

می‌شوند:

$$\rho : G \rightarrow \text{GL}(c) \quad (27)$$

از گروه ساختار  $G \leq \text{GL}(c)$ ، که بر  $\mathbb{R}^c$  عمل می‌کند و شرط  $\rho(gh) = \rho(g)\rho(h) \forall g, h \in G$  را برآورده می‌کند. <sup>۱۳</sup> مشابه تبدیل ضرایب بردار مماس در معادله (۹)، ضرایب بردار ویژگی سپس تعریف می‌شوند که تحت یک تبدیل گنج با مقدار  $G$  مانند  $\psi_p^{BA} = \psi_p^B \circ (\psi_p^A)^{-1}$  تبدیل شوند:

$$f^B(p) := \rho(g_p^{BA}) f^A(p), \quad (28)$$

که در آن  $p \in U^A \cap U^B$ ؛ برای بصری‌سازی به شکل ۱۰ مراجعه کنید. با ساخته شدن برای تبدیل همگام، فضاهای چارچوب‌های مرجع، ضرایب بردار مماس و ضرایب بردار ویژگی گفته می‌شود که با یکدیگر  $G$ -مرتبط هستند. توجه داشته باشید که ساخت از طریق یک  $G$ -نمایش  $\rho$  به طور کلی تبدیل‌های گنج با مقدار  $\text{GL}(d)$  را توصیف نمی‌کند، یعنی ویژگی‌های کاملاً مستقل از مختصات. بنابراین بردارهای ویژگی استخراج شده تنها بیان به خوبی تعریف شده‌ای نسبت به چارچوب‌ها در  $G$ -ساختار در نظر گرفته شده  $GM$  خواهند داشت، که توسط اصطلاح «استقلال از مختصات  $GM$ » پوشش داده می‌شود.

انتخاب‌های مختلف نمایش  $\rho_i$  انواع مختلفی از میدان‌های ویژگی را تولید می‌کنند همانطور که در شکل ۱۱ نمونه‌سازی شده است. به عنوان مثال، نمایش بدیهی،  $\rho(g) = 1 \forall g \in G$ ، رفتار تبدیل میدان‌های اسکالر  $s^A(p) \mapsto s^B(p) := 1 \cdot s^A(p)$  را توصیف می‌کند، که ضرایب عددی آن‌ها تحت تبدیل‌های گنج ناورد هستند. مثال‌هایی از میدان‌های اسکالر شامل تصاویر خاکستری، میدان‌های دما، میدان‌های فشار یا توزیع‌های احتمال در  $M$  هستند. ضرایب میدان‌های بردار مماس مانند  $v_p^{BA} v^A(p) := g_p^{BA} v^A(p) \mapsto v^B(p)$  تبدیل می‌شوند و بنابراین با نمایش گروهی  $\rho(g) = g$  مطابقت دارند. مثال‌هایی برای میدان‌های بردار شامل جریان نوری یا میدان‌های سرعت باد هستند. میدان‌های تانسور عمومی‌تر از نوع  $(r, s)$  توسط نمایش‌های حاصل ضرب تانسوری  $\rho(g) = \otimes^s (g^{-1})^T \otimes^r g$  توصیف می‌شوند. آن‌ها به عنوان مثال تصاویر تانسور انتشار، تانسورهای میدان

<sup>۱۳</sup> این شرط تضمین می‌کند که نمایش‌ها همومورفیسم‌های گروهی هستند، یعنی نگاشت‌هایی که ساختار گروهی  $G$  را رعایت می‌کنند. بنابراین عمل‌های گروه ساختار بر فضای مماس و فضاهای ضریب بردار ویژگی سازگار هستند.

الکترومغناطیسی یا تانسورهای تنش را مدل می کنند. انتخاب رایج برای گروه های ساختار گسسته نمایش های منظم هستند که مجموعه محدود عملیات گروهی را توسط ماتریس های جایگشت تحقق می بخشند. نمایش های منظم به عنوان تقارن های دقیق شبکه های کریستالی، شبکه های اسپین یا شبکه های پیکسل ظاهر می شوند [۱۴]. علاوه بر این، آن ها معمولاً به عنوان تقریب گسسته گروه های ساختار پیوسته استفاده می شوند، به عنوان مثال گروه های چرخشی  $C_N \leq SO(2)$  برای تقریب چرخش های پیوسته [۱۵]. آن ها از اهمیت عملی زیادی برخوردارند زیرا تبدیل ویژگی های شبکه های کانولوشنی گروهی را توصیف می کنند [۱۶]. میدان های ویژگی که تحت نمایش های کاهش ناپذیر (irreducible) تبدیل می شوند در [۱۷]؟؟؟؟ بررسی شدند. ۱۴ مروری دقیق تر و معیاری گسترده از انواع میدان یا نمایش های مختلف در یادگیری عمیق در [۱۸] ارائه شد.

برای کامل بودن می خواهیم اشاره کنیم که میدان های بردار ویژگی آزاد از مختصات به طور رسمی به عنوان برش های هموار  $f \in \Gamma(\mathcal{A})$  از یک بندل بردار ویژگی  $M \xrightarrow{\pi_A} \mathcal{A}$  تعریف می شوند که با  $G$ -ساختار  $GM$  مرتبط است و فضاهای ضرب بردار ویژگی  $\mathbb{R}^c$  را به عنوان فیبرهای معمول دارد. بردارهای ضرب  $f^A(p)$  و  $f^B(p)$  در  $\mathbb{R}^c$  تسهیلات محلی از یک بردار ویژگی آزاد از مختصات  $f(p) \in \mathcal{A}_p \cong \mathbb{R}^c$  هستند و مشابه ضرایب  $v^A = \psi_p^A(v)$  و  $v^B = \psi_p^B(v)$  از یک بردار مماس  $v \in T_p M$  تعریف می شوند. توجه داشته باشید که، در حالی که هم ریخت هستند، فضاهای ویژگی  $\mathcal{A}_p \cong \mathcal{A}_q$  در نقاط مختلف  $p \neq q$  از  $M$  از یکدیگر متمایز هستند، به طوری که عناصر آن ها نمی توانند با هم جمع شوند. انتقال دهنده های موازی، که در بخش های ۳.۳ و ۳.۴ مورد بحث قرار گرفته اند، هم ریختی هایی بین فضاهای بردار ویژگی مختلف فراهم می کنند، که امکان جمع ویژگی ها را (پس از انتقال آن ها به همان فضای برداری) فراهم می کند. از آنجا که این تعاریف کاملاً فنی هستند، ما جزئیات آن ها را فعلاً رد می کنیم و خواننده علاقه مند را به بخش ۳.۴ ارجاع می دهیم.

## ۲.۲.۳ میدان های ویژگی انباشته و فضاهای ویژگی مستقل از مختصات

فضاهای ویژگی شبکه های کانولوشنی معمولی شامل چندین نقشه ویژگی هستند. به طور مشابه، ما فضاهای ویژگی شبکه های کانولوشنی مستقل از مختصات را تعریف می کنیم که شامل چندین میدان ویژگی  $f_i$  از انواع بالقوه متفاوت  $\rho_i$  و ابعاد  $c_i$  باشند. بنابراین یک میدان کامل از فعال سازی های یک فضای ویژگی از یک شبکه کانولوشنی مستقل از مختصات به عنوان مجموع مستقیم تعریف می شود<sup>۱۵</sup>

$$f = \bigoplus_i f_i \quad (29)$$

از میدان های منفرد. هر نقشه ویژگی از یک شبکه کانولوشنی معمولی موقعیت یک ویژگی خاص را کدگذاری می کند و به طور مستقل تبدیل می شود هنگامی که ورودی شبکه جابجا می شود. میدان های ویژگی منفرد  $f_i$  شبکه های کانولوشنی مستقل از مختصات  $GM$  هم موقعیت و هم  $G$ -پوز یک ویژگی را کدگذاری می کنند. در مقابل نقشه های ویژگی معمولی،

میدان های ضرب آن ها، به عنوان مثال  $f_i^A$ ، علاوه بر این تضمین شده اند که به طور مستقل از یکدیگر تحت تبدیل های گسج همانطور که توسط نوع آن ها  $\rho_i : G \rightarrow GL(c_i)$  مشخص شده است، تبدیل شوند. یک نمایش عددی محلی  $f^A = \bigoplus_i f_i^A$  از میدان ویژگی کامل در معادله (۲۹) بنابراین طبق مجموع مستقیم نمایش های منفرد تبدیل می شود، یعنی:

$$\rho = \bigoplus_i \rho_i. \quad (30)$$

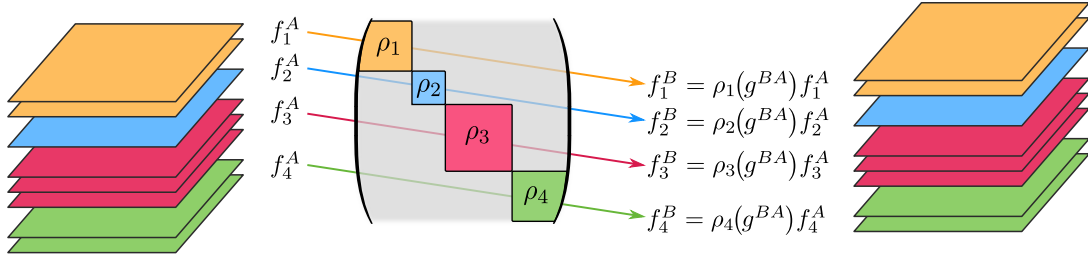
تبدیل مستقل میدان های منفرد تحت  $\rho$ ، که در شکل ۱۳ بصری سازی شده است، از ساخت روشن است:

$$\rho(g)f^A = (\bigoplus_i \rho_i(g))(\bigoplus_i f_i^A) = \bigoplus_i (\rho_i(g)f_i^A) \quad (31)$$

به عنوان یک مثال عملی از فضای ویژگی مستقل از مختصات متشکل از چندین میدان، تصویر ۱۲ نشان داده شده است، در نظر بگیرید. مانند تصویر خاکستری در شکل ۱۱، کانال های رنگ منفرد مقادیر شدت را کدگذاری می کنند که تحت تبدیل های گسج ناورد هستند. بنابراین تصویر ۱۲ کامل باید با سه میدان اسکالر شناسایی شود که هر کدام به طور مستقل تحت نمایش بدیهی «تبدیل» می شوند. همه میدان های ویژگی منفرد نیازی نیست که از همان نوع  $\rho_i$  باشند. به عنوان مثال، در یک کاربرد پیش بینی آب و هوا، سیگنال ورودی ممکن است شامل میدان های اسکالر کدگذاری کننده ویژگی هایی مانند دما یا فشار و میدان های برداری مانند سرعت های باد باشد. توصیف به عنوان میدان های  $\rho_i$  از انواع مربوطه، پردازش هندسی صحیح چنین داده هایی را تضمین می کند. در حالی که انواع میدان  $\rho_i$  ورودی و خروجی یک شبکه معمولاً توسط وظیفه یادگیری داده می شوند، انواع میدان استفاده شده در لایه های مخفی توسط کاربر به عنوان یک فرآیند مشابه انتخاب کانال ها برای یک شبکه کانولوشنی معمولی انتخاب می شوند.

<sup>۱۴</sup> توسط قضیه، ۰۰۰۰۰-۰۰۰۰۰ هر نمایش یکانی از یک گروه فشرده می تواند از طریق تغییر پایه به مجموع مستقیم ۰۰۰۰۰۰ تجزیه شود. این دلالت دارد بر اینکه هر عملیات شبکه عصبی خطی بین نمایش های عمومی می تواند (پس از تغییر پایه) بر حسب عملیات بین ۰۰۰۰۰۰ درک شود [۱۹]. در مقابل، انتخاب خاص نمایش، یعنی تغییر پایه نسبت به ۰۰۰۰۰۰ موجود در آن، برای هر لایه شبکه غیرخطی اهمیت دارد.

<sup>۱۵</sup> مجموع مستقیم  $\bigoplus$  بردارهای  $f_i(p)$  را می توان به عنوان «انباشت» آن ها در یک بردار پیوسته در نظر گرفت. به طور سازگار با این، مجموع مستقیم نمایش های  $\rho_i$  را می توان به عنوان ساخت یک ماتریس قطری بلوکی حاوی  $\rho_i$  به عنوان بلوک ها در نظر گرفت؛ به اشکال ۱۲ و ۱۳ مراجعه کنید.



شکل ۱۳: یک فضای ویژگی کامل شامل چندین میدان ویژگی منفرد  $f_i$  از انواع بالقوه متفاوت  $\rho_i$  و ابعاد  $c_i$  است. از طریق گنج  $\psi^A$ ، به صورت محلی توسط میدانهای ضریب  $f_i^A : U^A \rightarrow \mathbb{R}^{c_i}$  نمایش داده می شود. میدانهای ضریب در گنج دیگر  $\psi_B$  از طریق تبدیل گنج  $f_i^B = \rho_i(g^{BA})f_i^A$  مرتبط هستند. ضرایب هر میدان منفرد به طور مستقل تبدیل می شوند، بنابراین نمایش مدل سازی کل فضای ویژگی توسط مجموع مستقیم داده می شود، در اینجا  $\oplus_i \rho_i = \rho_1 \oplus \rho_2 \oplus \rho_3 \oplus \rho_4$ .

### ۳.۳ انتقال موازی بردارهای ویژگی

کرنل های شبکه های کانولوشنی ویژگی ها را از تمام نقاط  $q$  در یک همسایگی اطراف هر نقطه  $p$  از منیفولد جمع آوری می کنند. از آنجا که ویژگی ها در نقاط مختلف در فضاهای بردار ویژگی متفاوتی قرار دارند و نسبت به گنج های مختلف بیان می شوند، باید قبل از پردازش بیشتر، در امتداد یک مسیر  $\gamma$  از  $q$  به  $p$  به صورت موازی منتقل شوند. ما ابتدا انتقال بردارهای مماس را مورد بحث قرار می دهیم، که توسط یک نگاشت انتقال موازی رسمی سازی می شود:

$$\mathcal{P}_\gamma : T_q M \rightarrow T_p M. \quad (۳۲)$$

این انتقال دهنده اغلب از اتصال کانونی لوی-چویتا منیفولد محاسبه می شود، با این حال، ممکن است در برخی کاربردها مربوط به یک اتصال جایگزین (سازگار با  $G$ ) باشد، همانطور که در ادامه و در مرور ادبیات ما در بخش ۳.۳.۳ بیشتر مورد بحث قرار می گیرد. انتقال دهنده بردارهای ویژگی (مرتبط با  $G$ ) از انتقال دهنده بردارهای مماس تبعیت می کند اگر انتقال سازگار با  $G$  باشد.

#### ۱.۳.۳ انتقال دهنده های بردار مماس

از نظر آموزشی معقول است که ابتدا با حالت خاص انتقال دهنده های لوی-چویتا در فضاهای اقلیدسی که در شکل ۱۴<sup>۱۴</sup> به تصویر کشیده شده اند، شروع کنیم، قبل از پرداختن به انتقال دهنده ها و منیفولدهای عمومی تر. در این حالت انتقال موازی مستقل از مسیر انتخاب شده  $\gamma$  است و بردار منتقل شده را به معنای معمول در فضاهای اقلیدسی موازی نگه می دارد. توجه داشته باشید که انتقال دهنده  $\mathcal{P}_\gamma$  بین فضاهای مماس  $T_p M$  و  $T_q M$  نگاشت می کند و بنابراین مستقل از مختصات است. با این حال، می توان آن را نسبت به مختصات بیان کرد، سپس به جای بردارهای مماس بر روی بردارهای ضریب عددی عمل می کند. شهودی در شکل ۱۴<sup>۱۴</sup> آورده شده است، جایی که چارچوب ها در  $q$  و  $p$  موازی نیستند<sup>۱۶</sup> به طوری که ضرایب  $(1, 1)^T$  در  $q$  و  $(\sqrt{2}, 0)^T$  در  $p$  متفاوت هستند، حتی اگر بردارهای مماس (مستقل از مختصات) مربوطه با یکدیگر موازی باشند. برای دقیق تر کردن این موضوع، گنج های  $\psi_p^A$  و  $\psi_q^A$  را در همسایگی های  $U^A$  از  $q$  (قرمز) و  $U^A$  از  $p$  (سبز) در نظر بگیرید. فرض کنید یک بردار  $v = (\psi_q^A)^{-1}(v^A) \in T_q M$  با ضرایب  $v^A \in \mathbb{R}^d$  داده شده باشد. ضرایب بردار منتقل شده  $\mathcal{P}_\gamma v$  در  $p$  سپس توسط:  $\psi_p^A \circ \mathcal{P}_\gamma \circ (\psi_q^A)^{-1}(v^A)$  داده می شود. نتیجه می شود که بیان مختصاتی یک انتقال دهنده نسبت به گنج های  $\tilde{A}$  و  $A$  به صورت زیر است:<sup>۱۷</sup>

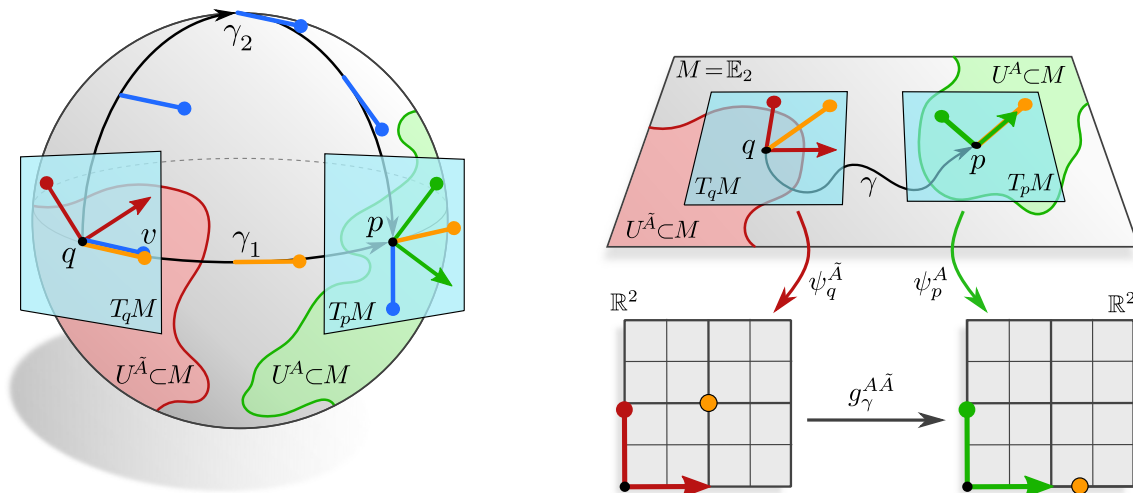
$$g_\gamma^{A\tilde{A}} := \psi_p^A \circ \mathcal{P}_\gamma \circ (\psi_q^{\tilde{A}})^{-1} \in \text{GL}(d) \quad (۳۳)$$

عنصر گروهی  $g_\gamma^{A\tilde{A}}$  انتخاب های غیر موازی چارچوب های مرجع در  $q$  و  $p$  را در نظر می گیرد. در  $\mathbb{R}^d$  معمولاً فرض می شود که تمام چارچوب ها موازی هستند به طوری که تمام مختصات بندی های انتقال دهنده های لوی-چویتا بدیهی می شوند.<sup>۱۸</sup>

<sup>۱۶</sup> برخلاف منیفولدهای عمومی،  $\mathbb{R}^d$  با مفهوم کانونی موازی بودن چارچوب های مرجع همراه است.

<sup>۱۷</sup>  $g_\gamma^{A\tilde{A}}$  مقادیری در  $\text{GL}(d)$  می گیرد اگر ما اتصال های دلخواه (با مقدار  $\text{gl}(d)$ ) و گروه های ساختار عمومی  $G \leq \text{GL}(d)$  را فرض کنیم. برای اتصال لوی-چویتا با مقدار  $\text{so}(d)$  و چارچوب های متعامد، یعنی  $G = d$ ، ما  $g_\gamma^{A\tilde{A}} \in d$  را داریم.

<sup>۱۸</sup> سستی در  $\mathbb{R}^d$  به طور ضمنی این فرض را از چارچوب های موازی (شکل ۳.۳.۳) و انتقال دهنده های بدیهی می کنند.



(ب) انتقال موازی در ۲-کره  $S^2$ .

(آ) انتقال موازی و مختصات‌بندی آن در یک فضای مسطح.

شکل ۱۴: انتقال موازی بردارهای مماس  $v \in T_qM$  به  $q$  در  $p$  به  $P_\gamma v \in T_pM$  در  $p$ . شکل ۱۴ حالت خاص انتقال‌دهنده‌های لوی-چویتا را در فضاهای اقلیدسی مسطح  $M = \mathbb{R}^2$  بصری‌سازی می‌کند. مستقل از مسیر انتخاب شده  $\square\gamma$  انتقال لوی-چویتا بردار (نارنجی) را به معنای معمول در فضاهای اقلیدسی موازی نگه می‌دارد. گنج‌های  $\psi_p^{\tilde{A}}$  (قرمز) و  $\psi_q^{\tilde{A}}$  (سبز) امکان بیان انتقال‌دهنده مستقل از مختصات را توسط یک عنصر گروهی  $g_\gamma^{A\tilde{A}} = \psi_p^{\tilde{A}} \circ P_\gamma \circ (\psi_q^{\tilde{A}})^{-1} \in GL(d)$  فراهم می‌کنند که تغییر ضرایب بردار را در نظر می‌گیرد اگر چارچوب هدف با چارچوب منبع منتقل شده مطابقت نداشته باشد. شکل ۱۴ انتقال لوی-چویتا را در ۲-کره  $S^2$  نشان می‌دهد، مقایسه کنید با معادله (۳۳). انتقال‌دهنده‌های  $P_{\gamma_1}$  و  $P_{\gamma_2}$  در امتداد مسیرهای مختلف  $\gamma_1$  و  $\gamma_2$  به طور کلی با یکدیگر اختلاف دارند. همانند فضاهای مسطح، انتقال‌دهنده‌های مستقل از مختصات را می‌توان توسط عناصر گروهی که بر روی ضرایب نسبت به چارچوب‌های مختصاتی در  $q$  و  $p$  عمل می‌کنند، بیان کرد.

از آنجا که انتقال‌دهنده در معادله (۳۳) وابسته به مختصات است، ما علاقه‌مند به تبدیل‌های گنج آن هستیم. گنج‌های  $\psi_p^{\tilde{B}}$  و  $\psi_q^{\tilde{B}}$  را دو گنج جایگزین در همسایگی‌های  $q$  و  $p$  در نظر بگیرید. از نمودار جابجایی:

$$\begin{array}{ccc}
 \mathbb{R}^d & \xrightarrow{g_\gamma^{A\tilde{A}}} & \mathbb{R}^d \\
 \downarrow g_q^{\tilde{B}\tilde{A}} & \swarrow \psi_q^{\tilde{A}} \quad \searrow \psi_q^{\tilde{B}} & \\
 T_qM & \xrightarrow{P_\gamma} & T_pM \\
 \downarrow g_p^{B\tilde{A}} & \swarrow \psi_p^{\tilde{A}} \quad \searrow \psi_p^{\tilde{B}} & \\
 \mathbb{R}^d & \xrightarrow{g_\gamma^{B\tilde{B}}} & \mathbb{R}^d
 \end{array} \quad (34)$$

می‌توان خواند که انتقال‌دهنده‌ها در گنج‌های مختلف توسط:

$$g_\gamma^{B\tilde{B}} = g_p^{B\tilde{A}} g_\gamma^{A\tilde{A}} (g_q^{\tilde{B}\tilde{A}})^{-1} \quad (35)$$

مرتبط هستند. توجه داشته باشید که شباهت این قانون تبدیل و نمودار جابجایی به آنچه در معادلات (۲۱) و (۲۳) آمده است. تفاوت بین هر دو این است که انتقال‌دهنده دارای دامنه  $T_qM$  و دامنه مشترک  $T_pM$  متفاوتی است که توسط گنج‌های مختلف و مستقل از یکدیگر تسهیم شده‌اند و بنابراین به طور مستقل تبدیل می‌شوند.

به طور کلی، انتقال موازی بردارهای مماس توسط یک انتخاب اتصال تعیین می‌شود، به عنوان مثال (اما نه لزوماً) توسط اتصال کانونی لوی-چویتا یک منی‌فولد ریمانی. یک اتصال را می‌توان به عنوان مجموعه‌ای از انتقال‌دهنده‌های بی‌نهایت کوچک بین فضاهای مماس مجاور در نظر گرفت، به طوری که انتقال‌دهنده کامل  $P_\gamma$  با انتگرال‌گیری اتصال در امتداد مسیر  $\gamma$  به دست می‌آید. انتقال‌دهنده‌ها در امتداد مسیرهای مختلف  $\gamma_1$  و  $\gamma_2$  از  $q$  به  $p$  نیازی به مطابقت ندارند، که در شکل ۱۴ با انتقال‌دهنده‌های لوی-چویتا در ۲-کره  $S^2$  مثال زده شده است، مقایسه کنید با معادله (۳۳). همانند فضاهای مسطح، انتقال‌دهنده‌های مستقل از مختصات را می‌توان توسط معادله (۳۳) نسبت به گنج‌ها بیان کرد. تبدیل‌های گنج چنین انتقال‌دهنده‌های مختصات‌بندی شده دوباره توسط معادله (۳۵) داده می‌شوند. انتقال‌دهنده‌ها در یک منی‌فولد داده شده می‌توانند در اصل به صورت تحلیلی از اتصال محاسبه شوند [۳۵] و گاهی اوقات می‌توانند به صورت فرم بسته بیان شوند، به عنوان مثال برای کره  $S^2$ ، معادله (۳۳). چندین الگوریتم عددی برای محاسبه انتقال‌دهنده‌های



موازی در مش‌ها وجود دارد؛ به بخش ۳.۳ مراجعه کنید. ما به جزئیات بیشتر در مورد نحوه محاسبه انتقال‌دهنده‌های بردار مماس  $\mathcal{P}_\gamma$  نخواهیم پرداخت بلکه به سادگی آن‌ها را داده شده فرض می‌کنیم.

### ۳.۳.۳ انتقال‌دهنده‌های بردار ویژگی

معادله (۲۸) قانون تبدیل ضرایب بردار ویژگی را توسط نوع میدان آن‌ها ( $\rho$ ) تعریف می‌کند. انتقال‌دهنده موازی آن‌ها، که نسبت به گنج‌های  $\psi_q^{\tilde{A}}$  و  $\psi_p^{\tilde{A}}$  بیان می‌شود، به طور مشابه با پیچیدن انتقال‌دهنده ضریب بردار مماس در این نمایش میدان داده می‌شود، یعنی توسط:

$$\rho(g_\gamma^{A\tilde{A}}). \quad (۳۶)$$

توجه داشته باشید که  $\square$  از آنجا که  $G \rightarrow GL(c)$  یک نمایش  $G$  است  $\square$  این ساختار تنها زمانی به خوبی تعریف می‌شود که تمام انتقال‌دهنده‌ها  $g_\gamma^{A\tilde{A}}$  (برای مسیرهای دلخواه  $\gamma$  و چارچوب‌های  $A, \tilde{A}$ ) واقعاً مقادیری در گروه ساختار انتخاب شده  $G$  بگیرند. اینکه آیا این حالت صادق است یا خیر هم به انتخاب خاص  $G$ -ساختار (یا  $G$ -اطلس) و هم به انتقال‌دهنده‌ها (یا اتصال) مورد نظر بستگی دارد  $\square$  آن‌ها باید سازگار باشند [۹].

تمام شبکه‌های کائولوشنی (بنابراین انتقال می‌دهند) بردارهای ویژگی را به نحوی جمع‌آوری می‌کنند، و بنابراین برخی انتخاب از اتصال و  $G$ -ساختار را فرض می‌کنند. اگر  $G$ -ساختار انتخاب شده با اتصال لوی-چویتا ناسازگار باشد، این به معنای آن است که این مدل‌ها  $\square$  اغلب به طور ضمنی  $\square$  یک اتصال جایگزین و سازگار با  $G$  را برای جمع‌آوری ویژگی‌ها فرض می‌کنند. خواننده فعلاً نباید نگران انتخاب‌های خاص اتصال‌ها باشد، که در مرور ادبیات ما در بخش ۳.۳ روشن‌تر خواهد شد. در ادامه این بخش، ما بیشتر در مورد سازگاری  $G$  اتصال‌ها و  $G$ -ساختارها توضیح خواهیم داد. با فرض اینکه انتقال‌دهنده‌های ویژگی در ادامه همیشه به خوبی تعریف خواهند شد، این بخش را می‌توان با خیال راحت در اولین مطالعه نادیده گرفت.

بحث دقیق‌تر و مستقل از مختصات انتقال‌دهنده‌ها در بندل‌های بردار ویژگی مرتبط را می‌توان در بخش ۳.۳.۴ یافت.

### ۳.۳.۴ سازگاری اتصال‌ها و $\square$ -ساختارها

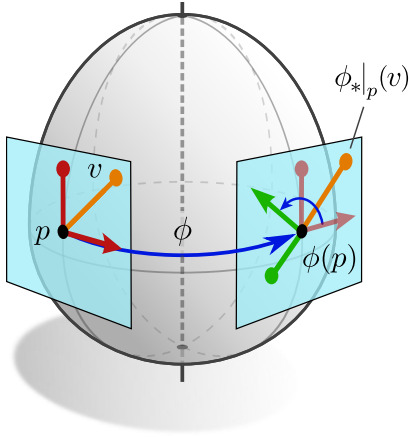
یک اتصال با یک  $G$ -ساختار  $GM$  سازگار با  $G$  نامیده می‌شود اگر عبارات مختصاتی  $g_\gamma^{A\tilde{A}}$  انتقال‌دهنده‌های  $\mathcal{P}_\gamma$  آن نسبت به هر چارچوب  $A, \tilde{A}$  از  $GM$  مقادیری در گروه ساختار  $G$  بگیرند [۹].<sup>۱۹</sup> یک اتصال سازگار با  $G$  منجر به انتقال‌دهنده‌های بردارهای ویژگی مرتبط با  $G$  می‌شود.

برای روشن کردن این شرط سازگاری تا حدی انتزاعی، چند مثال خاص را مورد بحث قرار می‌دهیم. یک مثال ساده، اتصال لوی-چویتا در  $\mathbb{R}^2$  است، شکل ۱۴. دو  $\{e\}$ -ساختار در  $\mathbb{R}^2$  که در اشکال ۳ و ۴ نشان داده شده‌اند را در نظر بگیرید. در اینجا  $G = \{e\}$  است، به این معنی که نوع میدان  $\rho : \{e\} \rightarrow GL(c)$  یک نمایش  $\{e\}$  است، به طوری که انتقال موازی بردارهای ویژگی تنها در صورتی می‌تواند تعریف شود که عبارات مختصاتی  $g_\gamma^{A\tilde{A}}$  مقادیری در  $\{e\}$  بگیرند، یعنی بدیهی باشند. از آنجا که  $\{e\}$ -ساختار در شکل ۴ از چارچوب‌های "موازی" تشکیل شده است، این امر واقعاً همینطور است  $\square$  بنابراین اتصال لوی-چویتا با این  $\{e\}$ -ساختار سازگار است. در مقابل، چارچوب‌های  $\{e\}$ -ساختار در شکل ۳ نسبت به یکدیگر "چرخانده شده‌اند"، که منجر به عبارات مختصاتی غیربدیهی  $g_\gamma^{A\tilde{A}}$  می‌شود که مقادیری در  $SO(2)$  می‌گیرند (در شکل ۱۴ بصری سازی شده است). از آنجا که نوع میدان  $\rho : \{e\} \rightarrow GL(c)$  چرخش‌ها را مدیریت نمی‌کند، امکان تعریف انتقال لوی-چویتا ویژگی‌های مرتبط با این  $\{e\}$ -ساختار وجود ندارد  $\square$  آن‌ها ناسازگار هستند. به عنوان مثال دوم، اتصال لوی-چویتا در  $S^2$  را در نظر بگیرید، که در شکل ۱۴ نشان داده شده است. انتقال در این حالت همیشه وابسته به مسیر خواهد بود و منجر به بردارهای چرخانده شده متفاوت خواهد شد، که دلالت دارد بر اینکه  $g_\gamma^{A\tilde{A}}$  مقادیری در  $SO(2)$  خواهد گرفت. بردارهای ویژگی که باید مطابق با اتصال لوی-چویتا منتقل شوند، بنابراین باید از نوع  $\rho : SO(2) \rightarrow GL(c)$  باشند که یک نمایش  $SO(2)$  است. این امر حداقل نیازمند  $SO(2)$ -ساختار در  $S^2$  است که در شکل ۴ نشان داده شده است.  $\{e\}$ -ساختار در  $S^2$  از شکل ۳ با اتصال لوی-چویتا ناسازگار است.

از آنجا که اتصال لوی-چویتا یک اتصال متریک است، طول و زاویه بین بردارهای مماس را حفظ می‌کند، و بنابراین چارچوب‌های متعامد را به چارچوب‌های متعامد منتقل می‌کند. نتیجه می‌شود که اتصال لوی-چویتا همیشه با  $d$ -ساختار چارچوب‌های متعامد سازگار است، که نسبت به آن  $g_\gamma^{A\tilde{A}}$  مقادیری در  $d$  می‌گیرد. اگر منقول قابل جهت‌گیری باشد، دست‌پری چارچوب توسط انتقال‌دهنده‌های لوی-چویتا حفظ می‌شود، به این معنی که آن‌ها تضمین شده‌اند که با  $SO(d)$ -ساختارهای چارچوب‌های متعامد راست‌گرد در  $M$  سازگار باشند. تمام شبکه‌های کائولوشنی در مرور ادبیات ما در بخش ۳.۳ که بر اساس  $SO(d)$ -ساختارها هستند، ویژگی‌ها را از طریق انتقال‌دهنده‌های لوی-چویتا جمع‌آوری می‌کنند.

اگر یک  $G$ -ساختار داده شده با اتصال لوی-چویتا ناسازگار باشد، باید یک اتصال جایگزین و سازگار با  $G$  را برای انتقال بردارهای ویژگی تعریف کرد. برجسته‌ترین مثال در مرور ادبیات ما، اتصال‌های بدیهی در  $\{e\}$ -ساختارها است. یک اتصال بدیهی با خاصیت مستقل از مسیر بودن انتقال آن مشخص می‌شود [۹]. هر  $\{e\}$ -ساختار یک اتصال بدیهی منحصر به فرد را نتیجه می‌دهد، که بردارهای مماس را به گونه‌ای منتقل می‌کند که زاویه

<sup>۱۹</sup> به طور معادل، فرم ۱-اتصال، که نسبت به چارچوب‌های  $GM$  بیان می‌شود، ملزم به داشتن مقدار  $g$  است، که در آن  $g$  نشان‌دهنده جبر لی  $G$  است. به طور انتزاعی‌تر، ما به اتصال‌های اصلی اهرسمن در بندل اصلی  $G (GM)$  علاقه‌مندیم.



شکل ۱۵: بصری سازی پیش برنده آزاد از مختصات بردارهای مماس و بیان مختصاتی آن نسبت به چارچوب های مرجع داده شده در موقعیت منبع و هدف. پیش برنده آزاد از مختصات  $\phi_*|_p(v) \in T_{\phi(p)}M$  به  $v \in T_pM$  بردارهای مماس  $\phi_*|_p : T_pM \rightarrow T_{\phi(p)}M$  (نارنجی) منتقل می کند. فرض کنید  $\psi_p^A$  گنج در  $p$  که متناظر با چارچوب مرجع قرمز است و  $\psi_{\phi(p)}^A$  گنج در  $\phi(p)$  که متناظر با چارچوب مرجع سبز است. آن ها بردارها را قبل و بعد از پیش برنده توسط ضرایب عددی  $\psi_p^A(v) = (1, 1)^T$  و  $\psi_{\phi(p)}^A(\phi_*|_p(v)) = (1, -\sqrt{2})^T$  توضیح می دهند. این تبدیل ضرایب بردار توسط تبدیل گنج القا شده توسط ایزومتري  $g_{\phi(p)}^{A\bar{A}} \in GL(d)$  توصیف می شود، یعنی  $\psi_{\phi(p)}^A(\phi_*|_p(v)) = g_{\phi(p)}^{A\bar{A}}(p) \cdot \psi_p^A(v)$ . ضرایب بردارهای ویژگی به طور مشابه طبق  $\rho(g_{\phi(p)}^{A\bar{A}}(p)) \in G$  تبدیل می شوند اگر  $g_{\phi(p)}^{A\bar{A}}(p) \in G$ .

یکسانی را با چارچوب های مرجع  $\{e\}$  -ساختار حفظ کنند. این امر دلالت دارد بر اینکه  $\square g_{\gamma}^{A\bar{A}} = e$  یعنی آن ها بردارهای ضرب را در  $\mathbb{R}^c$  (نسبت به چارچوب های  $\{e\}$  -ساختار) بدون تغییر مقادیر عددی آن ها منتقل می کنند. چنین انتقال دهنده هایی در شبکه های کانولوشنی استفاده می شوند که انتقال دهنده های غیربدیهی را به صراحت مدل نمی کنند  $\square$  که در مورد تمام شبکه های دارای  $G = \{e\}$  در جدول ۱۱ صادق است، به ویژه آن هایی که در بخش های ۱۱ و ۱۲ هستند. توجه داشته باشید که اتصال بدیهی تنها اتصالی است که با یک  $\{e\}$  -ساختار سازگار است. همانطور که در بالا ذکر شد، هر شبکه کانولوشنی برخی انتخاب از  $G$  -ساختار و اتصال سازگار را فرض می کند، اغلب اتصال های لوی-چویتا یا اتصال های بدیهی. بخش ۱۲ به طور مفصل در مورد سازگاری انتقال دهنده ها و  $G$  -ساختارها از دیدگاه مستقل از مختصات توضیح می دهد.

## ۴.۳ عمل ایزومتري ها و تبدیل های گنج القا شده

تا کنون بحث ما منحصراً بر تقارن های گنج محلی در مختصات بندی فضا های مماس متمرکز بوده است. یک منی فولد ممکن است، با این حال، خود دارای تقارن های غیربدیهی باشد، که در مورد یک منی فولد ریمانی  $M$  گروه ایزومتري آن  $Isom(M)$  را تشکیل می دهند. این بخش ایزومتري ها و عمل آن ها بر منی فولد ها، بردارهای مماس، چارچوب های مرجع و میدان های ویژگی را به طور خلاصه مورد بحث قرار می دهد، نتایجی را خلاصه می کند که به طور دقیق تری در بخش ۱۲ استخراج شده اند. ما بدین ترتیب معادلی بین عمل های فعال ایزومتري و تفسیر منی فولد آن ها بر حسب تبدیل های گنج القا شده توسط ایزومتري را برجسته خواهیم کرد. این معادلی بعداً امکان توصیف تناوب پذیری ایزومتري  $GM$  -کانولوشن ها را فراهم خواهد کرد.

ایزومتري ها به عنوان تقارن های منی فولد های ریمانی تعریف می شوند، یعنی آن نگاشت ها (دیفئومورفیسم ها)

$$\phi : M \rightarrow M, \quad (37)$$

که متریک و در نتیجه فواصل روی  $M$  را حفظ می کنند. مجموعه همه ایزومتري های یک منی فولد ریمانی  $M$  گروه ایزومتري آن را تشکیل می دهد، که ما آن را با  $Isom(M)$  نشان می دهیم. به عنوان مثال، گروه اقلیدسی  $E(d)$  گروه ایزومتري فضا های اقلیدسی  $\mathbb{E}_d$  است. این گروه شامل انتقال ها، چرخش ها و بازتاب ها است، که همه آن ها متریک استاندارد  $\mathbb{E}_d$  را حفظ می کنند. گروه ایزومتري ۲- کره  $S^2$  توسط گروه متعامد ۳ داده می شود، که شامل چرخش ها و بازتاب ها است. شکل ۱۵ منی فولد تخم مرغی شکلی را نشان می دهد که ایزومتري های آن چرخش ها و بازتاب ها در ۲ حول محور عمودی هستند.

## ۱.۴.۳ پیش برنده بردارهای مماس

هر ایزومتري  $\phi \in Isom(M)$  از طریق پیش برنده (یا دیفرانسیل) آن

$$\phi_*|_p : T_pM \rightarrow T_{\phi(p)}M, \quad (38)$$

به طور طبیعی بر بردارهای مماس عمل می کند. همانطور که در شکل ۱۲ (وسط) بصری سازی شده است، پیش برنده را می توان به طور شهودی به عنوان حمل بردارهای مماس همراه با عمل ایزومتري بر منی فولد زیرین  $M$  در نظر گرفت. تعریف رسمی پیش برنده بر روی  $TM$  در پیوست ۱۱ آورده شده است، با این حال، شهود ارائه شده برای هدف ما کافی است. از آنجا که پیش برنده یک نگاشت خطی آزاد از مختصات بین فضا های مماس است، عمل آن در مختصات توسط ماتریس  $d \times d$  نمایش داده می شود. با فرض گنج های  $\psi_p^A$  و  $\psi_{\phi(p)}^A$  در موقعیت منبع و هدف، به ترتیب، این ماتریس توسط

$$g_{\phi(p)}^{A\bar{A}}(p) := \psi_{\phi(p)}^A \circ \phi_*|_p \circ (\psi_p^A)^{-1} \in GL(d). \quad (39)$$

داده می‌شود. این ماتریس تبدیل از ضرایب عددی یک بردار اصلی  $v \in T_p M$  در گنج منبع و پیش‌برنده آن  $\phi_*|_p(v) \in T_{\phi(p)} M$  در گنج هدف را توضیح می‌دهد، یعنی  $\psi_{\phi(p)}^A(\phi_*|_p(v)) = g_{\phi(p)}^{A\tilde{A}}(p) \cdot \psi_p^{\tilde{A}}(v)$  نمودار جابجایی

$$\begin{array}{ccc} \mathbb{R}^d & \xrightarrow{g_{\phi(p)}^{A\tilde{A}}(p)} & \mathbb{R}^d \\ \psi_p^{\tilde{A}} \swarrow & T_p M \xrightarrow{\phi_*|_p} T_{\phi(p)} M & \searrow \psi_{\phi(p)}^A \\ \psi_p^{\tilde{B}} \swarrow & & \searrow \psi_{\phi(p)}^B \\ \mathbb{R}^d & \xrightarrow{g_{\phi(p)}^{B\tilde{B}}(p)} & \mathbb{R}^d \end{array} \quad , \quad (40)$$

که از نظر مفهومی شبیه آن در معادله (۳۴) است، تعریف بیان مختصاتی پیش‌برنده بردار مماس را بصری سازی می‌کند. علاوه بر این دلالت دارد بر اینکه تبدیل‌های گنج بین مختصات‌بندی‌های مختلف توسط

$$g_{\phi(p)}^{B\tilde{B}} = g_{\phi(p)}^{BA} g_{\phi(p)}^{A\tilde{A}} (g_p^{\tilde{B}\tilde{A}})^{-1}, \quad (41)$$

داده می‌شوند، که معادل مفهومی معادله (۳۵) است.

### ۲.۴.۳ پیش‌برنده چارچوب‌های مرجع و تقارن‌های □-ساختار

از آنجا که چارچوب‌های مرجع فقط  $d$ -تاپل‌هایی از بردارهای چارچوب خطی مستقل هستند، پیش‌برنده بردارهای مماس پیش‌برنده‌ای از چارچوب‌های مرجع را با پیش‌بردن محورهای چارچوب منفرد القا می‌کند. به طور خاص، پیش‌برنده یک چارچوب  $[e_i]_{i=1}^d$  در  $p$  به عنوان چارچوب  $[\phi_*|_p(e_i)]_{i=1}^d$  در  $\phi(p)$  تعریف می‌شود.

این پیش‌برنده چارچوب‌ها همیشه به خوبی تعریف شده است، با این حال، ممکن است با  $G$ -ساختار سازگار نباشد، یعنی به طور کلی تضمینی وجود ندارد که چارچوب‌ها در  $GM$  هنگام پیش‌برده شدن در  $GM$  باقی بمانند. به عنوان مثال  $\{e\}$ -ساختار در شکل ?? (بالا چپ) را در نظر بگیرید، که توسط انتقال‌های افقی حفظ می‌شود اما توسط انتقال‌های عمودی یا هر ایزومتری دیگر از  $\mathbb{R}^2$  حفظ نمی‌شود. به طور مشابه،  $\mathcal{R}$ -ساختار در شکل ?? (پایین چپ) توسط انتقال‌ها و بازتاب‌های افقی حفظ می‌شود، اما توسط چرخش‌ها نه. بنابراین ما زیرگروه

$$\text{Isom}_{GM} := \left\{ \phi \in \text{Isom}(M) \mid [\phi_*(e_i)]_{i=1}^d \in GM \quad \forall [e_i]_{i=1}^d \in GM \right\} \leq \text{Isom}(M) \quad (42)$$

ایزومتری‌هایی که تقارن‌های  $G$ -ساختار هستند را در نظر می‌گیریم، یعنی آن‌هایی که تضمین شده‌اند هر چارچوب در  $GM$  را به چارچوب دیگری که نیز در  $GM$  موجود است، نگاشت کنند.<sup>۲۰</sup> توجه داشته باشید که  $\text{Isom}_{GM}$  به طور کلی به انتخاب خاص  $G$ -ساختار  $GM$  بستگی دارد، نه فقط به گروه ساختار  $G$ . برای حالت خاص که  $d \geq G$ ، تضمین شده است که  $\text{Isom}_{GM} = \text{Isom}(M)$  مطابقت داشته باشند زیرا ایزومتری‌ها تضمین شده‌اند که چارچوب‌های متعام را به چارچوب‌های متعام نگاشت کنند. ما علاقه‌مند به زیرگروه  $\text{Isom}_{GM}$  هستیم زیرا تنها آن ایزومتری‌ها پیش‌برنده به خوبی تعریف شده‌ای از بردارهای ویژگی مستقل از مختصات  $GM$  را القا خواهند کرد، همانطور که در بخش بعدی بیشتر مورد بحث قرار گرفته است.

پیش از ادامه به عمل ایزومتری بر بردارهای ویژگی، ما آنچه را که تبدیل‌های گنج القا شده توسط ایزومتری می‌نامیم، مورد بحث قرار می‌دهیم. برای این منظور، فرض کنید  $[e_i^{\tilde{A}}]_{i=1}^d$  آن چارچوب در  $p$  باشد که متناظر با گنج منبع  $\psi_p^{\tilde{A}}$  است و فرض کنید  $[e_i^A]_{i=1}^d$  آن چارچوب در  $\phi(p)$  باشد که متناظر با گنج هدف  $\psi_{\phi(p)}^A$  است، همانطور که در شکل ۱۵ به ترتیب در قرمز (چپ) و سبز (راست) نشان داده شده است. پیش‌برنده  $[\phi_*|_p(e_i^{\tilde{A}})]_{i=1}^d$  چارچوب منبع از  $p$  به  $\phi(p)$  (قرمز شفاف، راست) به طور کلی با چارچوب هدف مطابقت ندارد. با این حال، همانطور که در بخش ?? اثبات شده است، دو چارچوب توسط تبدیل گنج القا شده توسط ایزومتری مرتبط هستند:

$$[\phi_*|_p(e_i^{\tilde{A}})]_{i=1}^d = [e_i^A]_{i=1}^d \triangleleft g_{\phi(p)}^{A\tilde{A}}(p), \quad (43)$$

که در آن  $g_{\phi(p)}^{A\tilde{A}}(p)$  عنصر گروهی از معادله (۳۹) و  $\triangleleft$  عمل راست از معادله (۱۱) است. اصطلاح «تبدیل گنج القا شده توسط ایزومتری» تا آنجا معنا دارد که هندسه‌های اطراف  $p$  و  $\phi(p)$  غیرقابل تشخیص هستند زیرا  $\phi$  یک ایزومتری، یعنی یک تقارن از  $M$  است. با شناسایی دو نقطه با یکدیگر،

<sup>۲۰</sup> به طور رسمی‌تری بیان شود، چنین ایزومتری‌هایی اتومورفیسم‌های بندل اصلی  $G$ -ساختار هستند (یا القا می‌کنند).

بنابراین می‌توان عمل فعال  $\phi$  بر یک کمیت هندسی را به عنوان یک تبدیل گنج منفعل، یعنی یک تغییر القا شده از چارچوب منبع به چارچوب هدف، تفسیر مجدد کرد.

قضیه ۳ در بخش ۳ اثبات می‌کند که ایزومتري‌های حفظ کننده  $G$ -ساختار در  $\text{Isom}_{GM}$  و تبدیل‌های گنج القا شده با مقدار  $G$  یکدیگر را نتیجه می‌دهند، یعنی

$$\phi \in \text{Isom}_{GM} \iff g_{\phi}^{A\bar{A}}(p) \in G \quad \forall p \in M \quad (44)$$

برای گنج‌های دلخواه  $\psi_p^{\bar{A}}$  و  $\psi_{\phi(p)}^A$  از  $G$ -اتلس برقرار است. خواننده باید این ادعاها را در مثال‌های ما در شکل ۳ تأیید کند.

### ۳.۴.۳ پیش‌برنده بردارهای ویژگی

اگر (و تنها اگر) یک ایزومتري تقارنی از  $G$ -ساختار باشد، منجر به پیش‌برنده بردارهای ویژگی می‌شود. به طور شهودی، این پیش‌برنده بردارهای ویژگی را از نقاط  $p$  به  $\phi(p)$  منتقل می‌کند. هنگامی که نسبت به دو چارچوب مرجع در  $p$  و  $\phi(p)$  بیان شود، توسط تبدیل گنج القا شده

$$\rho(g_{\phi}^{A\bar{A}}(p)). \quad (45)$$

داده می‌شود. توجه داشته باشید که این تبدیل برای هر  $\phi \in \text{Isom}_{GM}$  به خوبی تعریف شده است، زیرا تبدیل‌های گنج القا شده  $g_{\phi}^{A\bar{A}}(p)$  در این حالت مقادیری در  $G$  خواهند گرفت و  $\rho$  یک  $G$ -نمایش است. در مقابل، اگر  $\phi$  تقارنی از  $G$ -ساختار نباشد، تعریف پیش‌برنده بردار ویژگی متناظر غیرممکن است. این گزاره با این واقعیت مرتبط است که ویژگی‌های  $\square\square\square$  معمولی هیچ رفتار تبدیل مشخصی تحت چرخش‌ها یا بازتاب‌ها در گروه اقلیدسی  $E(d)$  ندارند.

پیش‌برنده بردارهای ویژگی منفرد عملی بر کل میدان ویژگی  $f$  را دلالت می‌کند، که ما آن را با  $f \triangleright \phi$  نشان می‌دهیم. نسبت به مختصات، این عمل به صورت

$$[\phi \triangleright f]^A(\phi(p)) = \rho(g_{\phi}^{A\bar{A}}(p)) f^{\bar{A}}(p). \quad (46)$$

بیان می‌شود. ما بعداً اثبات خواهیم کرد که های  $\square\square\square$  مستقل از مختصات نسبت به عمل ایزومتري‌ها در  $\text{Isom}_{GM}$  بر میدان‌های ویژگی تناوب‌پذیر هستند؛ به شکل ۱۹ مراجعه کنید. این ویژگی بر این واقعیت تکیه دارد که عمل فعال ایزومتري بر میدان‌های ویژگی می‌تواند توسط معادله (۴۶) به عنوان یک تبدیل گنج منفعل صرف ضرایب بردار ویژگی درک شود.

## ۴ شبکه‌های مستقل از مختصات و $\square\square$ -کانولوشن‌ها

شبکه‌های عصبی داده‌ها را با اعمال مجموعه‌ای از نگاشت‌های پارامتری (لایه‌ها) به یک سیگنال ورودی پردازش می‌کنند  $\square$  در مورد ما به مجموعه‌ای از میدان‌های ویژگی بر روی یک منیفولد ریمانی. اصل کوواریانس بدین ترتیب ایجاب می‌کند که لایه‌های منفرد شبکه باید عملیات مستقل از مختصات  $GM$  باشند. نمایش‌های مختصاتی چنین لایه‌هایی بنابراین باید طوری تبدیل شوند که قوانین تبدیل میدان‌های ویژگی ورودی و خروجی خود را رعایت کنند. به جز این الزام سازگاری، لایه‌های مستقل از مختصات عمومی بدون محدودیت باقی می‌مانند.

یک اصل طراحی رایج شبکه‌های عصبی که بر روی سیگنال‌های فضایی (میدان‌های ویژگی) عمل می‌کنند این است که آن‌ها به معنای تعمیم یافته‌ای کانولوشنی هستند. ویژگی اصلی که اکثر تعمیم‌های عملیات کانولوشن در آن مشترک هستند این است که استنتاج آن‌ها مستقل از موقعیت است. این امر با اشتراک توابع قالب، به عنوان مثال کرنل‌های کانولوشن یا بایاس‌ها، بین مکان‌های مختلف حاصل می‌شود. هر زمان که گروه ساختار  $G$  غیربدیهی باشد، فرآیند اشتراک وزن مبهم است زیرا توابع قالب می‌توانند نسبت به چارچوب‌های مرجع مختلف به اشتراک گذاشته شوند. همانطور که در ادامه استدلال خواهیم کرد، این ابهام با طراحی توابع قالب مشترک برای تناوب‌پذیر بودن تحت تبدیل‌های گنج با مقدار  $G$  حل می‌شود. توابع قالب تناوب‌پذیر گنج نسبت به چارچوب مرجع خاصی که در آن اعمال می‌شوند بی‌تفاوت خواهند بود و بنابراین امکان اشتراک وزن مستقل از مختصات را فراهم می‌کنند.

در این بخش ما لایه‌های شبکه‌ای را در نظر خواهیم گرفت که میدان‌های  $f_{\square\square}$  از نوع  $\rho_{\square\square}$  را به عنوان ورودی می‌گیرند و میدان  $f_{\square\square\square}$  از نوع  $\rho_{\square\square\square}$  را به عنوان خروجی تولید می‌کنند. بخش ۱.۴ حالت خاص لایه‌هایی را که به صورت نقطه‌ای عمل می‌کنند مورد بحث قرار می‌دهد، یعنی آن‌هایی که خروجی آن‌ها  $f_{\square\square\square}(p)$  در هر  $p \in M$  تنها به بردار ویژگی ورودی منفرد  $f_{\square\square}(p)$  در همان مکان بستگی دارد. مثال‌های عملی مرتبط که در اینجا در نظر گرفته شده‌اند عبارتند از  $1 \times 1$ -تناوب‌پذیر گنج در بخش ۱.۱.۴، جمع بایاس در بخش ۲.۱.۴ و غیرخطی‌ها در بخش ۳.۱.۴. حالت پیچیده‌تر کانولوشن‌ها با کرنل‌های گسترده فضایی در بخش ۲.۴ بررسی شده است. به عنوان آماده‌سازی، بخش ۱.۲.۴ میدان‌های ویژگی را همانطور که از دیدگاه مشاهده گران محلی (چارچوب‌های مرجع) دیده می‌شوند مورد بحث قرار می‌دهد، که کرنل‌های (کانولوشن) نسبت به آن‌ها اعمال خواهند شد. چنین مشاهداتی به عنوان پس‌کشی میدان ویژگی به فضای مماس یک مشاهده گران رسمی‌سازی می‌شوند؛ به شکل ۱۶ مراجعه کنید. بخش ۲.۲.۴ به اصطلاح تبدیل‌های میدان کرنل را معرفی می‌کند، که شبیه کانولوشن‌ها هستند اما اشتراک وزن فضایی را فرض نمی‌کنند و بنابراین توسط یک میدان

کرنل (به صورت هموار متغیر) بر روی  $M$  پارامتری می‌شوند.  $GM$ -کانولوشن‌های واقعی در بخش ۳.۲.۴ به عنوان آن تبدیل‌های میدان کرنل تعریف می‌شوند که توسط یک کرنل قالب منفرد مشترک پارامتری می‌شوند. به منظور تضمین استقلال از مختصات فرآیند اشتراک وزن، کرنل‌های کانولوشن مطالبه می‌شوند که  $G$ -استیریل باشند، یعنی قید تناوب‌پذیری گجج را برآورده کنند. بخش ۳.۴ نشان می‌دهد که  $GM$ -کانولوشن‌ها به طور خودکار تحت آن ایزومتري‌هایی که تقارن‌های  $G$ -ساختار هستند ( $Isom_{GM}$ -تناوب‌پذیر) تناوب‌پذیر هستند. این بدان معنی است که  $GM$ -کانولوشن‌ها با عمل ایزومتري‌ها بر میدان‌های ویژگی همانطور که در شکل ۱۹ بصری‌سازی شده است، جابجا می‌شوند.

## ۱.۴ عملیات نقطه‌ای تناوب‌پذیر گجج

برای شروع، ما برخی عملیات شبکه عصبی را در نظر می‌گیریم که محدودیت‌های ناشی از استقلال از مختصات مورد نیاز و اشتراک وزن به ویژه ساده قابل استخراج هستند. همه این عملیات این ویژگی مشترک را دارند که به صورت نقطه‌ای بر بردارهای ویژگی عمل می‌کنند، یعنی بردارهای ویژگی خروجی  $f_{\square\square\square}(p)$  در  $p \in M$  را صرفاً بر اساس بردارهای ویژگی ورودی  $f_{\square\square}(p)$  در همان مکان محاسبه می‌کنند. به منظور ارضای اصل کوواریانس، مختصات‌بندی‌های این عملیات همگی مطالبه می‌شوند که مطابق پیش‌ترکیب با  $\rho_{\square\square}$  و پس‌ترکیب با  $\rho_{\square\square\square}$  تبدیل شوند. هنگام تقاضای اینکه عملیات بر حسب وزن‌های مشترک تعیین شوند، این قوانین تبدیل الزامی برای تناوب‌پذیری گجج (یا ناوردایی) عملیات را دلالت می‌کنند.

استخراج‌ها برای عملیات نقطه‌ای مختلف در بخش‌های بعدی ۱.۱.۴، ۲.۱.۴ و ۳.۱.۴ در گام‌های اول عمدتاً مشابه هستند و به محدودیت‌های کوواریانس و تناوب‌پذیری اساساً یکسانی بر توابع قالب منجر می‌شوند. بنابراین آن‌ها می‌توانند با هم بررسی شوند، عملیات خاص (یا تابع قالب) را انتزاعی نگه داشته. با این حال، از آنجا که مفاهیم محدودیت‌های حاصل برای نمونه‌سازی‌های خاص متفاوت است، و از آنجا که می‌خواهیم بحث را نزدیک به کاربرد نگه داریم، چنین فرمول‌بندی انتزاعی را حذف خواهیم کرد و مستقیماً نمونه‌سازی‌های خاص را در نظر خواهیم گرفت.

### ۱.۱.۴ تناوب‌پذیر گجج 1

به عنوان اولین مثال از عملیات نقطه‌ای، ما عمل خانواده‌ای از نگاشت‌های خطی  $C_p$  را در نظر می‌گیریم، که بردار ویژگی ورودی  $f_{\square\square}(p)$  را در هر  $p \in M$  به بردار ویژگی خروجی

$$f_{\square\square\square}(p) := C_p f_{\square\square}(p). \quad (۴۷)$$

ارسال می‌کنند. اگر فرض اشتراک وزن فضایی را اضافه کنیم، نگاشت‌های خطی  $C_p$  و  $C_q$  در مکان‌های مختلف  $p$  و  $q$  جفت خواهند شد، و عملیات را می‌توان به عنوان کانولوشنی با کرنل دلتای دیراک با مقدار عملگر خطی دید. این عملیات در بینایی کامپیوتر بسیار رایج است، جایی که معمولاً به عنوان  $1 \times 1$ -نشانی‌ده داده می‌شود، زیرا گسسته‌سازی فضایی یک کرنل دیراک خطی که بر روی تصاویر دو بعدی عمل می‌کند توسط کرنل (با مقدار ماتریس) با گستره فضایی  $1 \times 1$  پیکسل داده می‌شود. ما در ادامه استخراج خواهیم کرد که تقاضای اشتراک وزن فضایی منجر به محدودیتی خواهد شد که کرنل‌های قالب با مقدار ماتریس را مجبور می‌کند که درهم تنیده باشند، یعنی ماتریس‌های تناوب‌پذیر گجج.

پیش از فرض اشتراک وزن، بیان‌های مختصاتی نگاشت‌های خطی  $C_p$  و تبدیل‌های گجج بین آن‌ها بسیار شبیه آن‌هایی از نگاشت‌های خطی بر روی  $T_p M$  رفتار می‌کنند، که در بخش ۲.۱.۳ مورد بحث قرار دادیم. از آنجا که بردارهای ویژگی ورودی و خروجی در مختصات توسط بردارهای ضریب  $f_{\square\square}(p) \in \mathbb{R}^{c_{\square\square}}$  و  $f_{\square\square\square}(p) \in \mathbb{R}^{c_{\square\square\square}}$  نمایش داده می‌شوند، نگاشت خطی به طور طبیعی توسط آن ماتریس  $C_p^A \in \mathbb{R}^{c_{\square\square\square} \times c_{\square\square}}$  نمایش داده می‌شود که

$$f_{\square\square\square}^A(p) = C_p^A \cdot f_{\square\square}^A(p). \quad (۴۸)$$

را برآورده می‌کند. این رابطه البته برای مختصات‌بندی‌های دلخواه برقرار است، به طوری که برای هر گجج دیگری که با  $B$  برچسب گذاری شده است،  $f_{\square\square\square}^B(p) = C_p^B \cdot f_{\square\square}^B(p)$  داریم. قانون تبدیلی که  $C_p^B$  را به  $C_p^A$  مرتبط می‌کند از اصل کوواریانس از قوانین تبدیل ویژگی‌های ورودی و خروجی پیروی می‌کند. از آنجا که این‌ها توسط  $f_{\square\square}^A(p) = \rho_{\square\square}(g_p^{BA}) f_{\square\square}^B(p)$  و  $f_{\square\square}^B(p) = \rho_{\square\square}(g_p^{AB}) f_{\square\square}^A(p)$  داده می‌شوند، داریم:

$$\begin{aligned} f_{\square\square}^B(p) &= C_p^B \cdot f_{\square\square}^A(p) \\ \Leftrightarrow \rho_{\square\square}(g_p^{BA}) f_{\square\square}^A(p) &= C_p^B \rho_{\square\square}(g_p^{BA}) f_{\square\square}^A(p) \\ \Leftrightarrow f_{\square\square}^A(p) &= \rho_{\square\square}(g_p^{BA})^{-1} C_p^B \rho_{\square\square}(g_p^{BA}) f_{\square\square}^A(p). \end{aligned} \quad (۴۹)$$

مقایسه با معادله (۴۸) دلالت دارد بر اینکه دو بیان مختصاتی  $C_p$  لزوماً با

$$C_p^B = \rho_{\square\square}(g_p^{BA}) C_p^A \rho_{\square\square}(g_p^{BA})^{-1} \quad (۵۰)$$

مرتبط هستند اگر قرار باشد قوانین تبدیل بردارهای ویژگی را رعایت کنند. همانطور که معمول است، این ملاحظات به طور مختصر توسط نمودار جابجایی ضبط می شوند:

$$\begin{array}{ccc} \mathbb{R}^{C_{00}} & \xrightarrow{C_p^A} & \mathbb{R}^{C_{000}} \\ \rho_{00}(g_p^{BA}) \downarrow & & \downarrow \rho_{000}(g_p^{BA}) \\ \mathbb{R}^{C_{00}} & \xrightarrow{C_p^B} & \mathbb{R}^{C_{000}} \end{array} \quad (51)$$

مفهوم عملی مهم این نتیجه تا کنون این است که نگاشت خطی  $C_p$  به هیچ وجه محدود نیست. به بیان دیگر: تا زمانی که بیان‌های مختصاتی در گنج‌های مختلف توسط معادله (50) مرتبط باشند، آزاد هستیم که  $C_p$  را در یک گنج دلخواه ثابت  $A$  توسط ماتریس بدون محدودیت  $C_p^A$  پارامتری کنیم. همانطور که خواهیم دید، وضعیت زمانی تغییر می کند که نگاشت‌های خطی اشتراک وزن داشته باشند.

حال حالتی را در نظر بگیرید که نگاشت‌های خطی  $C_p$  و  $C_q$  وزن‌ها را به اشتراک می گذارند. این بدان معنی است که فرض می کنیم آن‌ها توسط مجموعه مشترکی از پارامترها پارامتری شوند، که توسط کرنل قالب  $1 \times 1$  - $\mathbb{R}^{C_{000} \times C_{00}}$   $K_{1 \times 1} \in \mathbb{R}^{C_{000} \times C_{00}}$  داده می شود. سؤال باز این است که دقیقاً چگونه نگاشت‌های آزاد از مختصات باید بر حسب این کرنل قالب پارامتری شوند. الزام ما برای استقلال از مختصات  $GM$  تقاضا می کند که هیچ چارچوب مرجع خاصی را در فرآیند اشتراک وزن ترجیح ندهیم، یعنی همه مختصات‌بندی‌ها را به همان شیوه درمان کنیم. بنابراین لازم است که کرنل قالب را با همه مختصات‌بندی‌ها به طور همزمان به اشتراک بگذاریم، یعنی

$$C_p^X = K_{1 \times 1} \quad (U^X, \psi^X) \in \mathcal{A}^G \text{ با } p \in U^X, \quad (52)$$

تنظیم کنیم، که در آن  $\mathcal{A}^G$  (حداکثر)  $G$ -اتلس متناظر با  $G$ -ساختار در نظر گرفته شده است؛ به معادله (25) مراجعه کنید. از آنجا که محدودیت کوواریانس در معادله (50) نیاز دارد که برای گنج‌های دلخواه مرتبط با  $G$  برقرار باشد، و مختصات‌بندی‌های  $C_p^A = C_p^B = K_{1 \times 1}$  نگاشت‌های خطی همگی مطابقت دارند، تقاضای مشترک برای اشتراک وزن و استقلال از مختصات  $GM$  منجر به محدودیت

$$K_{1 \times 1} = \rho_{000}(g) K_{1 \times 1} \rho_{00}(g)^{-1} \quad \forall g \in G \quad (53)$$

بر کرنل قالب می شود. تطبیق متناظر نمودار جابجایی در معادله (51) با اشتراک وزن توسط:

$$\begin{array}{ccc} \mathbb{R}^{C_{00}} & \xrightarrow{K_{1 \times 1}} & \mathbb{R}^{C_{000}} \\ \rho_{00}(g_p^{BA}) \downarrow & & \downarrow \rho_{000}(g_p^{BA}) \\ \mathbb{R}^{C_{00}} & \xrightarrow{K_{1 \times 1}} & \mathbb{R}^{C_{000}} \end{array} \quad (54)$$

داده می شود.

نتیجه گیری این تحلیل این است که کرنل‌های قالبی که می توانند بدون ابهام به اشتراک گذاشته شوند دقیقاً آن‌هایی هستند که تحت عمل گنج ناوردا هستند. فضای برداری چنین کرنل‌های  $1 \times 1$  - $\mathbb{R}^{C_{000} \times C_{00}}$  ناوردا گنج ساده فضای نگاشت‌های درهم تنیده بین نمایش‌های  $\rho_{00}$  و  $\rho_{000}$  است، یعنی

$$\text{Hom}_G(\rho_{00}, \rho_{000}) := \left\{ K_{1 \times 1} \in \mathbb{R}^{C_{000} \times C_{00}} \mid K_{1 \times 1} = \rho_{000}(g) K_{1 \times 1} \rho_{00}(g)^{-1} \quad \forall g \in G \right\} \subseteq \mathbb{R}^{C_{000} \times C_{00}}. \quad (55)$$

توجه داشته باشید که، طبق لم شور [5]، الزام بر  $K_{1 \times 1}$  برای درهم تنیده بودن مانع از نگاشت بین میدان‌هایی که تحت نمایش‌های کاهش ناپذیر غیرهم ریخت تبدیل می شوند از طریق  $1 \times 1$  - $\mathbb{R}^{C_{000} \times C_{00}}$  می شود. این محدودیت شدید با کرنل‌های  $1 \times 1$  - $\mathbb{R}^{C_{000} \times C_{00}}$  اجتناب ناپذیر است اما بعداً هنگام اجازه دادن به کرنل‌های گسترده فضایی حل خواهد شد.

در این نقطه می خواهیم اشاره کنیم که اصطلاحات «تابع قالب تناوب پذیر گنج» و «تابع قالب ناوردا گنج» را به طور متقابل استفاده می کنیم. این با مشاهده توجهی می شود که محدودیت ناوردایی در معادله (53) می تواند به عنوان محدودیت تناوب پذیری  $\rho_{000}(g) K_{1 \times 1} = \rho_{00}(g) K_{1 \times 1} \quad \forall g \in G$  نوشته شود. به طور کلی امکان مشاهده توابعی که نسبت به عمل گروهی در دامنه و دامنه مشترک آن‌ها تناوب پذیر هستند به عنوان ناوردای عمل متناظر بر خود تابع وجود دارد. در کاربرد ما، دیدگاه تناوب پذیری برجسته می کند که تبدیل میدان ورودی منجر به تبدیل متناظر میدان خروجی خواهد شد، که تضمین می کند همه کمیت‌های درگیر به طور کوواریانت با یکدیگر تبدیل شوند. از طرف دیگر، دیدگاه ناوردایی تأکید می کند که تابع قالب می تواند در گنج دلخواه به اشتراک گذاشته شود.

#### ۲.۱.۴ جمع بایاس تناوب پذیر گیج

پس از اعمال عملیات کانولوشن، رایج است که بردار بایاس (مشترک) به بردارهای ویژگی منفرد جمع شود. همراه با الزام استقلال از مختصات، اشتراک وزن دوباره منجر به محدودیت خطی خواهد شد. این محدودیت تنها اجازه جمع شدن بایاس ها به زیرفضاهای ناورد عمل گیج بر میدان ویژگی ورودی را خواهد داد.

همانند قبل، ابتدا جمع بایاس را بدون اشتراک وزن در نظر می گیریم. بنابراین بایاس های  $b_p$  داریم، که به موقعیت  $p$  بر روی منیفولد بستگی دارند، که به بردار ویژگی ورودی جمع می شوند تا بردار ویژگی خروجی

$$f_{\square\square}(p) = f_{\square\square}(p) + b_p. \quad (56)$$

تولید کنند. نسبت به گیج های  $\psi_p^A$  و  $\psi_p^B$  بایاس توسط آن بردارهای ضرب  $b_p^B$  و  $b_p^A$  در  $\mathbb{R}^c$  نمایش داده می شود که  $f_{\square\square}^A(p) = f_{\square\square}^A(p) + b_p^A$  و  $f_{\square\square}^B(p) = f_{\square\square}^B(p) + b_p^B$  را برآورده می کنند. از آنجا که جمع بردارها اجازه تغییر قوانین تبدیل آن ها را نمی دهد، نمایش های گروهی مرتبط با ویژگی های ورودی و خروجی لزوماً مطابقت دارند، یعنی

$$\rho_{\square\square} = \rho_{\square\square} =: \rho. \quad (57)$$

همراه با الزام برای استقلال از مختصات، این دلالت دارد بر اینکه نمودار

$$\begin{array}{ccc} \mathbb{R}^c & \xrightarrow{+b_p^A} & \mathbb{R}^c \\ \rho(g_p^{BA}) \cdot \downarrow & & \downarrow \rho(g_p^{BA}) \cdot \\ \mathbb{R}^c & \xrightarrow{+b_p^B} & \mathbb{R}^c \end{array}, \quad (58)$$

که معادل آن در معادله (51) است، نیاز دارد که جابجایی شود. به صورت معادله نوشته شده، این رابطه  $\rho(g_p^{BA})(f_p^A + b_p^A) = \rho(g_p^{BA})f_p^A + b_p^B$  را تقاضا می کند که برقرار باشد. از آنجا که خطی بودن  $\rho(g)$  امکان بازنویسی سمت راست را به عنوان  $\rho(g_p^{BA})f_p^A + \rho(g_p^{BA})b_p^A$  می دهد، تفریق بردار ویژگی ورودی منجر به

$$b_p^B = \rho(g_p^{BA}) b_p^A. \quad (59)$$

می شود. بردارهای ضربی که یک بایاس مستقل از مختصات را نسبت به گیج های مختلف نمایش می دهند بنابراین نیاز دارند که دقیقاً مانند بردارهای ویژگی که به آن ها جمع می شوند تبدیل شوند. همانند مورد  $1 \times 1$ ، استقلال از مختصات بایاس  $b_p$  را به هیچ وجه محدود نمی کند، بلکه فقط مختصات بندی های مختلف همان بایاس را مطالبه می کند که با یکدیگر سازگار باشند. یک پیاده سازی بنابراین می تواند گیج دلخواه انتخاب کند و بایاس را در آن گیج آزادانه توسط پارامترهایی در  $\mathbb{R}^{c \times c}$  پارامتری کند.

وضعیت دوباره زمانی تغییر می کند که اشتراک وزن فضایی تقاضا شود. فرض کنید  $b \in \mathbb{R}^{c \times c}$  بردار بایاس قالبی باشد که بر روی منیفولد به اشتراک گذاشته شود. از آنجا که تنها راه انجام این کار بدون ترجیح دلخواه هر مختصات بندی، اشتراک بردار بایاس در همه گیج ها به طور همزمان است، باید

$$b_p^X = b \quad \text{برای هر گیج } (U^X, \psi^X) \in \mathcal{A}^G \text{ با } p \in U^X. \quad (60)$$

را در قیاس با معادله (52) مطالبه کنیم. ترکیب محدودیت کوواریانس در معادله (59) با این اشتراک وزن مستقل از گیج سپس منجر به محدودیت ناوردایی

$$b = \rho(g) b \quad \forall g \in G \quad (61)$$

بر قالب بردار بایاس می شود. برای تکمیل قیاس با مورد  $1 \times 1$ ، نسخه تطبیق یافته نمودار جابجایی در معادله (58) با وزن های مشترک را نشان می دهیم:

$$\begin{array}{ccc} \mathbb{R}^c & \xrightarrow{+b} & \mathbb{R}^c \\ \rho(g_p^{BA}) \cdot \downarrow & & \downarrow \rho(g_p^{BA}) \cdot \\ \mathbb{R}^c & \xrightarrow{+b} & \mathbb{R}^c \end{array} \quad (62)$$

برای بصیرت در مفاهیم محدودیت ناوردایی در معادله (61)، فرض کنید برای بردار قالب داده شده  $b$  برآورده شود. به دلیل خطی بودن محدودیت، هر بردار مقیاس شده  $\alpha \cdot b$  برای  $\alpha \in \mathbb{R}$  نیز آن را برآورده خواهد کرد، یعنی هر حل زیرفضای یک بعدی از  $\mathbb{R}^c$  را پوشش می دهد که تحت عمل  $\rho$

ناوردا است. چنین زیرفضای ناوردا به عنوان زیرنمایش  $\rho$  نشان داده می شود. از آنجا که زیرفضاهای در نظر گرفته شده یک بعدی هستند، خودشان هیچ زیرفضای مناسب ندارند و بنابراین زیرنمایش های کاهش ناپذیر بدیهی هستند. نتیجه می شود که فضای برداری

$$\mathcal{B}_\rho^G := \{b \in \mathbb{R}^c \mid b = \rho(g)b \quad \forall g \in G\} \quad (63)$$

بایاس های تناوب پذیر گنج با (زیرفضاهای) زیرنمایش های بدیهی  $\rho$  مطابقت دارد. ابعاد  $\mathcal{B}_\rho^G$  و بنابراین تعداد پارامترهای قابل یادگیری  $\square$  با کثرت زیرنمایش های بدیهی موجود در  $\rho$  مطابقت دارد. برای گروه های فشرده  $G$ ، روابط متعامد شور دلالت دارند بر اینکه این ابعاد توسط  $\dim(\mathcal{B}_\rho^G) = \int_G \text{tr}(\rho(g)) dg$  داده می شود. این گزاره موارد مهم عملی گروه های متعامد  $G = d$  و همه زیر گروه های آن را پوشش می دهد.

دو مثال ساده از میدان های ویژگی که ممکن است بخواهیم بایاس های مشترک به آن ها جمع کنیم، میدان های اسکالر و میدان های بردار مماس هستند. بر اساس تعریف، میدان ضریب یک میدان اسکالر تحت تبدیل های گنج ناوردا است، یعنی طبق نمایش بدیهی  $\rho(g) = 1 \quad \forall g \in G$  تبدیل می شود. بنابراین می توان بایاس (اسکالر)  $b \in \mathbb{R}$  به آن ها جمع کرد. در مقابل، میدان ضریب یک میدان بردار مماس طبق نمایش گروهی غیر بدیهی، کاهش ناپذیر  $\rho(g) = g$  تبدیل می شود. از آنجا که این نمایش هیچ زیرنمایش بدیهی ندارد، جمع بردار بایاس مشترک به میدان های بردار مماس با حفظ استقلال از مختصات غیر ممکن است. به عنوان مثال سوم، نمایش های منظم گروه های فشرده را در نظر بگیرید، که به عنوان مثال میدان های ویژگی شبکه های کانولوشنی گروهی را توصیف می کنند. توسط قضیه پیتر-ویل، شناخته شده است که نمایش های منظم دقیقاً یک زیرنمایش بدیهی دارند [؟]. بنابراین بایاس که به میدان های ویژگی منظم جمع می شود توسط یک پارامتر منفرد توصیف می شود.

### ۳.۱.۴ غیرخطی های تناوب پذیر گنج

به جز عملیات خطی (کانولوشن) و جمع بایاس، اساسی ترین عملیات استفاده شده در هر شبکه عصبی غیرخطی ها هستند. ما در اینجا حالت معمول غیرخطی های  $\sigma_p$  را در نظر خواهیم گرفت که به روشی محلی فضایی عمل می کنند، یعنی بردارهای ویژگی خروجی را به عنوان  $f_{\square\square}(p) = \sigma_p(f_{\square\square}(p))$  محاسبه می کنند. یک غیرخطی مشترک دوباره مطالبه می شود که تناوب پذیر گنج باشد. از آنجا که استدلالی که به این نتیجه گیری منجر می شود شبیه آن در موارد قبلی است، تنها به طور خلاصه آن را خلاصه خواهیم کرد. به دلیل عمومیت نگاشت های غیرخطی استخراج فضاهای حل خطی همانند معادلات (۵۵) و (۶۳) غیر ممکن است، با این حال، برخی مثال های خاص را مورد بحث قرار خواهیم داد.

مشابه قبل، هر غیرخطی آزاد از مختصات  $\sigma_p$  نسبت به گنج های  $A$  و  $B$  توسط بیان های مختصاتی  $\sigma_p^A : \mathbb{R}^{c_{\square\square}} \rightarrow \mathbb{R}^{c_{\square\square}}$  و  $\sigma_p^B : \mathbb{R}^{c_{\square\square}} \rightarrow \mathbb{R}^{c_{\square\square}}$  داده می شود، که توسط تقاضای استقلال از مختصات مطالبه می شوند که  $\sigma_p^B \circ \rho_{\square\square}(g^{BA}) \circ \sigma_p^A \circ \rho_{\square\square}(g^{BA})^{-1}$  مرتبط باشند. یک تابع قالب غیرخطی  $\delta : \mathbb{R}^{c_{\square\square}} \rightarrow \mathbb{R}^{c_{\square\square}}$  تنها زمانی می تواند به روشی مستقل از مختصات به اشتراک گذاشته شود که به طور همزمان با همه گنج ها به اشتراک گذاشته شود. این محدودیت کوواریانس را به محدودیت ناوردایی  $\delta = \rho_{\square\square}(g) \circ \delta \circ \rho_{\square\square}(g)^{-1} \quad \forall g \in G$  بر تابع قالب تبدیل می کند، یا، به طور معادل، به محدودیت تناوب پذیری متناظر

$$\rho_{\square\square}(g) \circ \delta = \delta \circ \rho_{\square\square}(g)^{-1} \quad \forall g \in G. \quad (64)$$

به دلیل غیرخطی بودن این محدودیت مجبور هستیم آن را مورد بررسی کنیم  $\square$  بنابراین بحث خود را به چند مثال خاص محدود خواهیم کرد. بحث برانگیز ترین ساده ترین حالت، غیرخطی هایی است که بین میدان های اسکالر نگاشت می کنند، یعنی برای آن ها  $\rho_{\square\square}(g) = \rho_{\square\square}(g) = 1$  برای هر  $g \in G$  ناوردا هستند. در این حالت محدودیت تناوب پذیری در معادله (۶۴) به  $\delta = \delta$  تبدیل می شود، که به طور بدیهی برای هر غیرخطی  $\mathbb{R} \rightarrow \mathbb{R}$  برآورده می شود. مثال جالب تری نمایش یکانی  $\rho_{\square\square}$  است. یک غیرخطی ممکن برای این حالت توسط نرم بردارهای ویژگی داده می شود. از آنجا که  $\|f_{\square\square}^A(p)\| = \|\rho_{\square\square}(g)f_{\square\square}^A(p)\|$  به دلیل یکانی بودن  $\rho_{\square\square}$  ناوردا است،  $\rho_{\square\square}$  نمایش بدیهی خواهد بود. گرفتن نرم بنابراین به عنوان عملیات غیرخطی، تناوب پذیر گنج دیده می شود که هر میدان یکانی را به میدان اسکالر نگاشت می کند. یک نگاشت غیرخطی که نوع میدان را حفظ می کند، یعنی  $\rho_{\square\square} = \rho_{\square\square}$  را برآورده می کند، می تواند به طور مشابه به عنوان  $f_{\square\square}^A(p) \mapsto \|f_{\square\square}^A(p)\| \cdot f_{\square\square}^A(p)$  تعریف شود. گزینه دیگر، که ممکن است در یادگیری تعاملات فیزیکی نقش داشته باشد و در [؟؟؟] مورد بررسی قرار گرفته است، غیرخطی های حاصل ضرب تانسوری هستند. با داشتن دو میدان  $f_{\square\square,1}^A(p)$  و  $f_{\square\square,2}^A(p)$ ، که به ترتیب طبق  $\rho_{\square\square,1}$  و  $\rho_{\square\square,2}$  تبدیل می شوند، چنین غیرخطی هایی ویژگی حاصل ضرب تانسوری  $f_{\square\square}^A(p) = f_{\square\square,1}^A(p) \otimes f_{\square\square,2}^A(p)$  را محاسبه می کنند، که به طور تناوب پذیر طبق نمایش حاصل ضرب تانسوری  $\rho_{\square\square} = \rho_{\square\square,1} \otimes \rho_{\square\square,2}$  تبدیل می شود. همه این مثال ها محدودیت تناوب پذیری گنج در معادله (۶۴) را برآورده می کنند. اینکه کدام غیرخطی خاص در عمل خوب کار می کند، با این حال، هنوز سؤال تحقیقاتی بازی است که نیازمند بررسی تجربی بیشتری قبل از پاسخ دادن است. اولین تلاش در این جهت در [؟] انجام شده است.

### ۲.۴ تبدیلات میدان کرنل و کانولوشن های $\square\square$

عملیات اصلی شبکه های کانولوشنی، عملگر کانولوشن است که الگوهای مشخصه ویژگی ها را از یک همسایگی محلی در اطراف هر نقطه  $p \in M$  به صورت خطی در یک بردار ویژگی جدید  $f_{\square\square}(p)$  جمع می کند. یک کرنل کانولوشن گسترده فضایی، جزئیات این انباشت را تعیین می کند. اصل



کوواریانس نیازمند استقلال از مختصات و در نتیجه یک قانون تبدیل خاص برای کرنل‌ها تحت تبدیلات پیمانه است. همانند مثال‌های قبلی، یک تقاضای اضافی برای اشتراک‌گذاری وزن منجر به الزامی برای کرنل الگو می‌شود تا نسبت به پیمانه هموردا ( $G$ -راهر) باشد.

مطابق با بخش قبل، ما به وضوح بین الزامات استقلال از مختصات و اشتراک‌گذاری وزن تمایز قائل می‌شویم. بنابراین، بخش ۲.۲.۴ با بحث در مورد میدان‌های کرنل و قوانین تبدیل آن‌ها بدون الزام به اینکه کرنل‌ها در موقعیت‌های جداگانه به هم مرتبط باشند، شروع می‌شود. چنین میدان‌های کرنل نامحدودی منجر به تبدیلات میدان کرنل می‌شوند که تبدیلات انتگرالی هستند و می‌توان آن‌ها را به عنوان پیش‌درآمدهای کانولوشن‌ها در نظر گرفت. کانولوشن‌های واقعی  $GM$  که توسط یک کرنل الگوی مشترک و لزوماً هموردای پیمانه‌ای پارامتری می‌شوند، در بخش ۳.۲.۴ تعریف شده‌اند. به عنوان یک آماده‌سازی، در بخش بعدی ۱.۲.۴، نمایش‌های محلی میدان‌های ویژگی را بر روی فضاهای مماس توصیف خواهیم کرد، جایی که آن‌ها با کرنل‌های کانولوشن تطبیق داده می‌شوند.

## ۱.۲.۴ دیدگاه یک ناظر محلی به میدان‌های ویژگی

برخلاف فضاهای اقلیدسی یا فضاهای همگن کلی‌تر مانند کره، هندسه محلی یک خمینه ریمانی کلی از نقطه‌ای به نقطه دیگر متفاوت است. بنابراین، بلافاصله مشخص نیست که یک کرنل کانولوشن چگونه باید روی  $M$  تعریف شود و چگونه می‌توان آن را بین مکان‌های مختلف به اشتراک گذاشت. یک راه‌حل رایج این است که کرنل را طبق معمول روی یک فضای برداری مسطح و اقلیدسی  $\mathbb{R}^d$  تعریف کرده و آن را به جای خود خمینه، روی فضاهای مماس به اشتراک بگذاریم؛ به بخش‌های ۲.۲.۴ و ۳.۲.۴ یا کارهای قبلی [۱۱، ۱۲، ۱۳، ۱۴، ۱۵، ۱۶] مراجعه کنید. سپس، کرنل را می‌توان از طریق نگاشت نمایی ریمانی به روی خمینه نگاشت. می‌توان آن را به گونه‌ای تصور کرد که توسط یک ناظر محلی اعمال می‌شود که ویژگی‌ها را در محیط اطراف خود نسبت به چارچوب مرجع محلی خود اندازه‌گیری می‌کند. در این بخش به طور خلاصه به چگونگی درک میدان‌های ویژگی از دیدگاه ناظران محلی مختلف خواهیم پرداخت. از نظر ریاضی، این موضوع به عنوان پس‌کش  $(\pi^* \circ \pi)$  و انتقال موازی میدان ویژگی به فضاهای مماس فرمول‌بندی می‌شود؛ برای تجسم به شکل ۱۶ مراجعه کنید.

برای نگاشت بین فضاهای مماس و خمینه، ما نگاشت نمایی ریمانی (مرتبط با اتصال لوی-چیویتا) را در نظر می‌گیریم.<sup>۲۱</sup> با فرض اینکه خمینه برای سادگی کامل از نظر ژئودزیکی باشد<sup>۲۲</sup>، نگاشت نمایی در یک نقطه خاص  $p \in M$  نگاشتی است به صورت

$$\exp_p : T_p M \rightarrow M. \quad (65)$$

این نگاشت، بردارهای  $v \in T_p M$  را با نقاطی  $\exp_p(v) \in M$  یکی می‌داند که با دنبال کردن ژئودزیک گذرنده از  $p$  با سرعت اولیه  $v$  برای یک واحد زمان به دست می‌آیند. نگاشت نمایی با اینکه فواصل شعاعی را حفظ می‌کند، به طور کلی زوایا را تغییر می‌دهد و یک‌به‌یک نیست. به عنوان مثال، اگر خمینه یک کره باشد، نگاشت‌های نمایی فضای مماس مربوطه را بی‌نهایت بار دور آن می‌پیچند. با این حال، تضمین می‌شود که نگاشت نمایی یک دیفئومورفیسم محلی است اگر دامنه آن به فواصلی کوتاه‌تر از فاصله تا مکان بُرش (جایی که یک‌به‌یک بودن از دست می‌رود) محدود شود.

با داشتن نگاشت‌های نمایی، می‌توان میدان‌های ویژگی روی خمینه را به فضاهای مماس پس‌کش کرد. به طور خاص، اگر  $f$  یک میدان ویژگی روی  $M$  باشد، پس‌کش  $\exp_p^* f := f \circ \exp_p$  به عنوان نگاشتی تعریف می‌شود که بردار ویژگی  $f(\exp_p(v))$  از  $\exp_p(v)$  را به  $v \in T_p M$  نسبت می‌دهد. توجه داشته باشید که به دلیل عدم یک‌به‌یک بودن نگاشت نمایی، هر بردار ویژگی ممکن است به چندین بردار مماس  $v_1$  و  $v_2$  اختصاص یابد اگر  $\exp_p(v_1) = \exp_p(v_2)$  باشد. این پدیده تا حدودی شبیه به اثرات عدسی گرانشی در فیزیک است. در صورتی که نگاشت نمایی یک‌به‌یک باشد، یا زمانی که آن را به شعاع یک‌به‌یک بودن آن محدود کنیم، پس‌کش معادل بیان میدان‌های ویژگی در مختصات نرمال ژئودزیکی است [۱۷].

به یاد بیاورید که هدف از پس‌کش بردارهای ویژگی به فضاهای مماس این است که بتوان آن‌ها را توسط یک کرنل کانولوشن جمع‌آوری کرد. متأسفانه، این کار بلافاصله امکان‌پذیر نیست زیرا بردارهای ویژگی در مکان‌های مختلف در فضاهای برداری متفاوتی قرار دارند و نسبت به پیمانه‌های متفاوتی بیان می‌شوند.<sup>۲۳</sup> بنابراین لازم است تمام بردارهای ویژگی  $f(v)$  [۱۸] در یک فضای برداری و نسبت به یک پیمانه یکسان بیان شوند. یک ایده طبیعی که توسط [۱۹] پیشنهاد شد، انجام این کار با انتقال موازی بردارهای ویژگی در امتداد ژئودزیک‌هایی است که نگاشت نمایی را از  $\exp_p(v)$  به  $v$  تعریف می‌کنند.<sup>۲۴</sup> ما این پس‌کش  $f$  را با انتقال اضافی با  $\text{Exp}_p^* f$  نشان می‌دهیم تا بر ارتباط نزدیک آن با پس‌کش معمولی  $\exp_p^* f$  به  $T_p M$  تأکید کنیم. شکل ۱۶ یک ایده بصری از این پس‌کش انتقال‌دهنده میدان‌های ویژگی به فضای مماس و نمایش‌های آن  $[\text{Exp}_p^* f]^A$  و  $[\text{Exp}_p^* f]^B$  روی  $\mathbb{R}^d$  نسبت به مختصات دهی‌های مختلف ارائه می‌دهد.

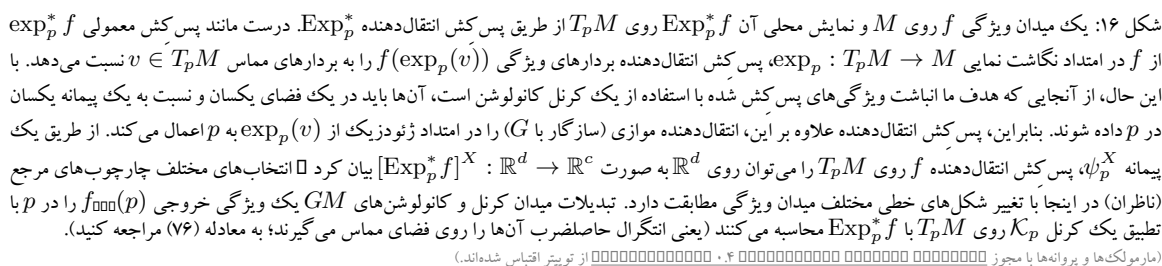
ما  $\text{Exp}_p^* f$  را با تعریف آن بر حسب عبارت مختصاتی‌اش نسبت به یک انتخاب پیمانه فرمول‌بندی می‌کنیم. برای این منظور، فرض کنید  $\psi_p^A$  یک پیمانه در  $p$  باشد که ویژگی‌های منتقل‌شده نهایتاً نسبت به آن بیان می‌شوند و  $\psi_{\exp_p(v)}^A$  یک پیمانه دلخواه در  $\exp_p(v)$  باشد که بردار ویژگی در آن

<sup>۲۱</sup> حتی مدل‌هایی که یک اتصال جایگزین (سازگار با  $G$ ) برای انتقال ویژگی‌ها فرض می‌کنند، معمولاً از اتصال کانونی لوی-چیویتا برای محاسبه ژئودزیک‌ها و نگاشت‌های نمایی استفاده می‌کنند.

<sup>۲۲</sup> فرض کامل بودن ژئودزیکی  $M$  به این معناست که نگاشت‌های نمایی  $\exp_p$  برای هر  $p \in M$  روی کل فضای مماس  $T_p M$  تعریف شده‌اند. در مواردی که این فرض برقرار نباشد، می‌توان به پر کردن با صفر متوسل شد، که معمولاً در شبکه‌های کانولوشنی برای تصاویر با تکیه‌گاه متناهی استفاده می‌شود.

<sup>۲۳</sup> یک وضعیت بسیار مشابه، تعریف مشتقات کوواریانت را انگیزه‌مند می‌کند، که آن نیز نیاز به ترکیب اشیاء هندسی دارد که در فضاهای متفاوتی زندگی می‌کنند.

<sup>۲۴</sup> انتقال موازی در امتداد هر مسیر دیگری نیز به همان اندازه معتبر خواهد بود.


$$\rho(g_{p \leftarrow \exp_n v}^{A\tilde{A}}) \quad (99)$$
$$\begin{aligned} [\mathrm{Exp}_p^* f]^A : \mathbb{R}^d &\rightarrow \mathbb{R}^c, \quad v^A \mapsto [\mathrm{Exp}_p^* f]^A(v^A) \\ &:= \rho\left(g_{p \leftarrow \exp_p(\psi_p^A)^{-1}(v^A)}^{A\tilde{A}}\right) \cdot f^{\tilde{A}}\left(\exp_p(\psi_p^A)^{-1}(v^A)\right), \end{aligned} \quad (9\mathbf{V})$$

با این حال، پس کش انتقال دهنده  $[\text{Exp}_p^* f]^A$  همچنان به پیمانه در  $p$  بستگی دارد و بنابراین تحت تبدیلات پیمانه  $g_p^{BA}$   $p$  تبدیل می شود. مانند هر تابع مختصاتی، قانون تبدیل آن توسط تبدیلات پیمانه بر روی دامنه  $\mathbb{R}^d$  و هم دامنه اش  $\mathbb{R}^c$  تعیین می شود. بنابراین به صورت زیر داده می شود:

$$[\mathrm{Exp}_p^* f]^B = \rho(g_p^{BA}) \circ [\mathrm{Exp}_p^* f]^A \circ (g_p^{BA})^{-1}, \quad (6A)$$

که توسط نمودار جابجایی زیر خلاصه می شود:

$$\begin{array}{ccc}
\mathbb{R}^d & \xrightarrow{[\text{Exp}_p^* f]^A} & \mathbb{R}^c \\
g_p^{BA} \downarrow & & \downarrow \rho(g_p^{BA}) \\
\mathbb{R}^d & \xrightarrow{[\text{Exp}_n^* f]^B} & \mathbb{R}^c
\end{array} \quad (99)$$

همانطور که در شکل ۱۶ به تصویر کشیده شده است،  $[\text{Exp}_p^* f]^A$  و  $[\text{Exp}_p^* f]^B$  باید به عنوان دیدگاه ناظران محلی (چارچوب‌های مرجع) مختلف به میدان ویژگی در نظر گرفته شوند.

در اصل، می‌توان ساختارهای جایگزینی را برای پس‌کش میدان‌های ویژگی از  $M$  به  $T_p M$  در نظر گرفت. تعریف ما از تبدیلات میدان کرنل و کانولوشن‌های  $GM$  در بخش‌های ۲.۲.۴ و ۳.۲.۴ در ادامه، مستقل از این انتخاب خاص است.

## ۲.۲.۴ کرنل‌های مستقل از مختصات و تبدیلات میدان کرنل

کانولوشن‌های  $GM$  عملیات مستقلی از مختصات هستند که کرنل مشترک و یکسانی را در هر نقطه از خمینه اعمال می‌کنند. برای تفکیک واضح فرضیات، ابتدا تبدیلات میدان کرنل عمومی‌تری را مورد بحث قرار می‌دهیم که عملیات مستقلی از مختصات هستند اما الزام اشتراک‌گذاری وزن را کنار می‌گذارند. بنابراین، آن‌ها شبیه به کانولوشن‌های  $GM$  هستند اما در هر نقطه  $p$  از خمینه، کرنل بالقوه متفاوتی  $\mathcal{K}_p$  اعمال می‌کنند. به منظور رعایت اصل کوواریانس، عبارات مختصاتی این کرنل‌ها باید به شیوه‌ای اصولی تبدیل شوند، با این حال، خود کرنل‌ها بدون محدودیت باقی می‌مانند.

**کرنل‌های مستقل از مختصات:** از آنجایی که کانولوشن‌ها در یادگیری عمیق بین میدان‌های بردارهای ویژگی با ابعاد  $\mathbb{R}^{c_{00}}$  و  $\mathbb{R}^{c_{000}}$  نگاشت برقرار می‌کنند، کرنل‌های کانولوشن ماتریس-مقدار  $c_{000} \times c_{00}$  هستند. پیاده‌سازی‌های گسسته کانولوشن‌های  $d$ -بعدی روی فضاها اقلیدسی معمولاً چنین کرنل‌هایی را به صورت آرایه‌هایی با شکل  $(s_1, \dots, s_d, c_{000}, c_{00})$  نمایش می‌دهند.  $d$  محور اول یک شبکه فضایی از  $s_1 \times \dots \times s_d$  پیکسل را نشان می‌دهند، که به هر کدام یک ماتریس  $c_{000} \times c_{00}$  اختصاص داده شده است که در دو محور آخر کدگذاری شده است.<sup>۲۵</sup> در محیط پیوسته و اقلیدسی، چنین کرنل‌هایی را می‌توان به عنوان نگاشت‌هایی توصیف کرد

$$K : \mathbb{R}^d \rightarrow \mathbb{R}^{c_{000} \times c_{00}}, \quad (70)$$

که یک ماتریس  $c_{000} \times c_{00}$  را به هر نقطه از  $\mathbb{R}^d$  اختصاص می‌دهد. همانطور که در بخش قبلی ۱.۲.۴ ذکر شد، ما کانولوشن‌های  $GM$  را به عنوان تطبیق پس‌کش انتقال‌دهنده  $\text{Exp}_p^* f_{00}$  روی فضای مماس  $T_p M$  با یک کرنل  $\mathcal{K}_p$  روی  $T_p M$  تعریف می‌کنیم. از آنجایی که فضاها مماس مسطح هستند، طبیعی است که این تطبیق را مانند حالت کاملاً اقلیدسی معمول تعریف کنیم. بنابراین، ما کرنل‌های  $\mathcal{K}_p$  را از طریق عبارات مختصاتی‌شان تعریف می‌کنیم که شکل معادله (۷۰) را دارند، یعنی،

$$\mathcal{K}_p^A : \mathbb{R}^d \rightarrow \mathbb{R}^{c_{000} \times c_{00}}. \quad (71)$$

شکل ۱۷ یک کرنل داده‌شده بدون مختصات را روی  $T_p M$  و نمایش‌های آن را روی  $\mathbb{R}^d$  نسبت به چارچوب‌های مرجع مختلف نشان می‌دهد.<sup>۲۶</sup> قانون تبدیل بین نمایش‌های مختصاتی  $\mathcal{K}_p^A$  و  $\mathcal{K}_p^B$  یک کرنل  $\mathcal{K}_p$  روی  $T_p M$  طبق معمول از قوانین تبدیل دامنه و هم‌دامنه آن‌ها پیروی می‌کند. در دامنه  $\mathbb{R}^d$  قانون تبدیل توسط  $g_p^{BA}$  داده می‌شود، در حالی که قانون تبدیل  $\mathbb{R}^{c_{000} \times c_{00}}$  همانند معادله (۵۰)، توسط یک ضرب هم‌زمان از چپ با  $\rho_{00}(g_p^{BA})^{-1}$  و از راست با  $\rho_{000}(g_p^{BA})$  داده می‌شود. بنابراین، دو مختصات‌دهی کرنل  $\mathcal{K}_p$  برای  $v \in \mathbb{R}^d$  به صورت زیر با هم ارتباط دارند:

$$\mathcal{K}_p^B(g_p^{BA}v) = \rho_{000}(g_p^{BA}) \cdot \mathcal{K}_p^A(v) \cdot \rho_{00}(g_p^{BA})^{-1}, \quad (72)$$

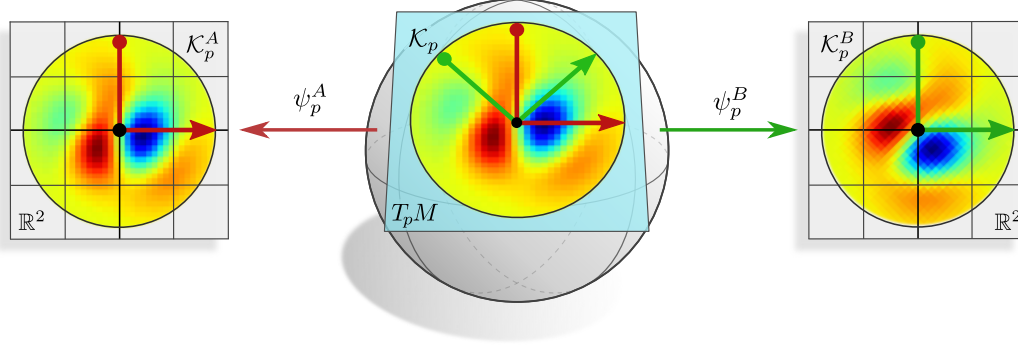
که توسط نمودار جابجایی زیر به تصویر کشیده شده است:

$$\begin{array}{ccc} \mathbb{R}^d & \xrightarrow{\mathcal{K}_p^A} & \mathbb{R}^{c_{000} \times c_{00}} \\ g_p^{BA} \downarrow & & \downarrow \rho_{000}(g_p^{BA}) [\cdot] \rho_{00}(g_p^{BA})^{-1} \\ \mathbb{R}^d & \xrightarrow{\mathcal{K}_p^B} & \mathbb{R}^{c_{000} \times c_{00}} \end{array} \quad (73)$$

همانند مثال‌های بخش ۱.۴، اصل کوواریانس تنها نیازمند یک رفتار تبدیل سازگار بین مختصات‌دهی‌های مختلف کرنل است اما محدودیتی بر خود کرنل اعمال نمی‌کند. بنابراین می‌توان کرنل‌های  $\mathcal{K}_p$  را برای هر  $p \in M$  و یک پیمانه دلخواه در  $p$  با یک کرنل ماتریس-مقدار نامحدود پارامتری کرد. ما میدان‌های هموار چنین کرنل‌هایی را به عنوان میدان‌های کرنل نشان می‌دهیم که نقش عمده‌ای در تحلیل ما از هموردایی ایزومتری کانولوشن‌های  $GM$  در بخش ۳ ایفا می‌کنند.

<sup>۲۵</sup> چیدمان واقعی حافظه به چارچوب یادگیری عمیق خاص مورد نظر بستگی دارد.

<sup>۲۶</sup> ما تأکید می‌کنیم که در اینجا یک کرنل بدون مختصات  $\mathcal{K}_p$  را که روی  $T_p M$  داده شده است فرض می‌کنیم و عبارات مختصاتی آن  $\mathcal{K}_p^X$  را روی  $\mathbb{R}^d$  نسبت به چارچوب‌های مرجع  $X$  در نظر می‌گیریم. اشتراک‌گذاری وزن کانولوشنی بعداً ما را با این سؤال مواجه خواهد کرد که چگونه یک کرنل بدون مختصات  $\mathcal{K}_p$  را روی  $T_p M$  با توجه به یک کرنل الگو  $K$  روی  $\mathbb{R}^d$  تعریف کنیم. پیوست ۳ این دو مفهوم و ارتباط آن‌ها را با  $G$ -راهبری کرنل توضیح می‌دهد.



شکل ۱۷: یک کرنل بدون مختصات  $\mathcal{K}_p$  روی  $T_p M$  و عبارات مختصاتی آن  $\mathbb{R}^d \rightarrow \mathbb{R}^{c_{\text{out}} \times c_{\text{out}}}$  نسبت به پیمانه‌های  $\psi_p^X$  (فقط یکی از کانال‌های کرنل آن‌ها پیروی می‌کنند. تبدیلات پیمانه‌ای که مختصات‌دهی‌های مختلف یک کرنل را به هم مرتبط می‌کنند، از قوانین تبدیل دامنه  $\mathbb{R}^d$  و هم‌دامنه  $\mathbb{R}^{c_{\text{out}} \times c_{\text{out}}}$  پیروی می‌کنند. بنابراین برای هر  $v \in \mathbb{R}^d$  به صورت  $\rho_{\text{out}}(g_p^{BA})^{-1} \mathcal{K}_p^A(v) \rho_{\text{out}}(g_p^{BA}) = \mathcal{K}_p^B(g_p^{BA} v)$  داده می‌شوند. یک میدان کرنل  $\mathcal{K}$  روی  $M$  یک تخصیص هموار از کرنل‌ها بر روی فضاها می‌باشد (تعریف ۱۱).  
توجه داشته باشید که ما در اینجا فرض می‌کنیم کرنل روی  $T_p M$  داده شده است و سپس آن را نسبت به پیمانه‌های مختلف روی  $\mathbb{R}^d$  بیان می‌کنیم. این از نظر مفهومی با وضعیت نشان داده شده در شکل‌های ۲، ۵، ۱۰ و ۱۱ متفاوت است، که در آن‌ها فرض می‌کنیم یک کرنل الگو  $K$  روی  $\mathbb{R}^d$  داده شده است و سپس  $\mathcal{K}_p$  را روی  $T_p M$  از طریق اشتراک‌گذاری وزن کانولوشنی نسبت به یک چارچوب مرجع تعریف می‌کنیم. برای حفظ استقلال از مختصات در طول فرآیند اشتراک‌گذاری وزن، کرنل مشترک باید تحت تبدیلات پیمانه پایا (یا هموردا) باشد؛ به بخش ۳.۲.۴ و پیوست ۱۱ مراجعه کنید.

**تبدیلات میدان کرنل مستقل از مختصات:** با داشتن یک میدان کرنل هموار  $\mathcal{K}$  می‌توانیم تبدیلات میدان کرنل را تعریف کنیم، که شبیه به کانولوشن‌ها هستند اما از این جهت متفاوتند که ممکن است در هر موقعیت مکانی یک کرنل متفاوت اعمال کنند. آن‌ها یک میدان از بردارهای ویژگی خروجی  $f_{\text{out}}(p)$  را با انتگرال‌گیری از حاصلضرب کرنل مربوطه  $\mathcal{K}_p$  و پس‌کش انتقال‌دهنده  $\text{Exp}_p^* f_{\text{out}}$  از روی  $T_p M$  محاسبه می‌کنند، یعنی،

$$f_{\text{out}}(p) = \int_{T_p M} \mathcal{K}_p(v) \text{Exp}_p^* f_{\text{out}}(v) dv. \quad (۷۴)$$

برای بیان این تعریف بدون مختصات بر حسب مختصات، باید تمام کمیت‌ها را با عبارات مختصاتی‌شان جایگزین کرده و انتگرال‌گیری را از طریق پیمانه انتخاب شده از  $T_p M$  به  $\mathbb{R}^d$  منتقل کرد. همانطور که در پیوست ۱۱ توضیح داده شده است، عنصر حجم ریمانی مناسب (پایا نسبت به پیمانه) برای یک پیمانه  $\psi_p^A$  به صورت زیر داده می‌شود:

$$\sqrt{|\eta_p^A|} dv^A, \quad (۷۵)$$

که در آن ضرب  $\sqrt{|\eta_p^A|}$ ، تعریف شده در معادله (۱۱)، حجم (مثبت) پوشیده شده توسط چارچوب مرجع  $[e_i^A]_{i=1}^d$  در  $p$  است. بنابراین، عبارت مختصاتی تبدیل میدان کرنل به صورت زیر است:

$$f_{\text{out}}^A(p) = \int_{\mathbb{R}^d} \mathcal{K}_p^A(v^A) [\text{Exp}_p^* f_{\text{out}}]^A(v^A) \sqrt{|\eta_p^A|} dv^A. \quad (۷۶)$$

استقلال از مختصات تبدیل میدان کرنل با بیان آن نسبت به یک پیمانه جایگزین  $\psi_p^B$  و نشان دادن اینکه میدان خروجی حاصل همانطور که انتظار می‌رود تبدیل می‌شود، تأیید می‌شود، که در واقع چنین است:

$$\begin{aligned} f_{\text{out}}^B(p) &\stackrel{(۱)}{=} \int_{\mathbb{R}^d} \mathcal{K}_p^B(v^B) [\text{Exp}_p^* f_{\text{out}}]^B(v^B) \sqrt{|\eta_p^B|} dv^B \\ &\stackrel{(۲)}{=} \int_{\mathbb{R}^d} \left[ \rho_{\text{out}}(g_p^{BA}) \mathcal{K}_p^A((g_p^{BA})^{-1} v^B) \rho_{\text{out}}(g_p^{BA})^{-1} \right] [\text{Exp}_p^* f_{\text{out}}]^B(v^B) \sqrt{|\eta_p^B|} dv^B \\ &\stackrel{(۳)}{=} \rho_{\text{out}}(g_p^{BA}) \int_{\mathbb{R}^d} \mathcal{K}_p^A(v^A) \left[ \rho_{\text{out}}(g_p^{BA})^{-1} [\text{Exp}_p^* f_{\text{out}}]^B(g_p^{BA} v^A) \right] \sqrt{|\eta_p^A|} dv^A \\ &\stackrel{(۴)}{=} \rho_{\text{out}}(g_p^{BA}) \int_{\mathbb{R}^d} \mathcal{K}_p^A(v^A) [\text{Exp}_p^* f_{\text{out}}]^A(v^A) \sqrt{|\eta_p^A|} dv^A \\ &\stackrel{(۵)}{=} \rho_{\text{out}}(g_p^{BA}) f_{\text{out}}^A(p) \end{aligned} \quad (۷۷)$$

در اینجا ما از تعریف تبدیلات میدان کرنل و قانون تبدیل کرنل ها (معادله (۷۲)) در دو مرحله اول استفاده کردیم. مرحله سوم با بیرون کشیدن  $\rho_{000}$  از انتگرال و جایگزینی  $v^B$  با  $v^A = (g_p^{BA})^{-1} v^B$  به دست می آید، با استفاده از اینکه عنصر حجم  $\sqrt{|\eta_p^A|} dv^A = \sqrt{|\eta_p^B|} dv^B$  به طور طراحی شده پایا نسبت به پیمانه است. دو مرحله آخر با شناسایی قانون تبدیل پس کَش انتقال دهنده میدان ویژگی در معادله (۶۸) و تعریف تبدیل میدان کرنل در پیمانه  $\psi_p^A$  به دست می آیند. توجه داشته باشید که استقلال از مختصات تبدیل میدان کرنل، صحت قانون تبدیل کرنل در معادله (۷۲) را تأیید می کند.

یک تبدیل میدان کرنل تنها زمانی به خوبی تعریف می شود که انتگرال ها روی فضاهای مماس همگرا باشند، که به طور دقیق تر در بخش ۴۴ و پیوست ۴۴ مورد بحث قرار گرفته است. قضیه ۴۴ ثابت می کند که یک تکیه گاه فشرده برای کرنل های  $\mathcal{K}_p$  برای تضمین این خوش تعریفی کافی است. این قضیه همچنین ثابت می کند که تبدیلات میدان کرنل که بر اساس میدان های کرنل هموار هستند، میدان های ویژگی ورودی هموار را به میدان های ویژگی خروجی هموار نگاشت می کنند.

### ۳.۲.۴ کانولوشن های $\square\square$ و کرنل های $\square$ -راهبر

آزادی تبدیلات میدان کرنل در اعمال یک کرنل متفاوت در هر مکان، به آنها اجازه تعمیم استنتاج آموخته شده را بر روی مکان های مختلف نمی دهد و بنابراین آنها را از نظر داده ناکارآمد می سازد. بنابراین، معمولاً کانولوشن ها در نظر گرفته می شوند، که می توان آن ها را به عنوان آن دسته از تبدیلات میدان کرنل خاصی دید که بر اساس میدان های کرنل کانولوشنی هستند، یعنی میدان های کرنلی که توسط یک کرنل الگوی واحد و مشترک پارامتری شده اند. همانند قبل، یک اشتراک گذاری وزن مستقل از مختصات نیازمند آن است که کرنل های الگو نسبت به پیمانه هموردا ( $G$ -راهبر) باشند. این هموردایی پیمانه ای کرنل های الگو تضمین می کند که الگو هایی که در ژست های هندسی مختلف و مرتبط با  $G$  ظاهر می شوند، تا یک تبدیل متناظر بردار ویژگی از طریق  $\rho_{000}$  پاسخ یکسانی را برانگیزند.

**اشتراک گذاری وزن کانولوشنی:** فرض کنید  $K : \mathbb{R}^d \rightarrow \mathbb{R}^{c_{000} \times c_{00}}$  یک کرنل الگو باشد که باید روی تمام فضاهای مماس به اشتراک گذاشته شود. برای اینکه هیچ پیمانه خاصی را ترجیح ندهیم  $\square$  که با نیاز ما به استقلال از مختصات در تضاد است  $\square$  مجبوریم کرنل را با مختصات دهی ها در تمام پیمانه ها به طور همزمان به اشتراک بگذاریم. به طور ساده انگارانه، این به نظر می رسد که پیشنهاد می کند کرنل الگو را با قرار دادن  $\mathcal{K}_p^X = K$  برای هر نقطه  $p \in M$  و هر پیمانه  $\psi_p^X$  در  $p$  به اشتراک بگذاریم. در حالی که چنین تعریفی از اشتراک گذاری کرنل معقول به نظر می رسد، از اصل ما برای اشتراک گذاری توابع الگوی محلی به معنای دقیق پیروی نمی کند: به جای اشتراک گذاری مستقیم کرنل، مهم است که کل عملیات محلی را به اشتراک بگذاریم  $\square$  که در اینجا کل تبدیل انتگرالی در معادله (۷۶) است. از آنجایی که این عملیات بر حسب میدان کرنل  $\mathcal{K}$  پارامتری می شود، این به طور غیرمستقیم منجر به اشتراک گذاری کرنل الگو می شود، با این حال، با نتیجه ای کمی متفاوت از اشتراک گذاری ساده انگارانه در نظر گرفته شده در بالا.

برای یافتن تعریف صحیح میدان های کرنل کانولوشنی  $GM$  طبق اصل ما برای اشتراک گذاری توابع الگوی محلی، ابتدا باید این عملیات محلی را شناسایی کنیم. ما این کار را با انتزاع تبدیلات میدان کرنل (در مختصات) به عنوان مجموعه ای از عملگرهای انتگرالی محلی به شکل زیر انجام می دهیم:

$$g_{\mathcal{K},p}^A : C^\infty(\mathbb{R}^d, \mathbb{R}^c) \rightarrow \mathbb{R}^c, \quad F \mapsto \int_{\mathbb{R}^d} \mathcal{K}_p^A(v) F(v) \sqrt{|\eta_p^A|} dv, \quad (78)$$

که در آن  $C^\infty(\mathbb{R}^d, \mathbb{R}^c)$  فضای نگاشت های هموار از  $\mathbb{R}^c$  به  $\mathbb{R}^d$  را نشان می دهد. در کاربرد ما، این نگاشت های هموار صرفاً نمایش های میدان ویژگی محلی  $[\text{Exp}_p^* f]^A : \mathbb{R}^d \rightarrow \mathbb{R}^c$  هستند که از فضاهای مماس در  $p$  دیده می شوند و توسط تبدیل میدان کرنل به یک بردار ویژگی خروجی  $f_{000}^A(p) = g_{\mathcal{K},p}^A([\text{Exp}_p^* f]^A)$  در  $p$  نگاشته می شوند. با توجه به کرنل الگوی ما  $K : \mathbb{R}^d \rightarrow \mathbb{R}^{c_{000} \times c_{00}}$ ، ما یک الگوی عملگر انتگرالی متناظر را تعریف می کنیم:

$$\mathcal{J}_K : C^\infty(\mathbb{R}^d, \mathbb{R}^c) \rightarrow \mathbb{R}^c, \quad F \mapsto \int_{\mathbb{R}^d} K(v) F(v) dv, \quad (79)$$

که نمایش میدان محلی  $F$  را در کرنل الگو  $K$  ضرب کرده و سپس حاصلضرب آنها را انتگرال می گیرد. توجه داشته باشید که  $\mathcal{J}_K$  به عنوان یک تابع الگو لزوماً نسبت به انتخاب های خاص پیمانه ها بی تفاوت است و بنابراین شامل ضریب حجم چارچوب نمی شود. یک طرح اشتراک گذاری وزن کانولوشنی مستقل از مختصات  $GM$  با الزام به اینکه این تابع الگو با تمام عملگرهای انتگرالی منفرد در هر نقطه و در هر پیمانه موافق باشد، تحمیل می شود، یعنی:

$$g_{\mathcal{K},p}^X = \mathcal{J}_K \quad \text{برای هر پیمانه } (U^X, \psi^X) \in \mathcal{A}^G \text{ با } p \in U^X, \quad (80)$$

که در آن  $\mathcal{A}^G$  اطلس  $G$  (ماکسیمال) متناظر با ساختار  $G$  در نظر گرفته شده است؛ به معادله (۲۵) مراجعه کنید. این معادل اشتراک گذاری مستقیم کرنل الگوی محلی طبق زیر است:

$$\mathcal{K}_p^X = \frac{K}{\sqrt{|\eta_p^X|}} \quad \text{برای هر پیمانه } (U^X, \psi^X) \in \mathcal{A}^G \text{ با } p \in U^X, \quad (81)$$

شیء	$\mathcal{K}_p^X$	$K$	$F$ و $[\text{Exp}_p^* f]^X$	$\sqrt{ \eta^X }$	$dv^X$ و $dv$
چگالی $s$	۰	-۱	۰	-۱	۱

جدول ۲: مروری بر توان‌های چگالی  $s$  برای اشیاء مختلف درگیر در تبدیلات میدان کرنل عمومی و کانون‌های  $GM$ . عبارت مختصاتی یک  $s$ -چگالی با ضرب  $|\det g|^s$  تبدیل می‌شود وقتی مختصات از طریق  $g \in G$  تبدیل شوند. یک کرنل ماتریس-مقدار عمومی  $\mathcal{K}_p^X$  طبق معادله (۷۲) یک  $s$ -چگالی است. همین امر برای میدان‌های ویژگی و پس‌کش‌های آنها نیز صادق است که قوانین تبدیل آنها در معادلات (۲۸) و (۶۸) داده شده است. کل انتگرال‌ده  $\int \sqrt{|\eta^X|} dv^X [\text{Exp}_p^* f]^X(v^X) \mathcal{K}_p^X(v^X)$  از یک تبدیل میدان کرنل عمومی در معادله (۷۶) نیز یک  $s$ -چگالی دیده می‌شود  $\square$  توجه داشته باشید که این برای استقلال آن از مختصات، همانطور که در معادله (۷۷) نشان داده شده، ضروری است. از آنجایی که الگوی عملگر انتگرالی  $\mathcal{I}_K^X$  در معادله (۷۹) نسبت به هر انتخاب پیمانه بی‌تفاوت است، شامل ضرب حجم چارچوب  $\sqrt{|\eta^X|}$  نمی‌شود. از آنجایی که با این وجود باید مانند عملگرهای انتگرالی  $\mathcal{I}_{K,p}^X$  که زیربنای تبدیلات میدان کرنل هستند رفتار کند، کل انتگرال‌ده  $dv F(v) K(v)$  از  $\mathcal{I}_K(F)$  ملزم به بودن یک  $s$ -چگالی است. این امر مستلزم آن است که خود کرنل‌های الگوی مشترک  $K$  مانند (۱)-چگالی‌ها تبدیل شوند، که در قید  $G$ -راهبری در معادله (۸۳) منعکس شده است. توجه داشته باشید که این قانون تبدیل کرنل‌های الگو برای هموردایی محلی کانون‌های  $GM$  اکیداً ضروری است اگر ویژگی‌های خروجی باید مانند چگالی‌هایی با وزن  $s$  تبدیل شوند؛ به معادله (۸۹) مراجعه کنید. برای دیدگاهی جایگزین، خواننده علاقه‌مند را به نتیجه ۱ در [۴] ارجاع می‌دهیم، جایی که ضرب دترمینان از اندازه‌های هار روی گروه‌های لی استخراج می‌شود.

که در آن ضرب نرمال‌سازی «چگالی کرنل» را به اندازه حجم چارچوب مرجع  $\sqrt{|\eta_p^X|}$  کاهش می‌دهد. همانطور که در ادامه بحث می‌شود، این نرمال‌سازی برای هموردایی تحت گروه‌های تقارن غیر حافظ حجم مهم است.

ما میدان‌های کرنلی را که توسط یک کرنل مشترک  $K$  طبق معادله (۸۱) پارامتری شده‌اند، به عنوان میدان‌های کرنل کانون‌های  $GM$  می‌نامیم. الزام همزمان برای اشتراک‌گذاری وزن و استقلال از مختصات منجر به یک قید هموردایی بر روی کرنل‌های الگو می‌شود. برای استخراج این قید، اشتراک‌گذاری کرنل در معادله (۸۱) را در قانون تبدیل کرنل در معادله (۷۲) قرار می‌دهیم، که نتیجه می‌دهد:

$$\frac{1}{\sqrt{|\eta_p^B|}} K(g_p^{BA} v) = \frac{1}{\sqrt{|\eta_p^A|}} \rho_{\text{ooo}}(g_p^{BA}) \cdot K(v) \cdot \rho_{\text{oo}}(g_p^{BA})^{-1}. \quad (۸۲)$$

از آنجایی که حجم‌های چارچوب‌های مرجع مختلف با  $\sqrt{|\eta_p^B|} = |\det(g_p^{BA})| \sqrt{|\eta_p^A|}$  مرتبط هستند و از آنجایی که قانون تبدیل باید برای پیمانه‌های دلخواه مرتبط با  $G$  برقرار باشد، این قید  $G$ -راهبری را ایجاب می‌کند<sup>۲۷</sup>

$$K(gv) = \frac{1}{|\det g|} \rho_{\text{ooo}}(g) \cdot K(v) \cdot \rho_{\text{oo}}(g)^{-1} \quad \forall v \in \mathbb{R}^d, g \in G. \quad (۸۳)$$

بر روی کرنل‌های الگو. همانطور که توسط [۴] ثابت شده است، این قید نیازمند آن است که کرنل‌های الگو عملگرهای نمایش [۴] باشند (تعمیم‌هایی از عملگرهای تانسوری کروی در مکانیک کوانتومی). از نظر نموداری، یک کرنل  $G$ -راهبر  $K$  باید جابجایی زیر را برآورده کند:

$$\begin{array}{ccc} \mathbb{R}^d & \xrightarrow{K} & \mathbb{R}^{c_{\text{ooo}} \times c_{\text{oo}}} \\ g \cdot \downarrow & & \downarrow \frac{1}{|\det g|} \rho_{\text{ooo}}(g) [\cdot] \rho_{\text{oo}}(g)^{-1} \\ \mathbb{R}^d & \xrightarrow{K} & \mathbb{R}^{c_{\text{ooo}} \times c_{\text{oo}}} \end{array} \quad (۸۴)$$

برای هر  $g \in G$ . توجه داشته باشید که ضرب دترمینان معکوس  $|\det g|$  در قانون تبدیل کرنل باعث می‌شود که آن مانند یک (۱)-چگالی ماتریس-مقدار تبدیل شود؛ برای جزئیات بیشتر به جدول ۲ مراجعه کنید. به طور شهودی، کرنل‌های  $G$ -راهبر دقیقاً آن کرنل‌هایی هستند که می‌توانند نسبت به چارچوب‌های مرجع دلخواه مرتبط با  $G$  به اشتراک گذاشته شوند بدون اینکه انتخاب خاص پیمانه بر نتیجه تأثیر بگذارد.<sup>۲۸</sup> بنابراین، ابهام هم‌ترازی کرنل‌ها  $\square$  که انگیزه اصلی این کار بود  $\square$  با اشتراک‌گذاری وزن اضافی بر روی تمام چارچوب‌های مرجع معادل (تمام پیمانه‌ها) در ساختار  $G$  در نظر گرفته شده  $GM$  حل می‌شود.

<sup>۲۷</sup> برخلاف کارهای قبلی [۴]، [۳]، [۲]، [۱]، این قید شامل ضرب  $|\det g|$  است. این ضرب در آن کارها ظاهر نشد زیرا همه آنها گروه‌های ساختاری متعامد  $d$  (یا زیرگروه‌های آن) را در نظر گرفته بودند که برای آنها ضرب دترمینان صفر می‌شود.

<sup>۲۸</sup> قید  $G$ -راهبری را می‌توان به صورت  $K(g^{-1}v) = |\det g|^{-1} \rho_{\text{ooo}}(g) \cdot K(v) \cdot \rho_{\text{oo}}(g)^{-1}$  بازنویسی کرد، که تأکید می‌کند کرنل‌های  $G$ -راهبر پایاها تحت عمل پیمانه در سمت راست هستند. یک کرنل  $G$ -راهبر، با پایا بودن تحت تبدیلات پیمانه، منجر به همان کرنل بدون مختصات  $\mathcal{K}_p$  در  $p$  می‌شود، زمانی که نسبت به هر چارچوب مرجعی در  $G_p M$  به اشتراک گذاشته شود.

قبل از پرداختن به کانولوشن های  $GM$ ، در مورد فضای کرنل های  $G$ -راهبر توضیح می دهیم. توجه داشته باشید که مجموعه

$$\mathcal{K} := \left\{ K : \mathbb{R}^d \rightarrow \mathbb{R}^{c_{00} \times c_{00}} \right\}. \quad (85)$$

کرنل های عمومی، یعنی نه لزوماً هموردا، با مجهز شدن به جمع و ضرب اسکالر استاندارد روی  $\mathbb{R}^{c_{00} \times c_{00}}$  یک فضای برداری تشکیل می دهد. از آنجایی که قید  $G$ -راهبری در معادله (۸۳) خطی است، فضای کرنل را به یک زیرفضای خطی محدود می کند:

$$\mathcal{K}_{\rho_{00}, \rho_{000}}^G := \left\{ K : \mathbb{R}^d \rightarrow \mathbb{R}^{c_{00} \times c_{00}} \mid K(gv) = \frac{1}{|\det g|} \rho_{000}(g) \cdot K(v) \cdot \rho_{00}(g)^{-1} \quad \forall v \in \mathbb{R}^d, g \in G \right\}. \quad (86)$$

بنابراین می توان برای یک پایه از کرنل های  $G$ -راهبر راهحلی یافت که کانولوشن  $GM$  را می توان بر حسب آن پارامتری کرد. در حالی که این فضا در تئوری معمولاً بی نهایت-بعدي است، در عمل اغلب گسسته می شود، به طوری که در نهایت با یک پایه متناهی  $\{K_1, \dots, K_N\}$  از کرنل های  $G$ -راهبر مواجه می شویم. سپس یک مجموعه از وزن های با مقادیر حقیقی  $\{w_1, \dots, w_N\}$  که  $w_i \in \mathbb{R}$  هستند و در طول فرآیند آموزش بهینه سازی می شوند، کانولوشن را با  $K = \sum_{i=1}^N w_i K_i$  پارامتری می کنند. توجه داشته باشید که ابعاد کاهش یافته (زیر)فضای کرنل های  $G$ -راهبر به معنای بهبود کارایی پارامتر در مقایسه با کانولوشن های معمولی است.

بخش ۲؟ به بحث در مورد راه حل های تحلیلی نمونه ای از فضاهای کرنل هموردای بازتابی برای نمایش های گروهی مختلف گروه بازتاب  $\mathcal{R}$  می پردازد. کرنل های حاصل که با انواع مختلفی از تقارن های بازتابی مشخص می شوند، در جدول ۲؟ به تصویر کشیده شده اند.

مثال های بیشتری را می توان در ادبیات مربوط به شبکه های عصبی کانولوشنی راهبر یافت: یک راه حل تحلیلی برای قید فضای کرنل برای گروه ساختاری متعامد خاص  $SO(3)$  در سه بعد و نمایش های تحویل ناپذیر آن توسط ۲ [ارائه شد. ۲] این رویکرد را برای پوشش نمایش های گروهی دلخواه تعمیم دادند و قید فضای کرنل را برای هر نمایشی از ۲ و تمام زیر گروه های آن  $G \leq 2$  حل کردند ۲ یک پیاده سازی در <https://quva-lab.github.io/e2cnn/api/e2cnn.kernels.html> موجود است. برای گروه های ساختاری متناهی، قید را می توان به صورت عددی نیز حل کرد، همانطور که توسط ۲ [توضیح داده شده است. یک استراتژی راه حل کلی تر، که برای گروه های ساختاری فشرده دلخواه  $G$  (و بنابراین همه موارد ذکر شده در بالا) کاربرد دارد، توسط ۲ [پیشنهاد شد. این راه حل قضیه کلاسیک ویگنر-کارت ۲ [۲] را به یک قضیه ویگنر-کارت برای کرنل های  $G$ -راهبر تعمیم می دهد، که کرنل ها را بر حسب توابع پایه هارمونیک، ضرایب کلبش-گوردان و اندومورفیسم های نمایش ها (عناصر ماتریسی کاهش یافته تعمیم یافته) بیان می کند. ما برای مروری دقیق تر بر کارهای قبلی و مرتبط با کرنل های راهبر به [۲] ارجاع می دهیم.

**کانولوشن های مستقل از مختصات ۲۲:** با داشتن یک کرنل الگوی  $G$ -راهبر  $K \in \mathcal{K}_{\rho_{00}, \rho_{000}}^G$ ، کانولوشن  $GM \star K$  با این کرنل به عنوان تبدیل میدان کرنل با میدان کرنل کانولوشنی  $GM$  متناظر تعریف می شود، که برای هر نقطه  $p \in M$  و هر پیمانه  $\psi_p^X$  در  $\mathcal{K}_p^X = K / \sqrt{|\eta^X|}$  صدق می کند. با قرار دادن میدان کرنل کانولوشنی  $GM$  در معادله (۷۶)، یعنی تبدیل میدان کرنل، عبارت مختصاتی کانولوشن  $GM$  به صورت زیر ساده می شود:

$$f_{000}^A(p) = [K \star f_{00}]^A(p) := \int_{\mathbb{R}^d} K(v) [\text{Exp}_p^* f_{00}]^A(v) dv = \mathcal{I}_K([\text{Exp}_p^* f_{00}]^A). \quad (87)$$

بنابراین، این به سادگی با تطبیق پس کش انتقال دهنده  $[\text{Exp}_p^* f_{00}]^A$  از میدان ویژگی در یک پیمانه دلخواه انتخاب شده  $\psi_p^A$  با کرنل کانولوشن مستقل از پیمانه  $K$  به دست می آید. بنابراین کانولوشن های مستقل از مختصات  $GM$  به راحتی با (۱) انتخاب چارچوب های مرجع دلخواه، (۲) پس کش (و انتقال) میدان های ویژگی به مختصات دهی های فضای مماس و (۳) انقباض آنها در آنجا با یک کرنل  $G$ -راهبر (قابل آموزش) پیاده سازی می شوند.

کانولوشن های  $GM$  چندین ویژگی تقارنی مرتبط را از خود نشان می دهند:

استقلال از مختصات: به عنوان موارد خاصی از تبدیلات میدان کرنل، کانولوشن های  $GM$  به طور (غیر فعال) مستقل از مختصات هستند، یعنی معادله (۷۷) در مورد آنها صدق می کند.

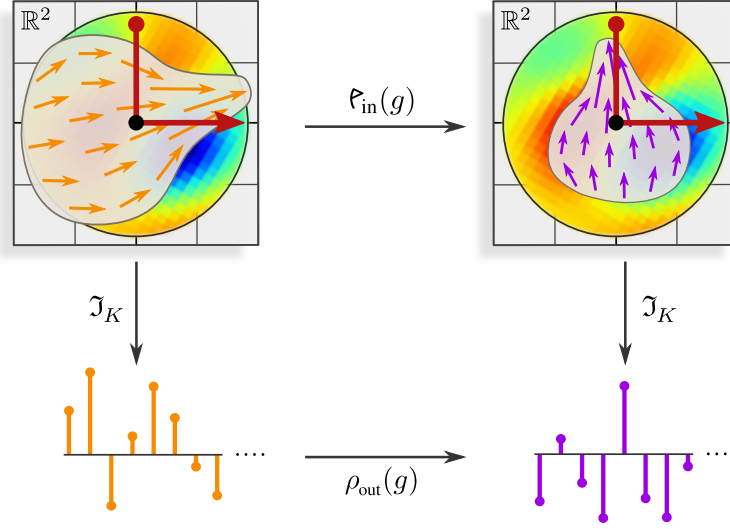
هموردایی ایزومتری سراسری: آنها تحت عمل فعال و سراسری ایزومتری های حافظ ساختار  $G$  در  $\text{Isom}_G$  بر روی میدان های ویژگی هموردا هستند. بخش های ۳.۴ و به ویژه ۲؟ این ویژگی را به تفصیل مورد بحث قرار می دهند.

هموردایی  $G$  محلی: الگوی عملگر انتگرالی  $\mathcal{I}_K$  به دلیل  $G$ -راهبری  $K$  خود  $G$ -هموردا است. بنابراین، هر تبدیل  $G$  یک نمایش میدان ویژگی محلی روی  $\mathbb{R}^d$  منجر به تبدیل متناظر بردار ویژگی حاصل خواهد شد؛ به شکل ۱۸ مراجعه کنید. بنابراین، تبدیلات  $G$  مستقل الگوهایی که در نقاط مختلف  $p_i \in M$  متمرکز شده اند، منجر به تبدیلات ویژگی خروجی مستقل در این نقاط می شوند (این فقط در این نقاط برقرار است و نیازمند کرنل هایی با تکیه گاه فشرده است که کل میدان دید آنها طبق تبدیل  $G$  تبدیل شود).

برای دقیق تر کردن نکته آخر، ما تبدیلات  $G$  فعال نمایش های میدان ویژگی محلی را در  $C^\infty(\mathbb{R}^d, \mathbb{R}^c)$  به صورت زیر تعریف می کنیم<sup>۲۹</sup>

$$b_{00} : G \times C^\infty(\mathbb{R}^d, \mathbb{R}^c) \rightarrow C^\infty(\mathbb{R}^d, \mathbb{R}^c), \quad F \mapsto b_{00}(g)F := \rho_{00}(g) \circ F \circ g^{-1}, \quad (88)$$

یک توضیح شهودی از نمایش های القایی و محدود شده را می توان در پیوست ۲ [۲] یافت در حالی که [۲] این موضوع را به طور رسمی تر بررسی می کند.  $\text{Ind}_G^{\mathbb{R}^d \rtimes G} \rho(\mathbb{R}^d \rtimes G)$  و سپس محدود کردن آن به  $G$  داده می شود.



شکل ۱۸: هموردایی  $G$  محلی الگوی عملگر انتگرالی مشترک  $\mathcal{I}_K$  که زیربنای یک کانولوشن  $K \star GM$  است. یک تبدیل  $G$  فعال  $\mathcal{h}_{\square}(g)$  از یک نمایش میدان محلی روی  $\mathbb{R}^d$  بردارهای ویژگی را از  $g^{-1}v$  به  $v$  منتقل می‌کند و آنها را علاوه بر این از طریق  $\rho_{\square\square}(g)$  تبدیل می‌کند. در حالی که اولی ویژگی‌ها را به صورت فضایی جابجا می‌کند، دومی ضرایب عددی آنها را تبدیل می‌کند (که در شکل به صورت چرخش و مقیاس‌بندی بردارهای (مماس) منفرد به تصویر کشیده شده است). اعمال  $\mathcal{I}_K$  به هر دو ورودی منجر به بردارهای ویژگی خروجی متفاوتی می‌شود. با این حال، به دلیل هموردایی  $G$  از  $\mathcal{I}_K$ ، تضمین می‌شود که پاسخ‌ها با  $\rho_{\square\square\square}(g)$  مرتبط هستند؛ به معادله (۸۹) مراجعه کنید. بنابراین، یک تبدیل  $G$  فعال از یک میدان ورودی منجر به یک تبدیل  $G$  فعال متناظر از بردار ویژگی خروجی می‌شود. توجه داشته باشید که هموردایی  $G$  از  $\mathcal{I}_K$  یک نتیجه مستقیم از  $G$ -راهری  $K$  است.

که در آن فرض می‌کنیم  $F$  از نوع  $\rho_{\square\square}$  است. به طور شهودی،  $\mathcal{h}_{\square\square}$  با انتقال فعال بردارهای ویژگی  $F(g^{-1}v) \in \mathbb{R}^c$  از  $g^{-1}v$  به  $v$  و تبدیل آنها با  $\rho_{\square\square}(g)$  بر روی میدان‌های  $F$  عمل می‌کند. این تعریف «معمولی» تبدیلات فعال میدان‌های ویژگی  $F$  بر روی فضاها اقلیدسی  $\mathbb{R}^d$  است. هموردایی  $G$  ادعا شده برای  $\mathcal{I}_K$  به راحتی با اعمال آن به یک ورودی تبدیل شده، و سپس جایگزینی و استفاده از  $G$ -راهری  $K$  دیده می‌شود:

$$\begin{aligned}
 \mathcal{I}_K(\mathcal{h}_{\square\square}(g)F) &= \mathcal{I}_K(\rho_{\square\square}(g) \circ F \circ g^{-1}) & (\text{تعریف } \mathcal{h}_{\square\square}, \text{ معادله (۸۸)}) \\
 &= \int_{\mathbb{R}^d} K(v) \rho_{\square\square}(g) F(g^{-1}v) dv & (\text{تعریف } \mathcal{I}_K, \text{ معادله (۷۹)}) \\
 &= \int_{\mathbb{R}^d} K(g\tilde{v}) \rho_{\square\square}(g) F(\tilde{v}) |\det g| d\tilde{v} & (\text{جایگزینی } \tilde{v} = g^{-1}v) \\
 &= \int_{\mathbb{R}^d} \rho_{\square\square\square}(g) K(\tilde{v}) F(\tilde{v}) d\tilde{v} & (G\text{-راهری } K, \text{ معادله (۸۳)}) \\
 &= \rho_{\square\square\square}(g) \mathcal{I}_K(F) & (\text{تعریف } \mathcal{I}_K, \text{ معادله (۷۹)})
 \end{aligned} \tag{۸۹}$$

بنابراین، یک تبدیل فعال یک نمایش میدان ویژگی محلی  $F$  روی یک مختصات‌دهی فضای مماس با  $\mathcal{h}_{\square\square}(g)$  تضمین می‌کند که منجر به تبدیل بردار ویژگی خروجی حاصل با  $\rho_{\square\square\square}(g)$  می‌شود. به عبارت دیگر، ویژگی‌هایی که در ژست‌های هندسی مختلف مرتبط با  $G$  ظاهر می‌شوند، تا یک تبدیل از طریق  $\rho_{\square\square\square}$  پاسخ یکسانی را برمی‌انگیزند. این به طور خلاصه در قالب یک نمودار جابجایی به صورت زیر است:

$$\begin{array}{ccc}
 C^\infty(\mathbb{R}^d, \mathbb{R}^{c_{\square\square}}) & \xrightarrow{\mathcal{h}_{\square\square}(g)} & C^\infty(\mathbb{R}^d, \mathbb{R}^{c_{\square\square}}) \\
 \downarrow \mathcal{I}_K & & \downarrow \mathcal{I}_K \\
 \mathbb{R}^{c_{\square\square\square}} & \xrightarrow{\rho_{\square\square\square}(g)} & \mathbb{R}^{c_{\square\square\square}}
 \end{array} \tag{۹۰}$$

شکل ۱۸ یک تفسیر بصری از این ویژگی هموردایی  $\mathcal{I}_K$  ارائه می‌دهد.

توجه داشته باشید که هموردایی تحت تبدیلات  $G$  محلی در معادله (۸۹) دقیقاً به قید  $G$ -راهری همانطور که در معادله (۸۳) است، یعنی به طور خاص، با ضرب دترمیان  $|\det g|^{-1}$  که باعث می‌شود کرنل مانند یک  $(-1)$ -چگالی تبدیل شود، نیاز دارد. این ضریب به تعریف ما از اشتراک‌گذاری





$$\begin{array}{ccc}
f_{\square\square} & \xrightarrow{\phi \triangleright} & \phi \triangleright f_{\square\square} \\
K\star \downarrow & & \downarrow K\star \\
f_{\square\square\square} & \xrightarrow{\phi \triangleright} & \phi \triangleright f_{\square\square\square}
\end{array} \tag{92}$$
$$[\mathrm{Exp}_{\phi(p)}^*(\phi \triangleright f_{\square\square})]^A = \rho_{\square\square}(g_{\phi}^{A\tilde{A}}(p)) \circ [\mathrm{Exp}_p^* f_{\square\square}]^{\tilde{A}} \circ g_{\phi}^{A\tilde{A}}(p)^{-1}; \quad (93)$$

با توجه به این همانی، تناوب پذیری ایزومتري  $\square - \square M - (93) (87) : GM - \square : \square \square = \tilde{v} \square : \square \square^{-1} \tilde{v} \square (p) \tilde{A} \tilde{A} \phi$  قدم سوم را توجيه مي کند. در قدم چهارم  $G$ -استيريل بودن کرنل قالب، يعني معادله (۸۳)، اعمال مي شود (معادله (۴۴)) را به ياد ياوريد که بيان مي کند تبديل هاي گيج القا شده توسط  $Isom_{GM}$  داراي مقدار  $G$  هستند. نتيجه اين است که بردار ويژگي خروجي حاصل توسط تبديل گيج القا شده تبديل مي شود. پس از شناسايي اين امر به عنوان بيان مختصاتي پيش برد ميدان خروجي در معادله (۴۶)، گزاره پيروي مي کند. از آنجا که همه قدم ها براي ايزومتري هاي دلخواه در  $Isom_{GM}$  معتبر هستند، مي بينيم که  $\square - \square M - Isom(M)$  که ممکن است  $G$ -ساختار را عايت نکنند تناوب پذير نيستند، با اين حال، تناوب پذيري کامل ايزومتري براي گروه هاي ساختار متعامد  $G = d$  (با بر گره هاي آن) تضمين شده است.

**فضاهای همگن:** در حالی که تقاضای تناوب‌پذیری ایزومتري نیازمند آن است که کرنل‌ها بر روی مدارات گروه ایزومتري به اشتراك گذاشته شوند، به طور كلي نیازمند اشتراك وزن كانولوشني در كل منيفولد نيست. يك استثنای مهم حالت منيفلدهای است که فضاهای همگن گروه ایزومتري خود هستند، مانند  $\mathbb{R}^d$  یا گروه  $K$ . به طور تعريف، عمل ایزومتري در چنین فضاهایی متعدی است، یعنی تنها یک مدار منفرد وجود دارد. در نتیجه، تنها یک کرنل مستقل وجود خواهد داشت که از طریق عمل گروه ایزومتري در كل فضا به اشتراك گذاشته می‌شود. قضیه ?? در بخش ?? ثابت می‌کند که تبدیل‌های میدان کرنل تناوب‌پذیر ایزومتري در فضاهای همگن لزوماً كانولوشن‌های مستقل از مختصات هستند. این مشاهده پیوند رسمی بین نظریه ما و کارهای قبلی در مورد شبکه‌های كانولوشني در فضاهای همگن توسط [4]، [5] و [6] برقرار می‌کند که كانولوشن‌ها را از طریق تناوب‌پذیری آن‌ها نسبت به تقارن‌های سراسری فضای زیرین تعريف می‌کنند.

$$\text{Diff}_{GM} := \left\{ \phi \in \text{Diff}(M) \mid [\phi_*(e_i)]_{i=1}^d \in GM \quad \forall [e_i]_{i=1}^d \in GM \right\} \leq \text{Diff}(M) \quad (94)$$
$$\phi \in \text{Diff}_{GM} \iff g_{\phi}^{A\tilde{A}}(p) \in G \quad \forall p \in M. \quad (95)$$

۴۲